



Reg. 37

**UNIVERSIDAD NACIONAL AUTÓNOMA DE MÉXICO**

---

**FACULTAD DE QUÍMICA**

**ANÁLISIS DE FOSFORO Y ARSENICO POR  
MEDIO DE AZUL DE MOLIBDENO**

**TRABAJO MONOGRAFICO  
QUE PARA OBTENER EL TÍTULO DE  
INGENIERO QUÍMICO  
P R E S E N T A :  
BLANCA GUTIERREZ RUIZ**

México, D. F.

1967



## **UNAM – Dirección General de Bibliotecas Tesis Digitales Restricciones de uso**

### **DERECHOS RESERVADOS © PROHIBIDA SU REPRODUCCIÓN TOTAL O PARCIAL**

Todo el material contenido en esta tesis está protegido por la Ley Federal del Derecho de Autor (LFDA) de los Estados Unidos Mexicanos (México).

El uso de imágenes, fragmentos de videos, y demás material que sea objeto de protección de los derechos de autor, será exclusivamente para fines educativos e informativos y deberá citar la fuente donde la obtuvo mencionando el autor o autores. Cualquier uso distinto como el lucro, reproducción, edición o modificación, será perseguido y sancionado por el respectivo titular de los Derechos de Autor.

TESIS CON FALTA DE ORIGEN

I N D I C E .

Capítulo I. Introducción .....	11
Capítulo II. Generalidades .....	
a) Fósforo y arsénico .....	
1.- Historia del fósforo .....	13
2.- Preparación del fósforo .....	14
3.- Formas alotrópicas .....	14
4)- Fósforo blanco .....	15
ii)- Fósforo rojo $\alpha$ y $\beta$ .....	15
iii)- Fósforo amorfo .....	16
4.- Compuestos del fósforo .....	17
5.- Historia del arsénico .....	20
6.- Preparación del arsénico .....	21
7.- Formas alotrópicas .....	21
i)- Arsénico amarillo $\alpha$ .....	21
ii)- Arsénico gris $\gamma$ .....	21
8.- Compuestos del arsénico .....	23
b) Colorimetría .....	
1.- Ley de Lambert - Beer. ....	31
2.- Desviaciones de la ley de Beer .....	32
3.- Componentes de un espectrofotómetro .....	33
c) Azul de Molibdeno. ....	
1.- Definición de complejo y ligando .....	35
2.- Preparación del azul de Molibdeno .....	36
3.- Polífcidos del Molibdeno. ....	36

Capítulo III. Técnicas, Resultados y discusión	Pág.
Método I. Método modificado para la determinación rápida de fosfatos .....	40
Método II. Nuevo reactivo para la determinación de fósforo y arsénico .....	41
Método III. Determinación de arsénico en compuestos orgánicos, método micro y semimicro .....	42
Método IV. Método de una solución ácida modificada para la determinación de fósfato.....	44
Método V. Determinación rápida de fósfato en presencia de arsénico, silicio y germanio. ....	46
Método VI. Determinación espectrofotométrica de arsenito arsenato y fósfato en aguas marinas. ....	47
Método VII. Formación y reducción del heteronolimolibdato en presencia de bismuto .....	48
Método VIII. Método de rutina para la determinación de arsénico en plantas.....	50
Método IX. Determinación espectrofotométrica de fósforo por formación del ácido 1,2-molibdofósfrico en un estado reducido.....	53
Método X. Preconcentración y Determinación espectrofotométrica de trazas de fósforo con molibdato .....	55
Método XI. Determinación de fósforo como azul de molibdato en minerales de hierro y materiales relacionados ...	57
Método XII. Extracción de fosfomolibdato por escume de políster para la determinación espectrofotométrica.....	59
Método XIII. Determinación de fósforo y silicio. ....	61
por heteronolimolibdato.	

Método	Pág.
Método UV.- Determinación de fósforo por extracción con uno -butanol : cloroformo al 20 % .....	62
Método UV.- Determinación espectral fotométrica de arsénico, fósforo y silicio.....	63
Método UV.-Determinación de fósforo por azul de molibdilo denso por extracción con alcohol isobutílico.....	65
Método UV.- Determinación de fósforo en compuestos orgánicos .....	67
Método UVII.- Determinación de fosfatos inorgánicos en presencia de esteras de fosfatos inestables.....	68
Método UVIII.- Determinación de arsénico en aguas de mar y plantas marinas.....	70
Método UV.- Determinación espectral fotométrica de trazas de fósforo por extracción con acetato de isobutilo.....	73
Método UV.- Extracción y determinación espectral fotométrica de fosfato como complejo azul de metileno - molibdofosfato .....	76
Método UVII.- Método indirecto para la determinación de silicio y fósforo .....	77
Método UVIII.- Determinación espectral fotométrica de fósforo inorgánico.....	78
Método UVIV.- Determinación de fósforo por extracción y tintura catiónica. ....	80
Método UVV.- Determinación espectral fotométrica por extracción de fosfato con molibdato y verde malacita.....	81
Resultados y Discusión' .....	83

	Pág.
Capítulo IV . Gráficas y Tablas .	.....
a) Gráficas .....	109
b) Tablas .....	133
Capítulo V . Conclusiones .....	142
Capítulo VI . Bibliografía .....	145

**Capítulo I**

**INTRODUCTION.**

Méjico, un país con costas en los dos grandes Océanos, con miles de kilómetros de litoral, con aguas patrimoniales que duplican la extensión del territorio nacional, necesita del estudio científico en el área de la economía marina, que racione la explotación del mar y aumente la productividad.

Para el estudio de la fertilidad del mar, la química de la pesca y la biología marina, es necesario conocer la variación del fósforo inorgánico y la cantidad total del fósforo y arsénico, ya que la concentración de ellos en la superficie del agua están directamente relacionados con el fitoplanton y la población de peces. Los mariscos contienen grandes cantidades de arsénico (7 - 90 p.p.m.).

En los suelos hay tres formas principales de fosfatos designadas como aprovechables, potencialmente aprovechables e inmediatamente aprovechables, la última forma conocida como ortofosfato soluble es el más importante para la nutrición de las plantas.

El fósforo y el arsénico son elementos muy importantes en campos como la medicina, la ciencia clínica, la agricultura, la metalurgia, las ciencias ambientales, las ciencias del mar, etc.

Por lo que se requiere un método para la determinación de fósforo y arsénico en bajas concentraciones, que sea aplicable en muestras biológicas, aguas naturales ya sean de río, de mar, marineras o de desecho; sedimentos, plantas, metales, sales, minerales, aleaciones, compuestos orgánicos.

Este método debe tener características tales como veracidad, sensibilidad, precisión y selectividad.

Aquí se mencionan varios métodos que se han utilizado desde tiempos atrás hasta la actualidad destacándose el método azul de

molibdeno el cual puede aplicarse a la diversidad de muestras que anteriormente se señalan.

El método azul de molibdeno es bastante aceptable lo cual - puede demostrarse calculando la desviación estándar. Otra ventaja de éste método es que existen estudios del efecto de los comuestos y elementos que pueden interferir y la manera de eliminar las interferencias.

El método azul de molibdeno ha sido modificado por varios autores para obtener más rápidamente la coloración azul, mayor selectividad y sensibilidad.

**Capítulo XI.**

**G E N E R A L I D A D E S .**

- A) Fósforo y Arsénico.
- B) Colorimetría.
- C) Azul de Molibdeno.

### A) Fósforo y Arsénico.

El fósforo y el arsénico son elementos del grupo V A, el número atómico del fósforo es 15 y del arsénico es 33; su configuración electrónica del fósforo es  $1s^2 2s^2 2p^6 3s^2 3p^3$  y la del arsénico es  $1s^2 2s^2 2p^6 3s^2 3p^6 4s^2 3d^{10} 4p^3$ , densidad del sólido 1.83 del fósforo (blanco) y 5.73 del arsénico ; el volumen atómico del fósforo es de 16.96 y el del arsénico 13.08; el punto de fusión del fósforo es de 44.1°C y el del arsénico es de 814.5°C; el punto de ebullición del fósforo es de 287°C y del arsénico de 615°C (sublima).

El fósforo es un no metal a pesar de que se conoce una forma - conductora "metalica" del fósforo, al arsénico se le llama metaloide, aunque se le considera como metal. Forman moléculas en el estado vapor compuesta por más de un átomo:  $P_4$ ,  $As_4$ . Estos elementos existen en varias formas slotrópicas.

### POSFORO.

Historia del fósforo Brand, de Hamburgo, destilando orina evaporada obtuvo fósforo (del griego phos luz, phero producir), en 1674 - 5 ; por calentamiento del fosfato de la orina se forma metafosfato de sodio y éste se reduce al calentarlo fuertemente con carbono (de la materia orgánica carbonizada) :  $4Na_2PO_3 + 5C \rightarrow Na_4P_2O_7 + 5CO + 2P$ . Brand dió a conocer su procedimiento a Kraft, quien mostró el fósforo en la corte de Carlos II en 1677. Allí lo vió Boyle, quien lo llamó noctiluce, lo volvió a descubrir destilando orina evaporada con arena y publicó la preparación en 1680. Kunkel en 1676 volvió a descubrir el fósforo. Gahn, al rededor de 1770 descubrió el fosfato de calcio en los huesos y Scheel preparó el fósforo de las cenizas de éstos, en 1777.

Existencia.- El fósforo siempre existe combinado; en la litosfera hay 0.157% y en el suelo común 0.1% los fosfatos ligeros como por ejem. la coprolita (fosfato de calcio de los excrementos fósiles); el fosfato Charleston ( 27% de  $P_2O_5$  ). Los fosfatos duros --

son los minerales de España extramadurita ( $33\% P_2O_5$ ) y la sombre rita  $35\% de P_2O_5$ . El fóstatito de Redonda, de las Indias occidentales ( $35-40\% de P_2O_5$ ) el fosfato de aluminio  $AlPO_4$ . La Wavelita (el fosfato de aluminio básico  $4AlPO_4 \cdot 2Al(OH)_3 \cdot 9H_2O$  y la vivianita es el fóstatito ferroso  $Fe(PO_4)_2 \cdot 8H_2O$ .

Los compuestos del fósforo existen en los tejidos vegetales y animales (los granos de los cereales, menos el arroz, contienen  $0.4\%$  de fósforo). La yema de los huevos, los nervios, la mesa encefálica y la médula de los huesos contienen ésteres grasos del ácido fósforico (lecitinas o glicerofosfatos).

Los compuestos de fósforo son fundamentales en los alimentos, pues sirven para restaurar los tejidos gastados y suministrar los fosfatos de los huesos. Las plantas lo toman del suelo como fosfato de calcio. Los huesos frescos contienen alrededor de un  $58\%$  de fosfato de calcio, con algo de carbonato de calcio, grasas y sustancias orgánicas que contienen nitrógeno.

Preparación del fósforo. El fósforo se obtiene reduciendo el ácido fósforico o un fosfato metálico. El  $P_2O_5$  es estable y muy exotérmico  $2P + 5/2 O_2 \rightarrow P_2O_5 + 360Kcal$ , se necesita un agente reductor energético o una temperatura alta, y generalmente se añade sílice para formar con el metal un silicato. En pequeña escala puede usarse el aluminio con metafosfato de sodio y sílice:  $6NaPO_3 + 3SiO_2 + 10Al \rightarrow 3Na_2SiO_3 + 5Al_2O_3 + 6P$  y en gran escala - el fosfato de calcio, carbono y sílice en un horno eléctrico.

La mayor parte del fósforo que se fabrica se usa en la manufactura de las cerillas. Una parte se utiliza para hacer bronce fosforado y bombas fumantes e incendiarias, veneno para ratas y en la preparación de  $PCl_3$ ,  $PCl_5$  y  $P_2O_5$ .

Formas alotrópicas. El fósforo tiene dos formas alotrópicas principales: el fósforo blanco (algunas veces llamado "amarillo" a pesar de que el fósforo es bastante incoloro cuando es puro) y fós-

fóro rojo, que es la única forma estable.

El fósforo blanco es un sólido blanco amarillento translúcido, parecido a la cera, densidad 1.83. Al exponerlo a la luz rápidamente se vuelve amarillo. Se guarda bajo agua en frascos debido a la facilidad con que se inflama en el aire, es ligeramente soluble en benceno y disulfuro de carbono. Una propiedad característica del fósforo blanco es la facilidad con que sufre oxidación espontánea al exponerlo al aire a la temperatura ordinaria, acompañado de un resplandor verde o fosforescencia. Si se calienta al rededor de los 50°C se inflama en el aire seco y arde con una llama blanca, formando humos blancos de pentóxido  $P_2O_5$ . Se inflama espontáneamente en el cloro, explota con violencia en contacto con el bromo líquido y se incendia en contacto con el yodo sólido. Se disuelve lentamente en ácido nítrico concentrado para formar ácido fósforico y en la solución de un hidroxido alcílico caliente con desprendimiento de fosfina  $PH_3$ .

El fósforo blanco es muy venenoso; la dosis mortal es alrededor de 0.15g. Los trabajadores expuestos al vapor están sujetos al deterioro de los huesos, especialmente el hueso maxilar.

Las cerillas modernas contienen en sus cabecillas sulfuro de fósforo  $P_4S_3$ , agentes oxidantes como el clorato potásico o dióxido de manganeso, colza o goma como aglutinante, y vidrio pulverizado para aumentar la fricción.

Las cabezas de las cerillas de seguridad no contienen fósforo, están compuestos de sulfuro de antimonio, azufre, agentes oxidantes como el clorato potásico y minio, mientras que la tira de la caja contiene fósforo rojo, vidrio pulverizado y un aglutinante.

Además del fósforo blanco ordinario o fósforo blanco α se conoce una segunda forma fósforo blanco β (hexagonal) que se forma cuando el primero se enfria a - 76.9°C a una presión de 12,000 atm.

Fósforo Rojo. Fue preparado por Schlotter, en 1845, calentando -

fósforo blanco durante unas cuantas horas a 250°C dentro de un recipiente llenado con nitrógeno o dióxido de carbono. El líquido deposita un polvo rojo y por último se solidifica en una masa roja púrpura. La transformación empieza alrededor de los 215°C, es bastante rápida a los 250°C y a temperaturas más altas es reversible y muy exotérmica:  $P$  (blanco)  $\longrightarrow$   $P$  rojo  $+ 4.22 \text{ K Cal}$ , también queda fósforo rojo cuando el fósforo blanco arde en el aire o en oxígeno bajo agua, antiguamente se creía que era un subóxido. El fósforo rojo comercial es un polvo rojo violeta, densidad 2.1 - 2.2, sin ningún olor ni sabor y no es venenoso. Es un mal conductor de la electricidad. Funde bajo presión a los 592.5°C, pero al calentarlo a presión atmosférica se convierte directamente en vapor, que se condensa en fósforo blanco al enfriarlo. El fósforo rojo es mucho menos activo que el fósforo blanco.

El fósforo rojo contiene pequeñas cristales romboédricos, el color depende del tamaño de la partícula y del desarrollo de la forma cristalina. Las formas escarlata y amarillas son amorfas.

El fósforo amorfo escarlata se obtiene como un polvo fino exponiendo una solución de fósforo blanco en disulfuro de carbono o tribromuro de fósforo a la luz solar, y entonces el polvo amarillo que se deposita primero se vuelve rojo escarlata más activo que el fósforo rojo, se disuelve en los alcalis con desprendimiento de fog fina y se vuelve negro.

Las formas cristalinas del fósforo rojo se llama fósforo III y fósforo IV.

La forma común es el fósforo III, del fósforo violeta (también llenado fósforo metálico  $\alpha$ ) descubierto por Hittorf en 1865. Se forma disolviendo fósforo blanco en plomo fundido o bismuto en un tubo cerrado al soplete, dejándolo cristalizar y disolviendo el metal en ácido nítrico diluido o电解质icamente. No se oxida en el aire y no es conductor de la electricidad.

El fósforo IV o fósforo negro ( o fósforo metálico  $\beta$  ) descubierto por Pidman 1914, es cristalino, peso esp. 2.60, d.f. 587°C y se forma irreversiblemente con el fósforo blanco a los 200° bajo una presión de 12,000  $\text{kg/cm}^2$ . No se inflama a los 400° en el aire y es bastante buen conductor de la electricidad.

Fosforescencia. La tensión del vapor del fósforo blanco a los 20° es 0.027 mm y el vapor se oxida espontáneamente en el aire, emitiendo un resplandor verde y azulado y humos blancos. La fosforescencia fué investigada primordialmente por Boyle en 1680 - 1682 quien descubrió que el fósforo produce luz tan sólo en presencia del aire. Lemery, Slare y Hawksbee encontraron casi a la vez, que el resplandor es más brillante a presiones de aire más bajas. Lammadius mostró que se extingue al vacío de Torricelli. Graham (1829) encontró que la fosforescencia se impide con los vapores de nafta, éter y acetilina y vapores de aceites esenciales, Schünbein (1849) la relacionó con la formación del ozono, puesto que los aceites esenciales que destruyen o disuelven el ozono impiden la luminescencia, a temperaturas bajas no se forma ozono y el fósforo no fosforesce. La fosforescencia parece ser el resultado de una reacción de cadena que implica la producción de óxidos más bajos del fósforo, teniendo entre las moléculas de  $P_4$  y el  $O_2$ .

#### Compuestos del Fósforo.

Hidruros de fósforo. Trihidruro de fósforo anegeo  $PH_3$  (fosfina o hidrógeno fosforado) y el dihidruro de fósforo líquido  $P_2H_4$  (algunos hidruros sólidos mal definidos  $P_{12}H_6$  ,  $P_5H_2$  y  $P_9H_2$  probablemente son fósforo rojo inmuro. La fosfina  $PH_3$  fué descubierta por Gmelin en 1783, calentando fósforo blanco con soda. Se forma normalmente la putrefacción de las proteínas y por la reducción bacteriana de los fósforatos en el suelo; su inflamabilidad espontánea nos ha lleva-

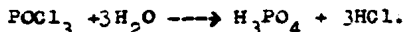
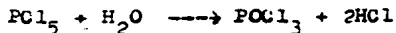
do a la exhalación de los fuegos fatuos. La fosfina es un gas incoloro, con un olor muy desagradable a pescado podrido y es venenoso, se inflama en el aire a los 150° aproximadamente.

A pesar de que la fosfina es neutra puede actuar como una base débil, formando sales de fosfonio  $\text{PH}_4^+$  análogas a las sales de amonio  $\text{NH}_4^+$ .

El dihidruro de fósforo  $\text{P}_2\text{H}_4$  se condensa como un líquido incoloro de la fosfina en bruto haciéndola pasar por un tubo enfriado en una mezcla frigorífica. Su vapor es inestable y el líquido también se descompone al exponerlo a la luz, desprendiendo fosfina y depositando fósforo amorfó impuro.

Haluros de fósforo. El fósforo se combina con los halógenos para formar compuestos trivalentes y pentavalentes.  $\text{PX}_3$  o  $\text{PX}_5$  por ejemplo.  $\text{PF}_3$ ,  $\text{PF}_5$ ,  $\text{P}_2\text{Cl}_4$ ,  $\text{PCl}_3$ ,  $\text{PCl}_5$ ,  $\text{PBr}_3$ ,  $\text{PBr}_5$ ,  $\text{P}_2\text{I}_4$ ,  $\text{PI}_3$  y haluros mixtos como  $\text{PCl}_4\text{Br}$  y  $\text{PF}_3\text{Cl}_2$ .

El pentacloruro de fósforo  $\text{PCl}_5$ , descubierto en 1810 por Davy y en 1816 por Dulong. Es un sólido blanco o amarillo verdoso pálido formado al quemar fósforo en un exceso de cloro o bien introduciendo tricloruro de fósforo en cloro seco:  $\text{PCl}_3 + \text{Cl}_2 \rightarrow \text{PCl}_5$ . El pentacloruro se sublima sin fusión previa, al calentarlo por encima de los 100° a la presión ordinaria. El vapor se disocia completamente por encima de los 300° en tricloruro de fósforo y cloro. El pentacloruro de fósforo se hidroliza violenta e irreversiblemente con el agua.



Obteniéndose en la primera etapa de la reacción el oxoclururo de fósforo y en la segunda el ácido ortofósforico. Bromuros y Ioduros de fósforo, el fósforo blanco explota en contacto con el cloro o bromo líquido; el bromo líquido que cae sobre el fósforo rojo en -

un metraz frío, reacciones con desprendimiento de luz y destila el tribromuro. El fósforo blanco se inflama en contacto con el yodo; el diyoduro de fósforo  $P_2I_4$  y el triyoduro de fósforo  $PI_3$  - se forman mezclando soluciones de yodo y fósforo blanco en disulfuro de carbono en proporciones correctas y evaporando  $PI_5$  y  $POI_3$  se conocen definitivamente. El diyoduro es probablemente  $PI_2$ .

Oxídos y oxisídos. Como por ejemplo  $P_2O_3$  trióxido de fósforo  $P_2O_4$  tetróxido de fósforo,  $P_2O_5$  pentóxido de fósforo ;  $H_3PO_2$  Ácido hipofosfórico,  $H_3PO_3$  Ácido fosfórico,  $H_4P_2O_6$  Ácido perfosfórico, -  $H_3PO_4$  Ácido ortofosfórico,  $H_4P_2O_7$  Ácido pirofosfórico,  $HPO_3$  Ácido metafosfórico. El  $P_4O$  y  $P_2O$  son fósforo rojo impuro y no subóxidos de fósforo . Se conocen dos ácidos perfosfórico  $H_3PO_5$  y  $H_4P_2O_6$ .

El pentóxido de fósforo se prepara por la combustión del fósforo en el aire o en el oxígeno y es muy estable a una temperatura alta. El pentóxido de fósforo comercial contiene algo de trióxido y Ácido metafosfórico; el producto purificado, si está libre de los óxidos más bajos no debe dar un color negro con solución de nitrato de plata. El pentóxido de fósforo muestra una gran fosforescencia después de ser iluminado, especialmente a temperaturas bajas. Tiene -- una fuerte afinidad para el agua, se vuelve húmedo y pegajoso al exponerlo al aire por la formación del Ácido metafosfórico y fija los últimos indicios de humedad de los gases. Al hacerlo en agua reacciona con un ruido de sibilido, y se separan copos de Ácido metafosfórico; al dejarlos reposar en frío estos se disuelven lentamente, el Ácido metafosfórico se hidrata a Ácido pirofosfórico y éste lentamente a Ácido ortofosfórico.

El ácido ortofosfórico. Los fosfatos minerales naturales y las cenizas de los huesos contienen sales del Ácido ortofosfórico  $H_3PO_4$  y el fertilizante guano ( excremento de aves marinas ) es rico en fosfatos combinados con el nitrógeno. Otro origen de fosfatos fertilizantes es la escoria básica de los hornos de acero que contiene -

$\text{Ca}_4\text{P}_2\text{O}_9$  o  $\text{Ca}_3(\text{PO}_4)_2$ ,  $\text{CaO}$ . El ácido ortofosfórico es tribásico y forma tres series de sales primarias  $\text{KH}_2\text{PO}_4$  y terciarias --  $\text{Na}_3\text{PO}_4$ . Los ortofosfatos generalmente se llaman simples fosfatos.

#### ARSENICO.

Historia. El mineral rojo rejalar  $\text{As}_2\text{S}_3$  y el mineral amarillo oropimente  $\text{As}_2\text{S}_3$  eran conocidos en la época más antigua. Olimpiadoros (siglo V) describe el arsénico blanco ( óxido arsénioso --  $\text{As}_2\text{O}_3$ ) obtenido calcinando el sulfuro en aire, y el elemento en sí mismo fué obtenido como un sublimado y se usa para blanquear el cobre. La composición del arsénico blanco como la cal ( óxido ) del arsénico "metálico" fué reconocido por Brand en 1733.

Existencia. El arsénico nativo se presenta en el Harz y en el Japón. Los compuestos que presentan son los sulfuros rejalar y oropimente, el óxido arsenolita  $\text{As}_2\text{O}_3$ , lollingita  $\text{Fe As}_2$ , nicolita  $\text{Ni As}_2$ , cloantita  $\text{NiAs}_2$ , níquel lustroso  $\text{NiAs S}$ , esmaltilta o cobalto de estano blanco ( $\text{Co Ni Fe}$ )  $\text{As}_2$ , piritas arsénicales o mispickel  $\text{FeAsS}$  (isomorfo con las piritas de fierro  $\text{FeS}_2$ ) y otros minerales y las sales de ácido arsénico jermacolita  $\text{CsHAsO}_4 \cdot 2\text{H}_2\text{O}$ , critita o flores de cobalto  $\text{Co}_3(\text{AsO}_4)_2 \cdot 8\text{H}_2\text{O}$  y mimetita  $3\text{Pb}_3(\text{AsO}_4)_2 \cdot \text{Pb Cl}_2$ . El azufre nativo, piritas de fierro y otros minerales de sulfuro, a menudo contienen arsénico y el ácido sulfúrico fabricado con las piritas arsénicales pueden contener 1% de  $\text{As}_2\text{O}_3$ . El humo del carbón - especialmente en las nieblas amarillas puede contener óxido arsénico, de las piritas del carbón. Indicios de arsénico se presentan en las aguas (1 - 60 p.p.m.) el cuerpo humano adulto ( 0.1 mg por Kg ) el tabaco americano ( 6 - 30 p.p.m. ) y las partes comestibles frescas de los mariscos ( 7 - 90 p.p.m. ) contienen grandes cantidades - de arsénico.

En los minerales calcinados, por ejemplo la cobaltita, en el - tratamiento metalúrgico pueden desprenderse humos de óxido arsénico-

so y condensarse en los tubos de la caldera como un polvo. Esto se obtiene en cantidades mayores calcinando minerales arsenicales como el mispickel en una corriente de aire. La mayoría del óxido arsenio  $\text{As}_2\text{O}_3$  usado se obtiene del polvo del tubo de las calderas en las fundiciones de cobre, plomo y estaño, especialmente en Estados Unidos, México y Suecia. El óxido en bruto se sublima en recipientes de fierro para formar arsénico blanco (popularmente llamado arseníco), el con gusto más común de arsénico. La mayoría del arsénico se usa en aleaciones con plomo y cobre; como arsenitos para matayerbres y como insecticida para los carneros antes de la esquila, y los arsenitos de cobre, plomo y calcio como rociadores; el óxido como un veneno para las plagas de insectos y roedores, para proteger las pieles, en la fabricación del vidrio, para eliminar el color, en los esmaltes, pirotécnica; para conservar la madera, y para fabricar pigmentos y mordientes.

El elemento arsénico se obtiene calentando el trióxido con carbón vegetal en un crisol de arcilla cubierto con un cono de fierro invertido, en el cual el arsénico se sublima como un polvo gris:  $\text{As}_2\text{O}_3 + 3\text{C} \rightarrow 2\text{As} + 3\text{CO}$ . Los sulfuros de arsénico no se reducen calentandolos con carbono vegetal, que se reducen por la acción del calor con el cianuro potásico:  $\text{As}_2\text{S}_3 + 3\text{KCN} \rightarrow 2\text{As} + 3\text{KCN}$ .

Formas alotrópicas. 1) El arsénico α o arsénico amarillo, cúbico, densidad 2.026 a 18° soluble en disulfuro de carbono y corresponde con el fósforo blanco; es muy inestable y en seguida pasa a arsénico γ. 2). El arsénico β o arsénico negro amorfo, densidad 4.71, insoluble en disulfuro de carbono. corresponde con el fósforo amorfo, menos estable que el arsénico γ. 3). El arsénico γ o arsénico gris (arsénico metálico), romboédrico densidad 5.73 insoluble en di sulfuro de carbono, y corresponde con el fósforo metálico es la forma más estable y común del arsénico.

El arsénico amarillo o arsénico α primeramente notado por Bette

dorff en 1867 se obtiene (al igual que el fósforo blanco) por el enfriamiento rápido del vapor de arseníco con dióxido de carbono — frío. El Arseníco  $\beta$  o arseníco negro, se forma cuando el arseníco gris se calienta rápidamente en un tubo de vidrio en una corriente de hidrógeno, y entonces se deposita en la parte más fría (200 - 220°C) del tubo como un negro brillante, con algo de arseníco gris depositándose más cerca de la parte calentada (Bercelius, 1844). El arseníco, la variedad común es bastante buen conductor del calor y de la electricidad. Es isomorfo con el fósforo metálico, teluro, antimonio y bismuto. No forma una amalgama. Se oxida en el aire seco a la temperatura ambiente pero en el aire húmedo se recubre rápidamente con una película gris negruzca que contiene trióxido de arseníco, que puede eliminarse calentándolo por sí solo o con un poco de yodo. Comienza a oxidarse en el aire alrededor de 200°C y a 250°C 3900 muestra fosforescencia, dependiendo de la presión y temperatura a la cual esto aparece en el oxígeno como en el caso del fósforo blanco.

El arseníco pulverizado se inflama en el cloro formando  $AsCl_3$ , y se incendia en contacto con el bromo formando  $AsBr_3$ . Se combina directamente con el azufre y el fósforo al calentarlos, pero no con el nitrógeno o carbono. El arseníco forma arseniuros fusibles con la mayoría de los metales; O3 - 1% de aleación con el plomo hace que el metal sea más duro y más fusible, y si esta aleación fundida se llevaatravés de un tamiz, las gotas caen a través de una torre al agua forman los perdigones. El Ácido clorhídrico disuelve el arseníco tan solo en presencia, del aire. El Ácido nítrico diluido, tiene poca acción en frío pero al calentarla lentamente forma el óxido arsenioso. El Ácido nítrico concentrado rápidamente oxida el arseníco a ácido arseníco  $H_3AsO_4$  con algo de  $AsCl_3$ , con aguas regias. El ácido sulfúrico concentrado se reduce a dióxido de azufre; parece ser que se forma el sulfato arsenioso inestable  $As_2(SO_4)_3$  pero se

descompone en el trióxido. Es insoluble en solución alcalina pero es atacado por el hidróxido alcalino formando arsenito e hidrógeno  
 $2As + 6NaOH \rightarrow 2Na_3AsO_3$  a temperaturas altas se forma el arseniato  $4Na_3AsO_3 \rightarrow 3Na_4AsO_4 + Na_3As$ .

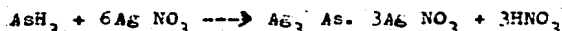
Hidruro Arsenioso. El trihidruro de arsénico (arsina o hidrógeno arseenido) no se forma a partir de los elementos, pero se produce por la acción del hidrógeno naciente sobre una solución diluida de un compuesto de arsénico (Proust 1799). Sheele descubrió la arsina en 1775 por la acción de la solución de ácido arsénico sobre el Zinc; se forma calentando una solución de un compuesto arseenoso con zinc o aluminio y solución de hidróxido sódico (reactivo de Fleitmann 1851). La arsina es muy venenosa. Al exponerla a la luz la arsina húmeda se descompone rápidamente, con deposición de arsénico brillante negro con un poco de arsénico amarillo, pero el gas seco puro es estable. Se descompone por el calor en sus elementos, comenzando la reacción alrededor de  $230^\circ$ :  $2AsH_3 \rightarrow 2As + 3H_2$ . De la proporción de los volúmenes de arsina e hidrógeno, y la densidad de la arsina se encontró la fórmula  $AsH_3$  (Soubiran, 1830). La arsina tan solo es ligeramente soluble en agua y eter, pero se disuelve en seguida en trementina. No forma compuestos semejantes a los compuestos del fosfina.

El reactivo de Marsh - Berzelius. La formación de la arsina ~~se~~ por la acción del hidrógeno naciente sobre, un compuesto de arsénico y la rápida descomposición de ella por el calor, se aplican en el reactivo muy sensible de Marsh - Berzelius. Marsh en 1836 usó la deposición del arsénico sobre una superficie fría mantenida con la llama del hidrógeno ardiente que contiene arsina; Berzelius (y Liebig), en 1837, hicieron pasar el gas a través de un tubo caliente en un solo lugar y obtuvieron un espejo de arsénico.

El reactivo electrólítico de Marsh (primeramente usado por Bloxam en 1861) se usa ahora comúnmente. El cátodo de mercurio, en el

cual los arsenios (no reducidos en el cátodo de platino) también forman arsina, ésta dentro de un recipiente poroso, tapado con cerámica menos en la parte central y ajustado a un tapón de caucho que lleva un embudo de salida para introducir y llevar el líquido; y - un tubo de escape conectado con otro de cloruro de calcio y el tubo de descomposición de vidrio fuerte eléctricamente calentado. El ánodo es un rollo de hoja de platino por fuera de la celdilla porosa en una vasija de vidrio. La parte exterior del recipiente y de la celdilla porosa contienen ácido sulfúrico diluido. Para probar la solución se agregó ésta a través del embudo de salida.

La arsina que pasa por una solución de nitrato de plata diluida da un precipitado negro de plata y el filtrado contiene Ácido arsenioso.  $\text{AsH}_3 + 6\text{AgNO}_3 + 3\text{H}_2\text{O} \rightarrow \text{H}_3\text{AsO}_3 + 6\text{AgNO}_3$ . Con una solución más concentrada de nitrato de plata no se forma ningún precipitado, sino que se obtiene una solución amarilla de un compuesto de arseniuro de plata y nitrato de plata.



Al diluirlo con agua, se deposita un precipitado negro de plata.  $\text{Ag}_3\text{As} + 3\text{AgNO}_3 + 3\text{H}_2\text{O} \rightarrow 6\text{Ag} + 3\text{HNO}_3 + \text{H}_3\text{AsO}_3$ .

La arsina con cloruro mercuríco da una coloración amarilla debida a la formación del  $\text{AsH}(\text{HgCl})_2$  que con un tratamiento mayor da  $\text{As}(\text{HgCl})_3$  pardo y finalmente  $\text{As}_2\text{H}_3$  negro. Esta es la base del reactivo de Gützeit muy sensible (1879).

Un hidruro de arseníco sólido  $\text{As}_2\text{H}_2$  se dice que se forma como un polvo pardo por la electrólisis del ácido sulfúrico diluido o - solución de hidróxido sódico con un cátodo de arseníco. Otro hidruro sólido pardo  $\text{As}_4\text{H}_2$  se dice que se forma oxidando arsina con una solución de cloruro estannico en ácido clorhídrico  $4\text{AsH}_3 + 5\text{SnCl}_4$ . Por el desarrollo de moños en presencia de los compuestos de arseníco (por ejemplo verde de Scheele sobre el papel de la pared se forma un compuesto de arseníco venenoso volátil trimetilarsina.

$\text{As}(\text{CH}_3)_3$ , y no hidruro arsénico, como se creyó en un principio.

Compuestos Halogenados del arsénico. Los haluros del arsénico estables (incluyendo el fluoruro) son compuestos covalentes del tipo  $\text{AsX}_3$ , el número haluro definido de arsénico 5-valente es el  $\text{AsF}_5$ . El  $\text{AsF}_5$  es un líquido incoloro;  $\text{AsF}_3$  es incoloro;  $\text{AsCl}_3$  cristales prismáticos incoloros;  $\text{AsBr}_3$  cristales romboédricos y hexagonales rojos;  $\text{As}_2\text{I}_4$  cristales prismáticos rojos.

El tricloruro de arsénico  $\text{As Cl}_3$  (manteca de arsénico, Glauber 1648), el compuesto halogenado más importante de arsénico, se forma al arder arsénico en gas cloro (una reacción que se presenta espontáneamente aún cuando las sustancias estén muy secas) o calentando arsénico con cloruro mercuríco, o por la acción del calor sobre el óxido arsenioso en cloro:  $11\text{As}_2\text{O}_3 + 6\text{Cl}_2 \rightarrow 4\text{AsCl}_3 + 3(\text{As}_2\text{O}_5 \cdot 2\text{As}_2\text{O}_3)$ . El tricloruro de arsénico es un líquido incoloro, que en una cuena mezcla frigorífica forma cristales perlados. Humea en el aire húmedo y se hidroliza por el agua.

Oxidos y oxifósidos del arsénico. El óxido arsenioso es un sólido blanco, que se sublima libremente alrededor de  $193^\circ$ . La densidad del vapor debajo de  $800^\circ$  con  $\text{As}_4\text{O}_6$ . El óxido arsenioso existe en tres formas: i) un vidrio amorfo densidad 3.732 p.f.  $200^\circ\text{C}$ ; ii) octaédrico (la forma común), dens 3.639 p.f.  $275^\circ\text{C}$ ; p.e.  $465^\circ\text{C}$  sublima por encima de  $135^\circ\text{C}$  sin fusión, pero funde bajo presión; iii) monoclinico, densidad 3.85, p.f. alrededor de  $312^\circ\text{C}$ .

La variedad amorfa (primeramente mencionada por Roger Bacon) se forma al condensarse lentamente el vapor a una temperatura un poco por debajo del punto de vaporización a  $190^\circ$  o en presencia de humedad se vuelve opaco y muy lentamente a la forma octaédrica. La forma octaédrica es estable bajo condiciones ordinarias y se produce al condensarse rápidamente el vapor. La variedad monoclinica, que se presenta como el mineral claudetita, cristaliza al enfriar la de una solución saturada hirviente de la sustancia amorfa ---

en solución de arsenito alcalino o por sublimación bajo condiciones especiales.

El óxido arsenioso fácilmente se oxida a pentóxido, ácido arsénico o a un arseniato, por el ozono, peróxido de hidrógeno, cloro, agua regia, bromoyodo, ácido nítrico e hipocloritos (especialmente en solución alcalina). El óxido arsenioso fácilmente se reduce a arsénico, por la acción del calor con el carbón vegetal o cianuro potásico. Precipita el óxido cuproso rojo de la solución de Fehling. El óxido arsenioso es venenoso violento 0.06 g. es una dosis peligrosa y 0.125 - 0.25 g. es mortal, el hidróxido férreo recientemente precipitado, obtenido al agregar magnesia a una solución de cloruro férreo, absorbe el óxido arsenioso y por eso se recomienda como antídoto.

Ácido arsenioso y arsenitos. Una solución de óxido arsenioso en agua tiene una reacción ácida débil y puede contener ácido arsenioso  $H_3AsO_3$  o  $HAsO_2$ , a pesar de que tan solo el trióxido cristaliza, por concentración o por enfriamiento de una solución caliente. El ácido es muy débil. Al disolver el óxido arsenioso en solución de hidroxido sódico caliente y evaporandola, se obtiene un polvo amorfio blanco de arsenito sódico  $Na_3AsO_3$ , o  $Na_2AsO_2$ ; arsenito de plata  $Ag_3AsO_3$  soluble en ácido acético;  $CuHAsO_3$  o  $Cu_3(AsO_3)_2 \cdot 2H_2O$  (verde de Scheele). El verde brillante de Schweinfurt o verde de París es un compuesto de arsenito cíprico y acetato cíprico y acetato, con la fórmula  $Cu(C_2H_3O_2)_2 \cdot 3Cu(AsO_2)_2$ .

Pentóxido de arsénico y ácido arsénico. Al contrario que el fósforo, el arsénico arde en oxígeno para dar prácticamente el óxido más bajo  $As_2O_3$ . Cavendish obtuvo ácido arsénico, que corresponde con el pentóxido de arsénico, en 1764 pero no publicó el trabajo y fue descubierto por Scheel, en 1775, oxidando trióxido de arsénico con agua de cloro generalmente el ácido se fabrica hirviéndole con ácido nítrico concentrado. La solución muy concentrada, al enfriarla

deposito cristales rómicos de Ácido ortoarsénico  $2\text{H}_3\text{AsO}_4 \cdot \text{H}_2\text{O}$ . El ácido arsénico es un agente de oxidación: libera yodo de un yoduro en solución ácida. Los arseniatos generalmente son isomorfos con los fosfatos y tienen fórmulas semejantes. El arsenato de sodio común  $\text{Na}_2\text{AsO}_4 \cdot 12\text{H}_2\text{O}$  se usa mucho en los estannados de mercurio; los arseniatos de calcio, magnesio, manganeso y plomo se usa como fumigantes para los árboles frutales.

Sulfuros de Arsenico. Se conocen los compuestos  $\text{As}_3\text{S}$ ,  $\text{As}_2\text{S}_3$  y  $\text{As}_2\text{S}_5$ . El disulfuro se presenta como el mineral rojo rejálgar y el trisulfuro  $\text{As}_2\text{S}_3$  como el mineral amarillo oronímeno y se fabrican calentando óxido arsénico o arsenioso con azufre



B) Colorimetría.

En estudios cuantitativos por absorción de radiación, un haz pasa a través de una disolución y se mide la intensidad de la radiación transmitida. La radiación que absorbe la disolución se determina comparando la intensidad del haz transmitido utilizando un blanco, con la del haz transmitido cuando en lugar del blanco está la disolución. El poder radiante (intensidad) de un haz es proporcional al número de fotones por segundo que pasen por unidad de sección transversal. Si los fotones que chocan con la muestra tienen una energía igual a la que se requiere para originar un cambio de energía cuantificada, puede haber absorción. La cantidad de energía absorbida depende de la probabilidad del cambio de energía implicado. Así pues, la absorción disminuye el poder de la radiación transmitida. La dispersión y la reflexión también disminuyen el poder de la radiación, pero para la mayoría de los sistemas que se estudian aquí, estas pérdidas son insignificantes.

Considerando los cambios que ocurren cuando una radiación monocromática atraviesa la celda de absorción (figura 2-1), primero se llena la celda con una disolución llamada "blanco", que generalmente está constituida por el disolvente y los constituyentes de la muestra que no sean la especie absorbente. Con este disolvente "blanco" en la celda, el poder de la radiación transmitida corresponde al poder radiante incidente, menos la dispersión y reflexión, y cualquier absorción de los otros constituyentes (generalmente muy pequeña), se representa éste poder radiante por  $P_0$ , y nos sirve como poder radiante incidente "corregido".

Cuando el "blanco" se substituye por la muestra, el poder radiante transmitido, representado por  $P_t$ , corresponde a la absorción de la muestra.

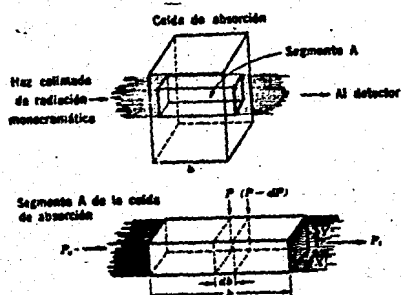


Fig. 2-1

Considerando lo que pasa a la radiación cuando atraviesa el segmento A de la muestra en la fig. 2-1, empleando la notación del cálculo diferencial,  $dP$  representa la disminución del poder radiante en una cara infinitesimalmente pequeña,  $db$  es decir, la cantidad de radiación absorbida por esta cara. Suponiendo que la absorción - de energía requiere una interacción física entre un fotón y la especie absorbente. Por consiguiente el número de choques posibles - que ocurren en esta cara es proporcional tanto al número de especies absorbentes como al número de fotones que la atraviesen. Si el número de especies absorbentes se duplica, el número de choques de los fotones también se duplica, por lo tanto, la pérdida en el poder radiante,  $dP$ , es directamente proporcional a  $N$  (número de especies - absorbentes) y a  $P$  (número de fotones por unidad de área de la sección transversal, por segundo). Para la cara  $db$ , el número de especies absorbentes está dado por:

$$N = (6.02 \times 10^{20} \text{ especies/m mol}) (c \text{ m mol/ml}) (db \times t \times V \text{ ml})$$

Suponiendo que 1 cc = 1 ml.

Como  $X$ ,  $Y$  son constantes. La fórmula anterior queda :

$$N = K^* c db$$

en donde  $K^* = (6.02 \times 10^{20}) (X \cdot Y)$  especies  $\text{cm}^2/\text{m mol}$

El número de choques es proporcional al producto  $N \times P$ , o sea:

$$dP \propto NP = K^* P c db$$

por consiguiente :  $dP = -K P c db$  ——————(2-1)

En donde  $K$  es una constante de proporcionalidad; el signo negativo se debe a que el poder radiante decrece a medida que  $db$  aumenta. Integrando la ecuación 2-1, sobre todo la longitud de la celda,  $b$ , se obtiene la pérdida en poder radiante debida a la absorción de la muestra. Separando las variables y resolviendo la ecuación 2-1:

$$\int_{P_0}^{P_t} \frac{dP}{P} = -K \int_0^b c db ; \quad \ln \frac{P_t}{P_0} = -K b c$$

pasando de logaritmo natural a logaritmo de base 10 :

$$2.303 \log \frac{P_t}{P_0} = -K b c$$

$$\log \frac{P_t}{P_0} = -\frac{K}{2.303} b c = -E b c \quad ——————(2-2)$$

en donde  $E$  representa la absorción molar, llamado también coeficiente de absorbividad. Si la concentración se da en gramos/litro,  $E$  se substituye por  $a$ , la absorción específica. El término  $P_t/P_0$  corresponde a la transmitancia, que se representa con una  $T$ , que es la fracción del poder radiante incidente que transmite la muestra.  $T \times 100$  es el porcentaje de transmitancia, por lo tanto, la ecuación 2-2 queda así :

$$\log T = -E b c \quad ; \quad -\log T = E b c$$

-  $\log T$  se conoce también como absorbancia, se utiliza el símbolo  $A$ , o densidad óptica:

$$-\log T = A = \varepsilon b c \quad (2-3)$$

El valor de  $\varepsilon$  es característico de la molécula o ión absorbente en un disolvente determinado y a una determinada longitud de onda. Es independiente de la concentración y del trayecto recorrido por la radiación. La ecuación 2-3 se designa como ley de Beer-Lambert, en la derivación de ésta ley se supone que: 1) la radiación incidente es monocromática; 2) las especies absorbentes actúan independientemente, unas de las otras en el proceso de absorción y 3) la absorción ocurre dentro de un volumen de sección transversal uniforme.

Los instrumentos actuales están calibrados para hacer lecturas ya sea en % de transmitancia, en absorbancia o en ambas. En la figura 2-2 se ilustran gráficamente las relaciones existentes entre absorbancia, transmitancia y concentración a una determinada longitud de onda.

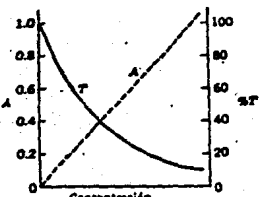


Fig. 2-2

Cuando se estudian sistemas que tienen más de un componente que absorbe radiación, se supone que las especies actúan independientemente unas de otras y que sus absorbancias son aditivas. El-

espectro de absorción de una mezcla de dos especies I y II es simplemente la suma de las dos curvas de los dos componentes, como se observa en la figura 2-3, se sueliere que se elijan aquellas longitudes de onda en las que haya mayor diferencia en las absorbancias.

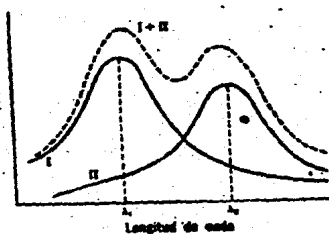


Fig. 2-3

Muchos sistemas absorbentes siguen la ley de Beer en disoluciones líquidas, pero en otras las absorbancias varían en forma no lineal respecto a la concentración. Este funcionamiento se conoce como "desviación de la ley de Beer". Para manejar estos sistemas se requiere una curva de calibración, trazada con valores de muestras de concentración conocida. En esta forma, se puede determinar una concentración desconocida a partir de la absorbancia de la disolución, en la misma celda y siguiendo el mismo procedimiento empleado para la determinación de las muestras típicas. En la figura 2-4 se muestra una curva de calibración. Las verdaderas desviaciones de la ley de Beer, se presentan solo en sistemas en los que la concentración de las especies absorbentes es alta, que el índice de refracción de la radiación absorbida varía; Consecuentemente, las concentraciones que se requieren en las disoluciones para que se ajuste a la ley de Beer deben ser inferiores a  $10^{-2}$  M; la posibilidad del aparato para detectar pequeñas diferencias en el poder radian-

te, determina el límite inferior que es del orden de  $10^{-7}$  %.

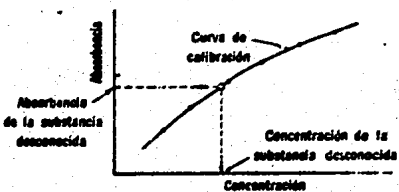


Fig. 2-4

Los aparatos que se emplean en el estudio de la absorción de la radiación electromagnética en función de la longitud de onda, se llaman espectrómetros o espectrofotómetros.

Los principios básicos y electrónicos en que se basan estos espe-  
ctrómetros, fundamentalmente, son los mismos para todas las regiones  
del espectro desde el ultravioleta al vacío hasta el infrarrojo -  
lejano. Hay, sin embargo, algunas diferencias importantes en los com-  
ponentes específicos empleados para las diversas regiones.

Los componentes básicos de un espectrofotómetro son: 1) Una fuente estable de energía radiante; 2) Un monocromador para desdoblir la radiación en las longitudes de onda requeridas; 3) recipientes transparentes para la muestra y 4) un detector de la radiación con un sistema de lectura acoplado (medidor o registrador). Los aparatos comerciales son variaciones del diagrama de la fig. 2-5.

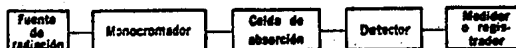


Fig. 2-5

Las fuentes de energía radiante están constituidas por substancias que se pueden excitar a un estado de energía elevado mediante una descarga eléctrica de alto voltaje o por calentamiento eléc-

trico y cuando vuelven a estados de menor energía o a su estado fundamental, emiten fotones de energías características. Las lámparas de hidrógeno y deuterio son las fuentes más comunes de radiación ultravioleta, que emiten una radiación entre 180 y 350  $\mu\mu$ ; en el visible y en el infrarrojo cercano la lámpara de filamento de tungsteno emite una radiación de 350 a 2500  $\mu\mu$  y es la más barata; para el infrarrojo se utilizan las lámparas de Wernst que tienen un elecrodo hueco de óxido de circonio e ytrio que emite una radiación de 0.4 a 20  $\mu\mu$  y la lámpara de Globar que tiene de carburo de silicio, emite una radiación continua entre 1 - 40  $\mu\mu$ .

La fuente de radiación emite una radiación continua dentro de un amplio margen de longitudes de onda, llamada radiación políchromática de banda ancha y se utilizan aditamentos que pueden ser filtros o monocromadores para reducirla a banda angosta.

Cualquier tipo de detector absorbe la energía de los fotones que chocan contra él y la convierte en una cantidad medible, por ejemplo, generan una señal eléctrica que puede accionar algún tipo de medidor. La señal eléctrica generada por cualquier detector de radiación se debe transformar a una lectura que se pueda interpretar.

c) Azul de Volibdeno.

La mayoría de complejos de metales de transición son colores oscuros, es decir, poseen la propiedad de absorber determinados longitudes de onda de la región visible del espectro. Estas absorciones — suelen extenderse, casi siempre, en las regiones vecinas del infrarrojo cercano y el ultravioleta próximo: por ello la expresión "espectro de absorción visible" incluye absorciones de las regiones adyacentes.

La cuártica de los complejos de metales de transición, ha coincidido con el desarrollo de las teorías que interpretan estas propiedades y que se asocian con las cunas "d" incompletas, de tal manera que, el espectro de absorción que presenta cualquier compuesto depende de la energía de los orbitales d, de su desenergización y del número de electrones distribuidos en ellos: estos hechos están condicionados por el estado de oxidación del metal, el número y clase de ligandos y la geometría del complejo.

El complejo es una unidad molecular compuesta de un átomo central enlazado con un número fijo de otros átomos o grupos de átomos llamados ligandos, dispuestos en forma geométrica regular.

El espectro de absorción de los complejos puede tener diferentes orígenes asociados con los ligandos: las transiciones electrónicas entre el átomo (ión) central y los ligandos; los del Atomo central; los de otros iones del compuesto.

Se han encontrado, principalmente, tres tipos de geometrías regulares en la mayoría de complejos conocidos: de coordinación octaédrica, tetraédrica y cuadrada plana.

La carga total de un complejo puede ser positiva, negativa o cero, es costumbre escribir el complejo entre corchetes. Los iones o moléculas enlazadas al metal se denominan ligandos y el enlace —

es coordinado (covalente-iónico). El número de átomos o grupos ligados coordinados al metal se llama número de coordinación. El n.º de oxidación del metal, indicado en número romano, es la carga formal del ión metálico de la cual se deriva la carga total del complejo.

Molibdeno. El número atómico del Mo es 42, su configuración electrónica es  $1s^2 2s^2 2p^6 3s^2 3p^6 3d^5 4s^2 3d^{10} 4p^5 5s^1 4d^5$ , del grupo VI B de la tabla periódica cuyas configuraciones terminan con  $nsl\ n-1\ d^5$ . El principal mineral de molibdeno es la molibdenita,  $MoS_2$ , aunque también se encuentra como wolfsita,  $Pb Mo O_4$  y  $Mo Mo O_4$ .

Los óxidos del molibdeno son  $MoO_3$ ,  $Mo_2O_5$  y  $MoO_2$ . El  $MoO_3$  se disuelve en exceso de amoníaco y se obtiene el  $(NH_4)_2 MoO_4$ , llamado molibdato de amonio; los cristales obtenidos por la evanescencia del molibdato de amonio son más complejos:  $(NH_4)_6 Mo_7O_{24} \cdot 4H_2O$ .

El azul de molibdeno se prepara reduciendo soluciones ácidas de molibdato con reductores moderados como por ejemplo el  $Sn^{2+}$ .

Los polífcidos del Mo pueden dividirse en dos tipos: a) los isopolífcidos y sus aniones relacionados, que contienen únicamente Mo, O y H. b) Los heteropolífcidos y sus aniones que contienen además de Mo, O, H uno o dos átomos de otro elemento. todos estos aniones contienen grupos octaédricos  $MoO_6$  y por lo tanto la transformación de los iones  $MoO_4^{2-}$  en polianiones involucra necesariamente un aumento en el número de coordinación del átomo metálico.

Algunos oxoiones metálicos se polimerizan y se forman cierto tipo de especies, por ejemplo el  $Mo_7 O_{24}^{6-}$ .

Los heteropolífcidos del molibdeno son compuestos que se forman cuando se acidifican soluciones que contienen iones molibdato y otros oxoiones o iones metálicos. A diferencia de los isopolífcidos muchos heteropolífcidos son resistentes a la desnolimerización adn

en soluciones acidas bastante fuertes.

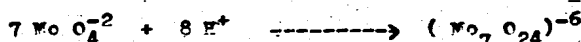
Los heteronolícidos se comportan como ácidos fuertes.

En la estructura de los isonoli y heteronolianiones, estudiada por difracción de rayos X, se encuentra que el Atomo de Mo se localiza en el centro de un octaedro conformado por Atomas de oxigeno y que las estructuras pueden construirse uniendo estos octaedros entre si sea a través de vértices o aristas comunes, pero nunca compartiendo caras.

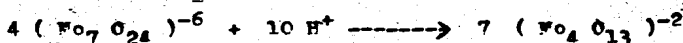
Formación del complejo reducido.

El fosfotitromolibdico, fosfotitanomolibdico y complejos similares se reducen a temperatura ordinaria debido a la constitución de estos compuestos. La eficiencia de estos elementos (Ri, Ti, Zr, etc), los cuales son ligandos al átomo central del óxido heterocícli. en la reacción de diferentes agentes reductores.

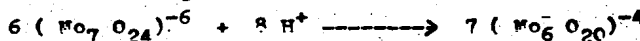
La forma paramolibídica :



En solución suficientemente diluida, tome la forma del tetramolibdico:



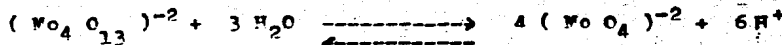
O en solución concentrada tome la forma de trimolibdico:



Nuevamente el tetramolibdato :



En solución se disocia:



**Capítulo III.**

**TECNICAS Y RESULTADOS.**

Método I.

Método modificado para la determinación rápida de fósforos.

De los tres principales tipos de procedimientos colorimétricos para la determinación de fósforos, el método de azul de molibdo no normalmente involucra un tiempo un tiempo de reacción considerable o un vaso de calentamiento; en su forma modificada se emplea extracción con disolventes<sup>(51)</sup>. En el método del ácido molibdatoanídrico-fosfórico, la acidez es un factor crítico.

Este método está basado en la determinación espectrofotométrica del color amarillo del ácido molibdofosfórico<sup>(12)(100)</sup>, el cual forma con la adición de una solución de molibdato de amonio a la solución ácida de fósforo; la absorbancia se mide a 380 nm.<sup>(45)</sup>

Aparatos:

Un espectrofotómetro.

Reactivos:

1.- Solución de ácido nítrico 2.5 N grado reactivo.

2.- Solución de molibdato de amonio, R.A., al 10% (w/v).

3.- Solución estandar de ortofósfato monoácido de sodio.

Procedimiento.

A un volumen de muestra de 400 microlitros que contienen de 0 - 10 mg de ortofósfato se le adicionan 50  $\mu$ l de ácido nítrico 2.5 N; se mezcla bien y se adicionan 50  $\mu$ l de solución de molibdato de amonio y se agita. Preparar el blanco y la solución estandar; dejar por 6 min a 20°C la muestra y después mida la absorbancia a 380 nm.

Método II.

Nuevo reactivo para la determinación de fósforo y arsénico.

Se realizaron pruebas que mostraron que el reactivo debe contener Mo(VI) y Mo(V), debido a que las soluciones separadas no producen el color azul con el fósforo y el arsénico, es por ello que la presencia de ambos es indispensable.<sup>(16)</sup>

Este reactivo que contiene Mo (VI) y Mo(V) debe ser estable en el aire y producir una prueba negativa adecuada (blanco).

El molibdeno (V) es estable en el aire en la presencia de -- HCl 8 N.

La solución de Mo (VI) se obtiene por la reducción de Mo (VI) en ácido clorhídrico como medio, con mercurio el cual es un método muy rápido y no introduce otro elemento extraño en la solución.

Aceratos:

Un espectrofotómetro.

Reactivos:

Todos los reactivos son prácticamente libres de fósforo, silicio y germanio.

1.- Solución de fósforo (1000  $\mu$  g de  $P_2O_5$ / ml). Disuelve 1.917 g de F  $H_2PO_4$  en 100 ml de agua, por dilución adecuada se obtiene una solución que contiene 10  $\mu$  g de  $P_2O_5$  por ml.

2.- Solución de Mo (VI) y Mo (V). Se prepara una solución de 0.4 M a partir de una solución de molibdato de amonio al 14,7% - (0.8 N). La solución de Mo (V) se prepara a partir de 50 ml de la solución 0.8 N de molibdato de amonio al cual se le adiciona 25 ml - de HCl concentrado, se adiciona agua destilada hasta los 100 ml y -

por diluir se agrega 10 ml aproximadamente de mercurio metálico. - la mezcla tarda 5 min hasta la reducción total a  $Fe^{(V)}$  y des-bués se filtra, la solución es de un color rojo intenso.

Procedimiento.

En un mátraz volumétrico de 50 ml que contiene 10 $\mu$  g de P se adicionan 1.5 ml de reactivo y se diluye a aproximadamente a 30 ml con agua destilada y se calienta en baño María durante 15 min; se deja enfriar y se diluy con agua hasta la marca, por último se hacen las mediciones a 840 nm. Para el arsénico el procedimiento es similar y las mediciones se hacen a 810 nm.

Método III.

Determinación de arsénico en compuestos orgánicos, método micro y semimicro.

El método semimicro completa el análisis por reducción del arsénico pentavalente con ioduro en una solución amortiguadora<sup>(85)</sup>. El método micro completa el análisis por el desarrollo de un azul del heterocomplejo molibdeno usando una solución única a temperatura ambiente<sup>(103)</sup>. El color es reproducible tanto que solamente es necesario una curva de calibración para el instrumento usado.

Este método se aplica a compuestos orgánicos.<sup>(87)(55)(21)</sup>

Aparatos:

Un espectrofotómetro.

Reactivos.

1.- Ácido clorhídrico al 28 %

2.- Sol estandar de As III 0.0005 N . En un mátraz volumétrico

de 100 ml coloque 247.2 mg de tróxido de arsénico previamente seca-  
do a un peso constante a 105%. Disuelva el sólido en 4 ml de hidróxi-  
do de sodio, neutralice la solución con fenolftaleína como indica-  
dor adicionando ácido clorhídrico 6 N. Después adicione 50 g de bi-  
carbonato de sodio. Diluya a 1000 ml con agua destilada y mezcle -  
bien.

3.- Solución estándar de iodo. ( 0.005 N ). Disuelva 2 g de iodo  
duro de sodio en 5 ml de agua destilada, adicione 0.65 g de iodo y  
agitáte hasta que se disuelva el iodo. Diluya a 1000 ml con agua des-  
tilada y mezcle bien.

4.- Reactivo colorimétrico. Mezcle volúmenes iguales de 2.5 %  
w/v de molibdato de amonio en agua y subcarbonato de bismuto al 1 %  
en ácido sulfúrico 7 N. Inmediatamente antes de usar adicione 10 g  
de ácido ascórbico por 100 ml de solución. Este método es una mo-  
dificación del procedimiento sugerido por Jean<sup>(14)</sup>.

#### Procedimiento.

Transfiera una muestra que contenga 0.25 a 0.5 mg de arsénico  
a un matraz cónico a 250 ml con tauón esmerillado. Adicione 10 ml -  
de ácido clorhídrico y caliente en una barrilla hasta que espese.

Retirelo de la barrilla, enfrié y adicione 2 ml de agua desti-  
lada, una cota de fenolftaleína y neutralice con solución de hidróxi-  
do de sodio, elimine el color de la fenolftaleína con ácido clorhídri-  
co 6 N. Diluya a 100 ml en un matraz volumétrico.

En un tubo de ensayo graduado, de 10 ml introduzca una alícuo-  
ta de 2 ml de la solución estándar de arsénico, diluya a 7ml, adicio-  
ne 2 ml de reactivo colorimétrico, diluya a 10 ml, mezcle el conteni-  
do del tubo y deje reposar por 5 min. Lea la absorción en un espec-

trofotómetro a 660 nm contra agua destilada como blanco.

#### Método IV.

Método de una solución única modificada para la determinación de fósfato.

Esta técnica está basada en la adición de antimonio III como tartrato de antimonio y potasio, formándose el color azul rápidamente (68).

Los experimentos hechos por adición de varias cantidades de antimonio a la solución de reactivo mostró que la concentración óptima de antimonio fué de 0.4 mg por 50 ml de volumen final (41). A esta concentración el color alcanzó su máxima intensidad en agua destilada. En agua marina la máxima coloración aparece aproximadamente en 10 min. y permanece constante por lo menos 24 hrs.

La máxima absorción del azul de fosfomolibdeno producido por un agente reductor cloruro de estadio o ácido escórbico, tiene su máxima absorción a más bajas longitudes de onda, esto sugiere que el antimonio puede ser un componente del compuesto azul del molibdeno, es de 882 nm.

#### Aparatos:

Un espectrofotómetro.

#### Reactivos:

1.- Ácido sulfúrico 5 N. Diluir 70 ml de ácido sulfúrico concentrado a 500 ml.

2.- Sol. de molibdato de amonio. Disuelva 20 g de molibdato de amonio R. I. en agua y diluya a 500 ml. Almacene la solución en

un frasco de vidrio (67).

3.- Sol. de ácido ascórbico (0.1 N). Disuelva 1.32 g de ácido ascórbico en 75 ml de agua. Esta solución deberá, si es posible, - preverse el díp en que se recuiera, debido a que el ácido ascórbico fácilmente se oxida. Si es necesario mantener la solución, podrás estabilizarse por adición de 25 mg de etilendiamina tetracáctica y - 0.5 ml de ácido fórmico por 75 ml de solución.

4.- Sol. de tartrato de antimonio y potasio (1 mg de Sb / ml ). Disuelva 0.2743 g de tartrato de antimonio y potasio en agua destilada y diluya a 100 ml.

5.- Mezcla de reactivos. Mezcle perfectamente 125 ml de ácido sulfúrico 5 N y 17.5 ml de la solución de molibdato de amonio. Adicione 75 ml de solución de ácido ascórbico y 12.5 ml de solución - de tartrato de antimonio y potasio. Este reactivo deberá ser preparado tanto como se requiera, no se conserva por más de 24 hrs.

6.- Solución estándar de fósfato. Prepara una solución que - contiene 0.1757 g de fósfato mononotáxico R. A. por litro. Esta solución contiene 40 mg de P como fósfato/ litro. Prepara como se requiera una solución que contenga 0.2  $\mu$ g de P como fósfato por ml, - por dilución de la solución patrón.

#### Procedimiento.

Tritamiento de equino. Llenar los matraces calibrados,los cuales se usan para la determinación, con ácido sulfúrico concentrado, dejelos toda la noche y despues lavelos muy bien. Es preferible mantener un conjunto de matraces para usarlos solamente en la determinación de fósfato y despues de usarlos, lavarlos y mantenerlos llenos con agua, hasta que se vuelvan a usar. Si se hace ésto, el tra-

tamiento se recuiere solo ocasionalmente.

Coloque 40 ml de la muestra de suelo en un matraz calibrado de 50 ml, adicione 8 ml de la mezcla de reactivo, diluya a volumen con agua y mezcle bien. Después de 10 min. mide la absorbencia de la solución, a 292 nm. El espectrofotómetro esté modificado para usar celdas de 7.62 o 15.24 cm y en la celda de compensación se utilizó agua destilada. Para el método de calibración se usa 1, 2 o 4  $\mu$ g de fósforo como fósfato (nara celdas de 15 cm), adicione la mezcla de reactivo después de haber diluido a 40 ml.

#### Método V.

Determinación rápida de fósforo en presencia de arsénico, silicio y germanio.

La ventaja de la solución única y la catalisis de antimonio (41)(42), es aplicable a la determinación de fósforo en suelos y plantas.

La interferencia del arsénico se elimina con un exceso de tiosulfato, bajo condiciones ácidas se produce una solución turbia por la liberación del azufre, ésto puede prevenirse adicionándose iones sulfito; el sulfito no reduce el arsénico(V) a temperatura ambiente, por lo que se calienta, efectuándose la reducción rápidamente.<sup>(82)</sup>

#### Aparatos:

Un espectrofotómetro.

#### Reactivos:

1.- Mezcla de reactivos<sup>(68)</sup>: Mezcle 50 ml de ácido sulfúrico - 5 N, 15 ml de molibdato de amonio al 4% (w/v), 30 ml de ácido as-

córbico 0.1 N recién preparado, y 5 ml de solución de tróxido de antimoniato potasio (1000 n.n.m. de Sr, 0.2743 g de  $K_2SbO_3 \cdot H_2O_6$  / 100 ml). Esta mezcla de reactivos debe prepararse diariamente antes de usarse.

2.- Agente redutor. Mezcle 20 ml de Ácido sulfúrico 5 N, 40 ml de metabisulfito de sodio al 10% (w/v). Prepare el agente redutor diariamente.

#### Procedimiento.

Tome una aliquota como máximo de 30 ml de una muestra neutra en un frasco volumétrico de 50 ml, adicione 5 ml de agente redutor y mezcle perfectamente. Desnúfle de 15 min adicione 8 ml de la mezcla de reactivo, diluya el contenido del frasco con agua hasta la marca y mezcle perfectamente. Desnúfle de no menos de 40 min., mida la absorción a 720nm.

#### Método VI.

##### Formación y reducción del heteronolimolibdato en presencia del bismuto.

Se ha usado un procedimiento espectrofotométrico para determinar la composición de una mezcla dímerica fósforo-bismuto heteronolimolibdato. Un estudio estecuimétrico indica que la relación de  $W_o : P : Bi$  en el complejo es de 18 : 1 : 1. El complejo es más estable en soluciones de ácido nátrico que el ácido 12-molibdofósforico (12), pero se reduce más fácilmente al azul heteronoli (74)(75). El heteronoli bismuto-fósforo se reduce más fácilmente que el ácido 12-molibdofósforico.

Aparatos:

Un espectrofotómetro.

Reactivos:

1.- Soluciones de Mo (VI)  $1.6 \times 10^{-3} M$  y  $5 \times 10^{-2} M$ , preparadas a partir de  $Na_2 Mo O_4 \cdot 2 H_2 O$ . las soluciones recien preparadas son más recomendables.

2.- Solución de bismuto preparada a partir de  $Bi (NO_3)_3 \cdot 5 H_2 O$   $4 \times 10^{-5} M$  con la cantidad requerida de ácido nítrico, diluyendo con agua destilada. Las soluciones se estandarizan volumétricamente con un procedimiento STAN estándar.

3.- Las soluciones de ácido ascórtico no son estables y se preparan justo antes de usarse.

Procedimiento:

Coloque el reductor en un matraz volumétrico y regule a una temperatura constante el baño de agua a  $26 \pm 0.05 ^\circ C$  Después se coloca una aliquota en una celda de 1 cm, el reductor se adiciona con una jeringa hipodérmica de  $100 \mu l$ , se agita manualmente y se coloca en el espectrofotómetro, las mediciones se hacen a  $350 nm$ . La formación del ácido 1,2-molibdofósforico. Todas las mediciones se hacen contra agua destilada como referencia.

Método VII.

Determinación espectrofotométrica de arsénito, arsenato y fósforo en agua marina.

Pocos estudios sobre la abundancia del arsénico en agua mari-

no han intentado describir su distribución entre las especies arsenito y arsénato. Algunos investigadores recientemente reportan cantidades de arsénito en agua marina, aunque termodinámicamente el arsénato es la forma más estable. Anteriormente se han aplicado dos métodos para la determinación de arsénico<sup>(76)</sup>:

En este método se puede determinar mezclas de arsenito, arsénato y fósfato en aguas dulces y saladas con el uso del reactivo oxidante y uno reductor y es aplicable a las soluciones donde la concentración total del fósforo y arsénico es menor de  $3.6 \times 10^{-6}$  N. - Es relativamente sencillo y está basado en los complejos de azul de molibdeno de arsénico y fósforo<sup>(43)</sup>.

La precisión del método se calcula por desviación estándar de acuerdo al método de Dean y Dixón<sup>(21)</sup>.

El efecto de los compuestos que pueden interferir con este método, han sido estudiados por Schouwenaer y Walinga<sup>(82)</sup>.

Instrumentos:

Photómetro.

Reactivos:

1.- Mezcla de reactivos de Murchy y Riley<sup>(68)</sup>.

2.- El reactivo reductor de Johnson<sup>(82)</sup>.

3.- Solución de Ioduro de potasio al 50 %.

4.- Ácido clorhídrico 1 N.

5.- Iodato de potasio 400  $\mu$  M.

6.- Soluciones estándar de arsénico y fósforo (1 - 2 m M) a partir de arsénato de sodio y fósfato monopotásico R. A.

#### Procedimiento.

Colocar 40 ml de la muestra en cada uno de los seis tubos de ensayo de 50 ml, de vidrio, tapados. Dos tubos serán para la aliquote no tratada, dos para la reducida y dos para la oxidata. Agregue a cada tubo una gote de solución de ioduro de potasio al 50 %. Mezcle bien y deje reaccionar por lo menos 30 minutos, después agregue 1 ml de Ácido clorhídrico 1 N a éstas aliquotas, mezclando otra vez.

Permita que la formación de color en las aliquotas oxidadas y en las no tratadas se lleve a cabo en 4 hrs. Lea la absorbancia en una celda de 10 cm a una longitud de onda de 865 nm.

Agregue 4 ml de reactivo reductor a la aliquote reducida, mezcle y deje reaccionar por 3 hrs. Después edície 4 ml de la mezcla de reactivos, espere 15 min para que la formación del color sea completa y lea la absorbancia como se indica anteriormente. Para hacer máxima la exactitud, estas mediciones deberan hacerse dentro de una hora del tiempo en que la mezcla de reactivo se edicione.

La corrida del blanco en agua desionizada por los procedimientos dados anteriormente, se hace junto con las muestras.

#### Método VIII.

##### Método de rutina para la determinación de arsénico en plantas.

El arsénico frecuentemente se separa como hidruro volátil, arsina, antes de su determinación, ambos directamente como el complejo arsina de dietilditiocarbamato en piridina o después de la oxida-

ción a arsénico por el procedimiento azul de molibdено, sin embargo la reducción de arsénico (V) a arsina y la evolución de arsina sufre interferencias y altos valores de los blancos.

El procedimiento modificado de co precipitación, en el que, el precipitado puede ser colectado por centrifugación, que permite tratar varias muestras simultáneamente. El arsénico se determina por el procedimiento de azul de molibdено, ya que, es sensible y relativamente libre de interferencias<sup>(78)</sup>. Es posible determinar 22 muestras (en duplicado con dos blancos y dos estandar) en 8 hrs. dos días de trabajo.

Aparatos:

Centrifugas refrigeradas a 15°C .

Un espectrofotómetro.

Reactivos:

Todas las soluciones se preparan con agua deionizada, todos los reactivos son R. A.

1.- Bicarbonato de sodio-óxido de plata. Mezcle 25 g de bicarbonato de sodio con un gramo de óxido de plata.

2.- Solución de molibdato de sodio. Preparar una solución acuosa que contiene 1 % (w/v) de molibdato de sodio y 4.8 % (w/v) de nitrato de sodio.

3.- Solución de ácido clorhídrico de lavado. Preparar una solución de ácido clorhídrico 1 N y adiciones 0.25 ml de solución acuosa de tiosacetamida al 2 % (w/v) y 10 gotas de 10 % (v/v) Triton - X-100 por cada 500 ml de ácido.

4.- Mezcla de molibdato. Mezcle 3.3. ml de ácido sulfúrico -

7.5 N, 3.0 ml de solución 4.8 % (w/v) de molibdato de amonio y 1 ml de 0.274 % (w/v) de solución de tartrato de antimonio y potasio (1 mg de antimonio/ml) y diluya a 31 ml. Diluya 13 ml de solución de ácido escórbico al 0.88 % (w/v) recién preparado a 31 ml y mezcle con la solución previamente.

5.- Solución reductora. Disuelva 0.56 g de metabisulfito de sodio en 29 ml de agua deionizada y adicione 4 ml de 1.4 % solución de thiosulfato de sodio, mezcle y adicione 0.5 ml de disolución de ácido sulfídrico 7.5 N.

6.- Solución estandar de arsénico que contenga 2 mg de As /ml. usando arsenato monosódico R. A., después se estandariza colorimétricamente contra óxido de As (III).

#### Procedimiento.

Mezcle 2 g de material de plantas y 0.02 ml de bicarbonato de sodio-óxido de plata con un mezclador de remolino y carbonizar a 450°C por 6 hrs en un tubo de ensayo. Adicione 0.8 ml de ácido clorhídrico concentrado, caliente a 70°C por 15 min., adicione agua deionizada, caliente a 70°C por 20 min y diluya a 10 ml.

Tome una aliquota de la solución ácida de la ceniza de la planta arriba de 5.5 ml, adicione 20 ml de ácido clorhídrico 10 N y 0.2 ml de disolución de molibdato de sodio, nitrato de sodio y mezcle con un agitador. Adicione una gota de 0.03 ml de solución acuosa de dodecilsulfato de sodio 0.25 % w/v y 0.5 ml de solución acuosa de tioacetamida al 2 % (w/v). Mezcle cada tubo después de la adición final con un mezclador y deje reposar 10 min., caliente la solución a 60 - 65°C por 15 min., enfrié en una corriente de aire

por 0.5 hr y actíone la centrifugue a 2500 e por 15 min., lave el -  
no adiconando 5 ml de ácido clorhídrico. 1 N.

Disuelva el precipitado adiconando 0.05 ml de ácido nítrico concentrado, deje reposar toda la noche y caliente a 120°C por - 30 min. a 150 - 160°C por 1.5 hrs., de modo que el ácido nítrico refluja en las paredes. Deje enfriar la muestra y desnué adicione - 0.005 ml de ácido nítrico para oxidar cualquier molibdeno reducido. Adicione 1 ml de rezola de reactivo de molibdato, espere de 1 a 4 hrs y determine la absorbancia a 850 nm contra un reactivo blanco.

#### Método IX.

Determinación esnectofotométrica de fósforo por formación - del ácido 12-molibdofósfrico en un estado reducido.

En 1962 Murphy y Riley introdujeron el uso de antimonio III - en la determinación de fósfatos con el objeto de aumentar la reducción del ácido 12-molibdofósfrico, mejorando las técnicas hasta -- entonces conocidas. La función del antimonio III en la reducción - del ácido 12-molibdofósfrico es de gran interés<sup>(66)</sup> y recientemente se utiliza también Ti, P, Th<sup>(44)(29)</sup>.

En este método se establecen las condiciones de formación del ácido molibdofósfrico con ácido ascórbico con y sin la presencia de antimonio III.<sup>(30)</sup>

Equipos:

Un esnectofotómetro.

Reactivos:

- 1.- Solución de molibdeno (VI), preparada a partir de  $(\text{NH}_4)_6$   
 $\text{Mo}_7 \text{O}_{24} \cdot 4 \text{H}_2\text{O}$  P. A.
- 2.- Solución de fósfato preparada a partir de  $\text{V H}_2 \text{PO}_4$  P. A.
- 3.- Solución de antimonio III preparada a partir de  
 $\text{F}(\text{Sb O})_3 \text{C}_2\text{H}_5\text{O}_2 \cdot 1/2 \text{H}_2\text{O}$  P. A.

Todas las soluciones se preparan con  $\text{H}_2\text{O}$  bdestilada y se almacenan en frascos de vidrio.

Todo el equipo debe ser lavado con ácido clorhídrico 6 N y enjuague con  $\text{H}_2\text{O}$  bdestilada y deje secar.

Procedimiento.

Se suscriben dos procedimientos:

I.- Para escoger la concentración de Mo.

II.- Para seleccionar el volumen de la muestra.

Procedimiento I.

Mezcla de reactivos. Disolver 0.12 g de molibdato de amonio - en 150 ml de agua bdestilada, adicionar lentamente 20.8 ml de ácido sulfúrico concentrado y agitando. Enfriar a temperatura ambiente, adicionar 0.668 g de tetrato de antimonio y potasio y diluir - a 250 ml; este mezcla es estable por varias semanas a temperatura ambiente.

Preparar una solución diluida al 1/4 de ácido ascórbico.

Se toma un volumen apropiado de la muestra en un matraz volumétrico de 50 ml, adicionar una gota de fenolftaleína a la solución. Si se forma un color rojo, adicionar ácido sulfúrico 0.5 N hasta que desaparezca el color rojo, puede adicionarse de 1 a 10 ml de la mezcla de reactivos, 2 ml de ácido ascórbico y 5 ml de la mezcla

de reactivos, diluye a volumen. Medir la absorbancia a 280 nm después de 10 min, pero no después de 30 min., contra un reactivo blanco.

#### Procedimiento III.

Mezcla de reactivos. Prepare la mezcla de reactivos como se indica anteriormente, con la diferencia de que se adicionen 2 g de ácido ascórbico después de la adición del antimonio, este mezcla es estable por una semana a 4°C. Adicionar una gota de fenolftaleína + 50 ml de muestra, si se forma un color rojo adicionar ácido sulfúrico 3 N gota a gota hasta que desaparezca el color. Adicionar 5 ml de mezcla de reactivos que contienen el ácido ascórbico y citrato. Medir la absorbancia a 280 nm después de 10 min, pero no después de 30 min., contra un reactivo blanco.

#### Método X.

##### Preconcentración y determinación espectrofotométrica de trazas de fósforo con molibdato.

El método de azul de molibdено ha sido modificado por varios autores (41)(42)(43)(44), para obtener más rápidamente la coloración azul y más alta selectividad (42) y sensibilidad (41)(43).

En éste método las trazas de fósforo en agua son colectadas como un complejo azul de fosfomolibdено en una columna enrejada. El azul de fosfomolibdено, se eluye con N, N-dimetilformamida y la absorbancia del eluyente se mide continuamente a 700 nm. En alternativa

tunto máximo es proporcional a la cantidad de fósforo presente ( $0.1$  -  $0.5 \mu\text{g}$ ), en una muestra de  $10 \text{ ml}$ . Las interferencias de arsénico se eliminan adicionando un agente reductor. Altas concentraciones de sulfato causan un pequeño error positivo. Este método de análisis se aplica a aguas de río o marinas (92).

#### Equipos:

Un Espectrofotómetro. Columna de preenarcación, tubo de  $5 \text{ mm}$  de diámetro y  $150 \text{ mm}$  de longitud.

#### Reactivos:

1.- Mezcla de reactivos, de acuerdo a Murphy y Riley:  $4.8 \text{ g}$  de molibdato de amonio y  $0.1 \text{ g}$  de tartato de antimonio y potasio, disueltos en  $500 \text{ ml}$  de ácido sulfúrico  $4 \text{ N}$ .

2.- Agente reductor<sup>(82)</sup>, el cual se prepara diariamente, se mezcla  $20 \text{ ml}$  de ácido sulfúrico  $3.5 \text{ N}$ ,  $40 \text{ ml}$  de solución de metabisulfito de sodio al  $14 \%$  y  $40 \text{ ml}$  de solución de tiosulfato de sodio  $1.4 \text{ N}$ .

3.- Solución estandar de fósforo. Preparala disolviendo fosfato monovariésico en agua. ( $0.5 \mu\text{g}/10 \text{ ml}$ )

#### 4.- Adsorbente.

#### Procedimiento.

Tome una solución de muestra que contenga menos de  $0.5 \mu\text{g}$  de fósforo, adicione  $1 \text{ ml}$  de mezcla de reactivos, aumentando hasta  $10 \text{ ml}$  de agua con fósforo libre. Muestras mayores de  $50 \text{ ml}$  se pueden manejar, si se adiciona  $1 \text{ ml}$  por  $10 \text{ ml}$  de muestra y la dilución posterior resulta innecesaria.

Adicione  $10 \text{ mg}$  de ácido ascórbico, después de  $10 \text{ min}$ , pase la

solución a la columna, usando una bomba, se bombea N,N dimetilformamida a través de la columna a una velocidad de 1 ml / min. mientras se mide la absorbancia a 700 nm, usando una microcelda de flujo.

#### Método VI.

Determinación de fósforo como azul de molibdeno en minerales de hierro y materiales relacionados.

La muestra se funde con peróxido de sodio en un crisol de circonio y el metal se disuelve en ácido clorhídrico<sup>(9)</sup>. El complejo azul de molibdeno se forma por la adición de molibdato y sulfato de hidrazina<sup>(10)</sup>). La absorbancia se mide a 725 nm.

Instrumentos:

Espectrofotómetro.

Reactivos:

1.- Solución de molibdato de amonio (20 g/l). A 500 ml de agua adiciones cuidadosamente 100 ml de ácido sulfídrico y enfrie. Adiciones 20 g de molibdato de amonio mercurio y diluya a un l. con agua.

2.- Disuelve 4g de peróxido de sodio en 40 ml de agua adiciones 20 ml de ácido clorhídrico concentrado, hierva por 2 min. Enfrié y diluye a 100 ml en un matraz. ( fusión de blanco)

3.- Solución de sulfato de hidrazina (1.5 g/l). Adiciones 50 ml de la solución de molibdato de amonio a 100 ml de agua, 20 ml

de sol de sulfato de hidrazina y diluya a 200 ml.

3.- Solución de sulfito de sodio (100 g/l)

4.- Solución estandar de fósforo de 50  $\mu$ g/ml y de 10  $\mu$ g/l  
a partir de fósfato monóxido de sodio.

#### Procedimiento.

Coloque 0.1 gr de muestra en un crisol de circonio. Adicione 2 g de peróxido de sodio y mezcle con constante de acero inoxidable, funda en un horno, saite el crisol hasta que el metal este rojo, retire del calor y saite hasta que el metal solidifique en la pared del crisol. Coloque el crisol en un vaso de 250 ml y enfrié, tiene el vaso con un vidrio de reloj; adicione 10 ml de agua al crisol cuando la reacción haya cesado transfiera el contenido del crisol en un vaso y lave el crisol y la taza con agua. Adicione 15 ml de ácido clorhídrico concentrado al crisol, enjuague y vacíe el contenido al vaso. Hierva 2 min, enfrié, transfiera el contenido en un matraz de 50 ml, diluya a volumen con agua. Transfiera una aliquota a un frasco y la fusión de blanco a un vaso de 150 ml, adicione 15 ml de solución de sulfito de sodio, mezcle y pongalo a hervir. Retirelo, adicione 20 ml de solución de molibdato-sulfato de hidrazina. Pongalo en baño maría por 10 min. y enfrié. Transfiera en un matraz de 50 ml y diluya hasta la marca con agua y mezcle. Dentro de las 2 hrs siguientes mide la absorbancia a 725 nm con agua como referencia.

Método VI.

Determinación de fósforo y silicio por heteropolí molibdato.

Los métodos espectrofotométricos ultravioleta indirecta anteriores para fósforo y silicio no eliminan la interferencia de los constituyentes<sup>(22)(26)</sup>. Dejess determinó fósforo en presencia de silicio midiendo la absorbancia a 330nm del ácido molibdo-fósforico extraído con acetato de isopropilo<sup>(22)</sup>; Zausch utilizó 2-octanol como disolvente para la extracción<sup>(102)</sup>.

Los iones fósfato y silicio reaccionan con los iones molibdato en solución ácida para formar óxidos heteropolí. El ácido molibdo-silico se extrae en una solución de 5 : 1 de dietilester-pentenol<sup>(40)</sup>, y el óxido molibdo-fósforico se extrae con dietil eter. En este método se usa una extracción selectiva<sup>(40)</sup>.

Apéndices:

Un espectrofotómetro.

Reactivos:

1.- Solución estandar de fósfato, disuelva 2.2 g de fósfato-monocatiónico en agua destilada y diluya a un litro. Una alícuota de 20 ml de esta solución se disuelve en un litro de agua destilada, es solución contendrá 0.01 mg de fósforo por ml.

2.- Solución estandar de silicio a partir de 5.4 g de silicato de sodio Na<sub>2</sub>SiO<sub>3</sub>·9H<sub>2</sub>O en agua destilada y diluya a un litro.

3.- Solución de molibdato. Disuelva 25 g de molibdato de amonio en agua destilada y diluya a 250 ml.

4.- Solución amortiguadora, disuelva 53.5 g de cloruro de amonio y 70 ml de hidróxido de amonio concentrado en agua destilada y diluya a un litro.

5.- Solución de nentanol- éter, mezcle 50 ml de 1 nentanol con 250 ml de dietil-éter. Esta solución debe prepararse antes de usarse.

6.- Dietil éter.

Todos los reactivos son R.A. y todas las soluciones acuosas - se almacenan en frascos de polietileno.

Procedimiento.

Pese o mida por volumen una muestra que contiene 0.05 mg de silicio y 0.05 mg de fósforo. Transfiera la muestra a un embudo de separación de 125 ml, adicione 10 ml de ácido clorhídrico 1 : 2 y diluya aproximadamente a 40 ml con agua destilada. Adicione 4 ml de solución de molibdato de amonio al 10 % agite y deje reposar 10 min. El pH de la solución debe ser aproximadamente 1.3, adicione 5.0 ml de ácido clorhídrico concentrado, agite y deje reposar.

Extraiga el ácido molibdoatófórico adicionando 45 ml de dietil éter y agitando vigorosamente por 2 min con un agitador mecánico. - quite el tapón del embudo de separación y enjuague con 1 o 2 ml de dietil éter usando una pipeta. Transfiera a la fase acuosa que contiene ácido molibdosilícico a otro embudo de separación de 125 ml.

Lave el extracto que contiene el ácido molibdoatófórico con 10 ml de ácido clorhídrico 1:10, agitando por 10 sec, agite el embudo para colectar el agua, deseche la fase acuosa; lave la parte del embudo con un chorro de agua destilada para eliminar trazas remanentes del exceso de molibdato. Adicione 30 ml a la solución de cloruro de amonio e hidróxido de amonio y agite por 15 o 30 seg. Deseche la fase acuosa en un matraz volumétrico de 100 ml, adicione otro 15 ml de la solución amortiguadora y agite por 15 o 30 seg. Mida la absorbancia a 230 nm.

Método VII

Extracción de fosfomolibdato por esponja de políster para la determinación espectrofotométrica.

El ácido fosfomolibdato ha sido extraído con acetato de etilo, acetato de butilo, 2 metil propanol, 3 metil-1-butanol, 1-octanol<sup>(81)</sup>, una mezcla de butanol y cloroformo<sup>(100)</sup> y recientemente con erinas de alto peso molecular o la extracción de heteronolimolibdatos, o heterocianiones en general.

La formación del fosfomolibdato es máxima entre un pH 1-2. Sin embargo, el rango de acidez para la extracción de heterocianiones depende de la naturaleza de los solventes orgánicos<sup>(83)(70)</sup>.

El mecanismo no se ha establecido bien, sin embargo, se ha sugerido<sup>(36)</sup> que el átomo de oxígeno de los solventes orgánicos interactúa con el polibieno del heteronolimolibdato y el cambio en el espectro de absorción del extracto del complejo heteronolíbido constituye el incremento en el número de coordinación del átomo de polibieno<sup>(45)</sup>.

• Aparatos:

Un espectrofotómetro.

Reactivos:

1.- Ácido resistente tipo políster, esponja poliuretano las cuales pesan  $70 \pm 5$  mg.

2.- Soluciones de molibdato de sodio y fosfato monosódico -  $1 \times 10^{-3}$  M y  $4 \times 10^{-5}$  M respectivamente y se almacenen en frascos de polietileno.

Procedimiento:

Prender la solución de la muestra para la concentración requerida. La solución de la muestra (100 ml.) se coloca en la celda de extracción por 3 - 4 hrs, tiempo suficiente para establecer un equilibrio y mide la absorción.

Método XIV.

Determinación de fósforo por extracción con 1-butanol : Cloroformo al 20 %.

Algunos métodos para la determinación de P, S, Si y Ge están basados en el estudio de los ácidos heterocílicos<sup>(11)(12)</sup> y su extracción. Shaffer recomienda 1-octanol para la extracción del ácido molibdofosfórico en lugar del 3-metil-1-butanol porque son menos las interferencias<sup>(81)</sup>.

En este método la determinación de fósforo se utiliza la extracción del ácido molibdofosfórico con un 20 % por volumen de solución de uno butanol en cloroformo<sup>(100)</sup>, esta relación de 20 % de 1-butanol es óptima pues tiene alta sensibilidad y produce bajas interferencias.

Aparatos:

Un espectrofotómetro.

Reactivos:

Los disolventes usados para la extracción deben ser R. A. y y todos los reactivos también.

Todas las soluciones se guardan en frascos de vidrio - o de polietileno para prevenir la contaminación por el silicio.

- 1.- Solución de fósforo mononotálico que contiene 25 mg / ml.
- 2.- Solución de ácido clorhídrico 2 N.
- 3.- Solución de molibdato de sodio al 1.5%.
- 4.- Mezcla para la extracción 20% (v/v) de 1-butanol en cloroformo.

#### Procedimiento:

Ponga en un vaso de precipitados 1 ml de la solución de fosfato mononotálico con 11 ml de ácido clorhídrico y 10 ml de solución de molibdato de sodio y diluya a 25 ml. Esta mezcla se transfiere a un embudo de separación de 125 ml. Agregue 10 ml de disolvente 1 - butanol: cloroformo, agite por 3 seg y separe las capas; agregue 10 ml de disolvente, agite y vuelva a separar. Mida la absorbancia a 310 nm.

#### Método XV.

##### Determinación espectrofotométrica de arsénico fósforo y silicio.

El silicio se puede determinar como el ácido molibdosilícico amarillo (58). Los disolventes de extracción selectiva de los ácidos molibdofósforico y molibdoarsénico fueron resumidos por Wadelin (100) y sirven de base para este método.

La mezcla de estos tres elementos no había sido analizada ya

que parecía enteramente imposible determinar arsénico, silicio y fósforo en una muestra. La suma de los tres ácidos heteronólicos cuales tienen un espectro idéntico en la región del cercano ultravioleta, se miden analizarse en una sola muestra (50). Las alícuotas de ésta muestra pueden tratarse separando el fósforo, desmineralizando el arsénico, selectivamente en acetato de calcio en el cual pueden determinarse individualmente en la fase orgánica. Finalmente el silicio puede determinarse por corrección de la absorbancia en la fase acuosa por la contribución del fósforo y arsénico.

Aparatos:

Un espectrofotómetro.

Reactivos:

1.-Soluciones de 10 mg/ml de silicio soluble, arsénico (VI) y fósforo (V). Disuelve 4.7 g de metasilicato de sodio  $\text{Na}_2\text{SiO}_3 \cdot \text{H}_2\text{O}$ , 4.2 g de arsenato de sodio  $\text{Na}_2\text{AsO}_4$  y 1.2 g de fósfato trisódico —  $\text{Na}_3\text{PO}_4 \cdot 12\text{H}_2\text{O}$  respectivamente en agua destilada y diluyendo la solución resultante a 100 ml. Estas soluciones se estandarizan gravimétricamente.

2.-Ácido nítrico al 60%

3.-Acetato de calcio R.A.

Procedimiento:

Una alícuota de la solución estándar deseada se coloca en un matraz volumétrico de 100 ml, se adiciona 5 ml de una solución que contiene 40 mg/ml de óxido de molibdeno (VI) y se mezcla la solución. Se adicionan 2 ml de ácido nítrico al 60% y se diluye hasta los 100 ml y se mezcla perfectamente. Finalmente la absorbancia se mide a 332 nm contra un blanco (la solución tiene un pH 0.7).

Técnicas de extracción: Una solución estandar de 5 n.n.m. de silicio como silicato, 10 n.n.m. de fósforo, 50 n.n.m. de arsénato y 20 ml de aliquotes de cada una de los tres ácidos heteronoli, los cuales fueron extraídos con 20 ml de acetato de etilo.

La absorbancia de la fase acuosa se mide a 332 nm contra uno extraído y un blanco no extraído.

La absorbancia de ácido molibdoftósfrico a 330 nm y la del ácido molibdoarsénico a 323 nm.

#### Método VI.

Determinación de fósforo por azul de molibdeno por extracción con alcohol isobutilílico.

El ácido heteronoli de fósforo en ambas formas reducida y no reducida, se utiliza comúnmente para determinar pequeñas cantidades de fósforo. El arsénico, silicio y germanio forman también ácidos heteronoli similares al del fósforo<sup>(11)(12)</sup>.

Inicialmente se forma el ácido molibdoftósfrico amarillo que es extraído con alcohol isobutilílico y subssecuentemente reducido con ácido cloroestenoso al azul heteronoli (Shaffer utiliza el alcohol n-octílico<sup>(51)</sup>). El espectro de absorción del azul heteronoli de fósforo en alcohol isobutilílico es diferente del obtenido en medio acuoso<sup>(52)</sup>. La longitud de onda de absorbancia máxima se elen<sup>za</sup> a 625 y 725 nm.

La interferencia del arsénico y germanio pueden ser eliminadas

dos por volatilización preliminar como bromuros<sup>(52)</sup>.

Instrumentos:

Un espectrofotómetro.

Reactivos:

1.- Solución estandar de fósforo (0.025 mg de fósforo/ml) - Disuelve 0.1008 de fósforo mononotálico R. A. en agua destilada - y aforar a un litro.

2.- Solución de molibdato de sodio al 10 %. Disuelve 25 g de molibdato de sodio  $\text{Na}_2\text{MoO}_4 \cdot 2\text{H}_2\text{O}$  en agua destilada y aforar a 250 ml.

3.- Solución de cloruro estanoso 0.2 %. Disuelve 2.38 g de cloruro estanoso  $\text{SnCl}_2 \cdot 2\text{H}_2\text{O}$  en 170 ml de ácido clorídrico concentrado, diluir a un litro con agua destilada, adicionar varias trazas de estadio metálico.

4.- Alcohol isobutílico para la extracción; ácido merclórico al 72 % destilando doblemente el vacío.

Procedimiento General.

Adicione 5 ml de ácido merclórico a la solución, diluya aproximadamente a 45 ml en agua destilada y adicione 5 ml de reactivo de molibdato, mezcle y espere varios minutos. Transfiera a un embudo de separación de 125 ml con tanón de vidrio esmerilado. Extrága con 40 ml de alcohol isobutílico agitando por 60 seg, escurre y deseche la cama acuosa (la más baja).

Adicione 25 ml del reactivo ácido cloroestanoso y agita por 15 seg, deseche la cama acuosa y escurre. Pase la fase alcohólica a un mátraz volumétrico de 50 ml; lava el embudo con 10 ml de alcohol isobutílico y adicione el lavado al mátraz de 50 ml, afora con alcohol isobutílico, quedando la solución de color azul claro, des-

ya sea mediante perfectamente visto la absorbancia = 725 nm usando un reactivo blanco como referencia. Determine la cantidad de fósforo con la ayuda de una curva de calibración.

#### Método TUJI.

Determinación de fósforo en compuestos orgánicos.

Desde su introducción, el sulfato ferroso raramente se usa como reductor en el método azul de molibdeno. Rockstein<sup>(80)</sup> lo utilizó en una solución de alta acidez para prevenir la interferencia del silicio.

La mayoría de compuestos de fósforo orgánico son descomponibles cuantitativamente para producir ácido ortofosfórico, cuando se calientan con ácido sulfídrico, ácido nítrico o mercuriclor (agua oxigenada) para completar la oxidación. El exceso de oxidante se elimina por evaporación de la solución hasta la formación de masas de trióxido de sulfuro. En este método se utiliza sulfato ferroso-amónico como reductor para formar el azul de molibdeno<sup>(14)</sup>.

Reactivos.

Un espectrofotómetro.

Reactivos:

Todos los reactivos deben ser R. A..

1.- Solución fuerte de molibdato. Disuelve 100 g de molibdato de amonio en un litro de agua y adiciones agitando a la solución fría de 250 ml de ácido sulfídrico concentrado en 700 ml de agua, diluya -

a 2 litros. La solución se conserva indefinidamente.

2.- Solución de sulfato ferroso-amonio al 10% que contiene 2 ml de ácido sulfúrico 4 N. Para prevenir la hidrolisis. La solución puede prepararse en el día en que se usa.

3.- Ácido sulfúrico. Adicione 125 ml de ácido sulfúrico a 800 ml de agua, enfrié y afores a un litro.

#### Procedimiento:

Pese de 3 a 10 mg de una muestra en un matraz de 15 ml, adicione 1 ml de ácido sulfúrico concentrado y unas pocas gotas de ácido nítrico concentrado y caliente sobre la llama de un microburnsen en el usual aparato de extracción de gases para descomponer la muestra. Evapore los gases de trióxido de azufre, enfrié el matraz, lave la gorganta con uno o dos mililitros de agua y evapore los gases otra vez. Enfrié, lave el interior del matraz con 4 o 5 ml de agua. Transfiera el contenido del matraz a uno volumétrico de 100 ml, usando porciones de 4 o 5 ml para enjuagarlo. Adicionando 20 ml de la solución de molibdato y 10 ml de la solución de la solución de sulfato ferroso-amonio, enjugando la gorganta del matraz y mezcle la solución entre adiciones. Afore y mezcle perfectamente, luego espere 15 min. y mida la densidad óptica a 750 nm, compare con un blanco que contenga los reactivos y preparelo en la misma forma que la muestra.

#### Método XVIII.

Determinación de fósforos inorgánicos en presencia de esterés

de fosfatos inestables.

El método es muy sensible y funciona mientras los esteres no han sido hidrolizados (la hidrólisis se presenta debido a la acididad que tiene la solución de molibdato de amonio); el molibdofosfato se extrae con una mezcla de isobutanol-benceno y la reducción se hace con cloruro estannoso(32).

Instrumentos:

Un espectrofotómetro.

Reactivos:

1.- Disuelve 5 g de molibdato de amonio R. A. en 100 ml de ácido sulfúrico 2.5 N

2.- Disuelve 5 g de molibdato de amonio R. A. en 100 ml de agua.

3.- Se disuelven 2 g de sulfato de hidrazina en un l. de ácido sulfúrico 6 N, se enfria a 10°C y se adiciona 1 g de cloruro estannoso. Esta solución se filtra después de 12 hrs y puede conservarse 4 semanas.

4.- Isobutanol R. I.

Procedimiento.

A una muestra de 25 o 35 ml se le adicionen 5 ml de reactivo (1) cuando la muestra contiene menos de 12.5 meq. de ácido sulfúrico; adiciones 5 ml de reactivo (2) cuando contiene 12.5 - 24 meq. de ácido sulfúrico. Adiciones 15 ml de isobutanol y coloque en un embudo de separación. Cierre el embudo volteando el tapon 90° y agite. Regresa el tapon a la posición original y retire la capa inferior, saque la capa superior con 15 ml de ácido sulfúrico 0.6 N y

después enjuague con etanol al 96 %. Coloca en un frasco volumétrico de  $\text{40 ml}$ , mientras agita el frasco adiciones  $\text{0.1/100 ml}$  de solución estanosa, diluya el contenido a volumen con etanol y mida la absorbancia dependiendo de la cantidad de fósfatos,  $\alpha = 25$ ,  $50$ , o  $100 \text{ ml}$ .

#### Método XIV.

##### Determinación de arsénico en aguas de mar y plantas marinas.

Anterior a éste método, Smale<sup>(24)</sup> promueve otro método el cual resulta inadecuado para rutinas e tener de ser muy sensible.

En este método la determinación de bajas concentraciones de arsénico en aguas marinas y plantas marinas, el cual también es aplicable a silicatos y sedimentos, con el uso de tionalida para la cristalización de microgramos de arsénico y su aplicación como un agente concentrante en un método fotométrico<sup>(76)</sup>.

##### Aparatos:

Un espectrofotómetro.

##### Reactivos:

1.- Solución de ácido ascórbido al 5% (w/v). Prepara cuando se requiera.

2.- Solución de tionalida 2% (w/v). en acetona, preparala cuando se requiera.

3.- Ácido sulfúrico 5 N.

4.- Solución de ácido ascórbico (C.I.P.), 1.76% (w/v) en agua

destilada. Esta solución debe ser almacenada a 0 °C y debe desecharse cuando se oxida.

5.- Solución de tartrato de antimonio y potasio (1. molar de Sb/ml) 0.274 g (w/v) en agua destilada.

6.- Mezcla de reactivos<sup>(62)</sup>. Mezclar 50 ml de ácido sulfúrico 5 N, 15 ml de solución de molibdato de amonio de 4.8 g (w/v), 5 ml de solución de tartrato de antimonio y potasio y 30 ml de 0.1 N de ácido ascórbico. Diluir a 125 ml, este reactivo debe ser usado en el intervalo de una hora ya que es inestable.

7.- Solución estandar de arsénico que contiene 1  $\mu$  g de As / ml, debe prepararse cuando se requiera ya que es inestable.

#### Procedimiento.

a) Para determinar arsénico en agua marina o cualquier agua natural.

Poner 1 litro de agua marina filtrada en un mátrix Erlenmeyer de 2 litros, adicionar 4 ml de ácido ascórbico al 5 % tenelo con un tamón de vidrio y hiervalo en una parrilla eléctrica para reducir el arsénico al octado +4, después retíralo de la parrilla y deje enfriar por 10 min. Adicionar 2 ml de ácido ascórbico al 5 %, dejar enfriar a temperatura ambiente. Adicione, mientras mezcle con agitador mecánico, 10 ml de ácido sulfúrico 5 N y después 7 ml de solución de tiosulfato. Mezcle por 5 min para formar el precipitado, deje reposar por 10 min y caliente a ebullición en la parrilla y hierva suavemente por 30 min para eliminar toda la acetona. Enfrié y mezcle para formar el precipitado, Deje reposar toda la noche a temperatura ambiente y filtre con succión suave usando papel filtro whatman # 54 de 4.25 cm de diámetro. Lave el precipitado y filtre con agua destilada.

lada.

Ponga el p.v. en un matraz Erlenmeyer de 25 ml y adicione 7.5 ml de ácido nítrico concentrado. Cierre el matraz con un tapón esterilizado y caliente suavemente en una parrilla caliente hasta que la solución quede amarillo nítido (24 - 36 hr). Quite el tapón esterilizado, enjuague con un poco de agua y evapore el ácido nítrico, cuando permanezca un líquido viscoso amarillo, continúe calentando suavemente mientras pasa una corriente de dióxido de carbono para eliminar el ácido nítrico residual, el cual de otro modo interfiere en la determinación. Enfrié el residuo, el cual debe quedar como un sólido amarillo nítido; adicione 1 ml de ácido sulfúrico 1 N y caliente suavemente hasta que el sólido se disuelva. Transfiera a un matraz volumétrico de 100 ml, adicione 2 ml de mezcla de reactivos y diluya a 10 ml. Después de no menos de 30 min mida la absorbancia de la solución a 860 nm. El color amarillo de la solución puede parcialmente entascarar la visibilidad del color azul del complejo azul de arsenomolibdeno, pero no interfiere con la medición espectrofotométrica. Determine el blanco en una muestra de un l de agua marina de la cual el arsénico se ha eliminado, por coagulación con hidróxido férreo (20 mg de  $\text{Fe}^{3+}$  / ml).

b) Para determinar arsénico en silicatos y sedimentos.

Pese 0.25 g de silicato del mineral, en un crisol de plata, adicione 1.5 g de hidróxido de sodio y funda en una mufla a 750°C por 10 min. Destruye enfrié la masa fundida con 50 ml de agua y deje reposar la solución toda la noche para dejar esentear el material insoluble. Filtra a través de un papel filtro Whatman # 51 usando succión y lava el material insoluble con agua destilada. Transfiera el filtrado en un matraz Erlenmeyer de 1 litro, diluya a 500 ml y a-

adicione 15 ml de ácido sulfúrico 5 N y 1 ml de etanol. Caliente por unos 5 min en una plancha caliente para reducir cualquier tannato formado en la fusión. Continúe el enfriamiento como se describe para agua marina, reduciendo el arsénico a 3+ con ácido ascórbico, cocristalizando con tionalida y determinando fotométricamente.

c) Para determinar arsénico en plantas marinas. Pese un g de material de plantas en un retrete Erlenmeyer de 500 ml, adicione 15 ml de ácido nítrico redestilado y cierre el matraz con un tanón esterilizado. Caliente suavemente con una parrilla hasta que la muestra este completamente oxidada. Si es necesario adicione 10 ml de ácido nítrico. Cuando la solución permanezca limpia, quite el tanón y evapore suavemente la solución hasta secuadad, cuidando de que no sea un sobrecalentamiento ya que el residuo tiende a ser menos soluble. Disuelve el residuo en agua destilada que contiene 10 ml de ácido sulfúrico 5 N, calentando si es necesario, diluya a 500 mL con 500 ml cocristalice el arsénico y determine como se describe para agua marina.

#### Método IV:

Determinación espectrofotométrica de trazas de fósforo por extracción con acetato de isobutilo.

La determinación de fósforo a nivel de traza en muchos metales y sus sales involucra una extracción preliminar del ácido molibdo-fosfórico con acetato de isobutilo y después la reducción al azul de molibdeno<sup>(51)</sup>, no requiere la separación preliminar del arsénico y silicio<sup>(70)</sup>, ya que se controla el pH (el pH que se requiere para

formar el ácido molibdofosfórico es muy bajo en comparación al que se requiere para formar el ácido molibdosilíceo<sup>(6a)</sup> o el ácido molibdoarsénico.

Apoyos:

Un espectrofotómetro.

Reactivos:

Se usa agua demineralizada y destilada en presencia de merman gamato.

1.- Solución eständer de fósforo. Preparar una solución que contenga 0.1 mg de P / ml. Disuelva 0.4295 g de fósfato mononatásico en 1000 ml de agua. Preparar una solución de 2  $\mu$  g de P / ml, diluyendo 5 ml de la solución anterior a 250 ml.

2.- Solución de molibdato de amonio al 5 % a partir de molibdato de amonio y almacenada en frescos de polieteno.

3.- Solución ácida de molibdato de amonio ( $nH=0.5$ ). Adicione 11.6 ml de ácido sulfúrico 9 N o 100 ml de solución de molibdato de amonio.

4.- Solución de cloruro de esteño (II). Disuelva 10 g de  $SnCl_2 \cdot H_2O$  en 25 ml de ácido clorhídrico.

5.- Solución reductora. Disuelva 1.3 g de ácido ascórbico en 20 ml de agua, adicione 1.3 de la solución de cloruro de esteño (II) y 15 ml de ácido sulfúrico 9 N y diluya a 100 ml.

6.- Acetato de isobutilo.

Todos los reactivos son R.4.

Procedimiento:

Ponga una alícuota de la solución de la muestra (0 -10  $\mu$  g - de P) en un vaso de b.o. de polieteno, diluya con agua a 25 ml ajustando el pH a 0.35 usando el ácido sulfúrico 9 N o amoniaco. Adicione

ne 10 ml de solución de molibdato de amonio al 5 % y deje reposar -  
más 10 min. Adicione 25 ml de ácido sulfúrico a N y transfírela a  
un embudo de separación de 100 ml y ajuste el volumen a 50 ml con  
agua. Adicione 8 ml de acetato de isobutilo, agite por un min y de  
je reposar 5 min. Elimine la capa acuosa en un vaso de n.n. y trans-  
fiera la fase orgánica a un embudo de separación de 50 ml. Repita -  
la extracción con sólo 5 ml de acetato de isobutilo, agitando por -  
30 sec, crita la fase orgánica para desalojar cualquier resto de a-  
gua, elimine la fase acuosa, teniendo cuidado de que también se eli-  
mine del orificio de la llave. Adicione 3 ml de la solución reducto-  
ra a la fase orgánica, agite por 45 sec y deje reposar por 5 min.

Pase el contenido del embudo a un matraz volumétrico seco de  
25 ml, lava el embudo con metanol, adicione el lavado al matraz, mez-  
cle y diluya a volumen con metanol. Mida la absorbancia después de -  
10 min a 725 nm.

Para metales como por ejemplo el aluminio:

Pese 0.25 g de muestra en un vaso de teflón, adicione 20 ml de  
hidróxido de sodio al 10 %, tape el vaso y disuelva la muestra calen-  
tando suavemente; adicione 10 ml de ácido nítrico y hierva hasta que  
se disuelve. Adicione 1 ml de permanganato de potasio saturado y ca-  
liente a ebullición por 5 min. Disuelve el o.p. adicionando solución  
de clohídriato de hidroxilemina, diluya a 25 ml y ajuste el pH a 3.5 ,  
adicione 10 ml de solución de molibdato de amonio y continde con el-  
procedimiento dado anteriormente.

Método **XVI**.

**Extracción y determinación espectrofotométrica de fosfato como complejo azul de metileno - molibdofosfato.**

La mayoría de los métodos para la determinación de trazas de fósforo están basados, en la absorción espectrofotométrica de la solución amarilla del ácido molibdofosfórico o del complejo azul producto de la reducción del ácido molibdofosfórico en medio acuoso u orgánico.

Otro métodos están basados en la formación de un complejo entre E- Rosamina y el ácido molibdofosfórico<sup>(4a)(31)</sup>.

En este método se forma un complejo constituido por el ión-espaciación entre el molibdofosfato y el azul de metileno, después se efectúa su extracción con el metil-isobutil cetona (MTBK) y finalmente se mide su absorbancia<sup>(57)</sup>.

**Araratos:**

Un espectrofotómetro.

**Reactivos:**

Todos los reactivos son de grado reactivo. El agua es destilada y deionizada.

1.- Solución estandar de fosfato ( $31 \mu\text{g}$  de P / ml). Disuelve  $0.1361 \text{ g}$  de fósforo mononotáxico en agua y diluya a 1 litro. A partir de ésta obtendrá otra que contenga  $1.55 \mu\text{g}$  de P / ml.

2.- Solución de molibdato (0.1 w%). Disuelve  $17.7 \text{ g}$  de molibdato de amonio en agua y afores a un litro.

3.- Solución de azul de metileno ( $2 \times 10^{-3}$ ), disuelve  $0.742 \text{ g}$  de azul de metileno en agua y diluya a un litro.

Se preparan soluciones de diversos iones por disolución de -

Diversos iones por disolución de sus sales en agua o en ácido clorídrico diluido.

Procedimiento:

Ponre una solución de la muestra que contenga menos de 8 g de fósforo en un embudo de separación y adicione 8 ml de ácido nítrico 5 N y 10 ml de solución de molibdato 0.1 N. Luego adicione 2 ml de aceite de metileno  $2 \times 10^{-3}$  N y diluya con agua a 50 ml, mezcle bien. La extracción se efectúa con 10 ml de metil isobutil cetona. Permite que las fases se separen, elimine la fase acuosa; adicione 25 ml de ácido nítrico 2 N y agite por 5 min. Separe las fases y mida la absorbancia a 655 nm.

Método VIII.

Método indirecto para la determinación de silicio y fósforo.

La determinación de fósforo y silicio en minerales, con alto contenido de fierro<sup>(70)</sup>, se ha basado en la formación y extracción<sup>(83)</sup> del ácido heteronolimolibdato, después se elimina la fase acuosa y finalmente se mide la absorbancia a 570 nm<sup>(73)</sup>.

Aparatos:

Espectrofotómetro.

Reactivos:

- 1.- Solución estandar de silicato de sodio  $10^{-3}$  N.
- 2.- Solución estandar de fósforo monosódico  $10^{-2}$  N.
- 3.- Solución de violeta K cromito 0.1 %
- 4.- Solución de Molibdato de amonio al 0.1 N. Disuelve 30.9 g

de molibdato en 250 ml de agua.

5.- Solución de Ácido sulfúrico 5 N.

6.- Solución de hidróxido de sodio 1 N.

Procedimiento:

Coloque una muestra de 1. g. - en un matraz, adicione 2 ml de agua regia, se evapora hasta secuedad; Adicione 1 ml de ácido sulfúrico y 50 ml de agua destilada. Caliente — para eliminar los óxidos de N, desnuéa filtre para eliminar residuos no disueltos. El filtrado es el que se analiza.

Se toma una alícuota de la solución en un embudo de separación de 50 ml y 2 ml de la solución de molibdato de amonio, 1 ml de Ácido sulfúrico 5 N. Adicione agua hasta los 25 ml. Desnuéa de 10 min agrega 1 ml de ácido sulfúrico y 5 ml de agua; adicione 5 ml de acetato de etilo y agite por 3 min, deje separar las canas y retíre la fase acuosa. La fase orgánica se lava dos veces con ácido sulfúrico 0.8 N para eliminar el exceso de molibdato y agrega 25 ml de hidróxido de sodio 1 N. Transfiera en un matraz volumétrico de 25 ml una alícuota y ajuste el pH a 7 con ácido nítrico diluido; — desnuéa adicione 1.3 ml de ácido nítrico 8.5 N y 2.5 ml de solución de tintura 0.1 % (violeta K de cromito) y afores con agua. La absorbancia se mide a 570 nm contra agua como referencia.

Método VVII.

Determinación espectrofotométrica de fósfato inorgánico.

La mayoría de los métodos propuestos para la determinación -espectrofotométrica de fósforo inorgánico están basadas en la formación del 1,2 molibdoftánsato en un medio ácido y su reducción subsiguiente al azul de molibdeno. Este método reconsidera y optimiza un método basado en el uso del cristal violeta<sup>(25)</sup> en una solución única de reactivo<sup>(26)</sup>, encontrándose que es superior al método reductivo de solución única<sup>(5a)</sup>.

Instrumentos:

Un espectrofotómetro.

Reactivos:

Todas las soluciones se preparan con agua deionizada y menos que se dice otra cosa.

1.- Solución de fósfato (50 mg de P / ml). Disuelve 0.2128 g de fósfato mononotánsico en agua y diluya a un litro. Prepara la solución estando diariamente por dilución adecuada.

2.- Solución de cristal de violeta  $5 \times 10^{-4}$  M. Disuelve 0.51 g de cristal de violeta en agua, adicione 140 ml de solución acuosa de alcohol polivinílico al 1% (w/v) y diluya a 250 ml.

3.- Solución de molibdato de sodio (0.1 M) disuelve 2.42 g de molibdato de sodio en 80 ml de ácido sulfúrico al 24% (w/v) y diluya a 100 ml con este ácido.

4.- Solución única de reactivo. Mezcle 50 ml de solución de cristal de violeta  $5 \times 10^{-4}$  M con 200 ml de solución de molibdato y dejelo reposar por una hora antes de usarlo.

Procedimiento:

Ponga 100 ml de aliquota de la solución de la muestra en un vaso de precipitador, adicione 2 ml de la solución única de reactivo, agita, acuña caliente a 25°C por 20 min en un baño de agua-

y luego enfríe. Mida la absorbancia a 560 nm.

#### Método XXIV.

Determinación de fósforo por extracción y tintura catiónica.

De las tinturas catiónicas y disolventes enalizados, el violeta de etilo y una mezcla de disolvente; ciclo hexano - 4 metilpentanona-2 (1 : 3 v/v), son los más satisfactorios<sup>(63)</sup>. La absorbancia se mide en la fase orgánica a 602 nm, la gráfica de calibración es lineal en el rango de 0 - 0.6  $\mu$  g de fósforo.

El método se aplica a la determinación de fósforo como ortofosfato y fosfato condensado en aguas naturales.

#### Aparatos:

Un espectrofotómetro, un agitador mecánico.

#### Reactivos:

1.- Solución de violeta de etilo, recristalizado dos veces en agua; los cristales se disuelven en agua destilada para preparar soluciones de  $1 \times 10^{-3}$  y  $1.25 \times 10^{-3}$  M.

2.- Soluciones de  $10^{-3}$  M de otras tinturas catiónicas (crystal violeta, o-rosa anilina, verde brillante, verde iodo, azul nilo, R-verde Janus, R rodamina, G rodamina y azul de metileno).

3.- Soluciones de molibdato (0.1 M y 0.175 M), utilizando - molibdato de amonio. Disuelve 17.7 g o 31 g de molibdato de amonio en agua destilada para dar un litro de solución.

4.- Solución estandar de fosfato preparada a partir de fosfato mononatásico.

Todos los reactivos utilizados son grado reactivo.

#### Procedimiento:

Tome una muestra que contenga más de 0.6  $\mu$  g de fósforo en un embudo de separación de 50 ml. y diluya con agua a 20 ml. si es necesario. Adicione 3.5 ml de ácido sulfúrico 2 N y 1 ml de solución - de molibdato, mezcle perfectamente y deje reposar 10 min. Adicione 2 ml de solución de EDTA ( $5 \times 10^{-3}$  M sal de disodio), 2.5 ml de solución de violeta de etilo ( $10^{-3}$  N) y 5 ml de una mezcla de ciclo hexano - 4-metil pentanona-2 (1 : 3 v/v), agite y deje reposar 10 min. Separar las capas y mida la absorbancia a 662 nm.

El  $A_{662}$  le da estabilidad a la absorbencia del ion-fosfato formado entre el molibdoftálsato y el violeta de etilo en la fase orgánica.

#### Método IV:

##### Determinación espectrofotométrica por extracción de fosfato con molibdato y verde malacuita.

Existen varios métodos de extracción con diversos disolventes y tinturas catiónicas del molibdoftálsato<sup>(22)(57)(40)(62)(64)</sup>.

En este método el molibdoftálsato formado entre el ortofósfato y molibdato en solución de ácido sulfúrico se extrae en una mezcla de tolueno y 4-metil pentanona-2 (1 : 3 v/v) con verde malacuita<sup>(65)</sup>. Una sola extracción con igual volumen de las dos fases da una absorción molar suficiente para fósfato  $2.3 \times 10^5 \text{ mol}^{-1} \text{cm}^{-1}$  a - 630 nm, la absorción molar obtenida es cerca del  $10^{-4}$  menos que -

nara el sistema violeta de etilo y algunas otras ventajas.

Análogos:

Un espectrofotómetro.

Reactivos:

Fueron examinadas las tinturas cationicas: trifenil metano, n-rosa anilina, cristal violeta, violeta de etilo, verde malacoíta-chloruro de oxalato, verde brillante, violeta de Hoffman, nueva fucsina, violeta de metilo y azul de metileno; se usan sin ninguna purificación, como soluciones en agua destilada.

1.- Solución estandar de fósforo 0.2722 g de fosfato mononáutico saco a presión reducida, disuelto en agua destilada y diluye de para dar un litro de solución  $2 \times 10^{-3}$ .

2.-Solvente de extracción: cetonas, alcohol, ésteres, benceno y tolueno.

3.- Solución de reactivos. Disolver 86 g de hexamolibdato de amonio tetrahidratado en 900 ml de agua destilada, adicione 86 ml de ácido sulfúrico concentrado, disuelva 0.23 g de verde malacoíta y 20 g de ácido tartárico en la mezcla y diluya a un litro con agua destilada. Deje reposar 1 hr, desfría mezcla, filtre la solución a través de un filtro de membrana de 0.45  $\mu$ m.

Todos los reactivos son grado analítico.

Procedimiento:

Transfiera 10 ml de la solución de la muestra que contiene arrito de 0.7  $\mu$ g de fósforo como ortofósforo en un tubo de ensayo de 25 ml, adicione 1 ml de ácido sulfúrico 4.5 N y la solución de reactivos y mezcle. Agite la solución mientras adicione 5 ml de 1 : 3 v/v de la mezcla tolueno y 4-metil-nentanona-2. Después de la separación de la fase mida la absorbancia de la fase orgánica a - 630 nm contra el reactivo blanco.

Métodos de análisis de fósforo y arseníco.

Método	Reactivos	Reacción rápida	en la cual se mide la absorbancia	Obedece la ley de Beer	Coeficiente de absorción molar	Se determina	Aplicabilidad
II.- Método modificado para la determinación rápida de fósforo. (15)	Sol. de ácido nítrico Sol. de molibdato de amonio; sol. de ortofósfato mononátrico -- Sol. estándar de P.	Si 6 min	262 nm	Si $\mu\text{g de P}$	0-3.3 $\mu\text{g de Gr}$	Fósforo	Amino naturales.
III.- Nuevo reactivo para la determinación de fósforo y arseníco. (16)	Sol. de P <sub>2</sub> O <sub>5</sub> + Sol. de fósfato mononátrico; Sol. de molibdato de amonio; mercurio metálico; nuevo reactivo Mo (V) y Mo (VI).	Si 15 min	340 nm	Si 0-3.3 $\mu\text{g de P}$ 0-4.4 $\mu\text{g de Gr}$ 0-4.5 $\mu\text{g de As}$	—	Fósforo Germanio Arsénico	—
III.- Determinación de arseníco en combustión orgánica. (97) método micro y semimicro.	Sol. estándar de As III y de Te(IV); ácido clorhídrico; Sol. de molibdato de amonio; de sulfuro de hierro; Acido sulfúrico. Acido nacátrico.	Si 5 min.	660 nm	Si 0-4 $\mu\text{g / ml}$	—	Arseníco	Combustiones orgánicas.
IV.- Método de una solución única modificada para la determinación de fósforo. (68)	Mezcla de reactivos de Kurnhy y Riley (68) Sol. estándar de P.	Si 10 min	382 nm	Si 2-10 $\mu\text{g / ml}$	—	Fósforo	Amino marina.

Método	Reactivos	Resorción rápida	λ a la cual se mide la ab- sorbancia.	Obedece la ley de Beer	Coeficiente de absorción molar	Se deter- mina enhi- gliedad.
V.- Determinación rápida de fósforo en presencia de az- úcar, níquel y ferromonio- (82).	Mezcla de reactivos de Murphy y Riley (68) y Agente redutor (P2).	No 40 min.	720 nm	Sí 3-10 $\mu\text{g}$	$1.6150 \times 10^4$ $1/\text{mol cm}$	Fósforo y plantas.
VI.- Formación y reducción del heteronolimolídito an- presencia del bismuto. (30)	Sol. estándar de P y Bi; Sol. de fósforo esofótico; Sol. de ma- lítido de amonio.	---	720 nm	Sí	-----	Fósforo -----
VII.- Determinación espectral- fotométrica de yeso, az- úcar y fósforo en agua ma- rina(43)	Reactivos oxidante y reductor: Ácido clorí- hídrico; Mezcla de - reactivos de Murphy y Riley (68).	No 3 hr	865 nm	Sí $20 \times 10^{-5}\text{M}$ $- 10 \times 10^{-5}\text{M}$	-----	Azúcar yeso yeso y natural
VIII.- Método de murino óxi- do para la determinación de am- onio en plantas(79)	Pirocarbonato de sodio -Óxido de plata; Sol. de molibdato de sodio -nitrito de sodio - mezcla de reactivos de Murphy y Riley (68).	No 4 hr	850 nm	Sí $0.028 \mu\text{g de NH}_3$	-----	Azúcar Plantas sedimentos agua naturales
IX.- Determinación espectral- fotométrica de fósforo por formación de fósfo 12-molín esofótico en un estadio re- ducido(30)	Sol. de molibdato de - amoniaco; Sol. de tartrato de antimoniato metálico - 30 min	No 840 nm (m) 880 nm con 5h (TTT)	93	$2.24 \times 10^4$ $1/\text{mol cm}$	Fósforo -----	-----

Método	Reactivos	Reacción rápida	$\lambda$ a la cual se mide la - absorbancia	Obedece la Ley de Beer	Coeficiente de absorción molar	Se determina	Antioxi- dante
X.- Preconcentración y detección electrofotométrica de trazas de fósforo con molibdato <sup>(92)</sup>	Mezcla de reactivo de Murphy y Riley <sup>(68)</sup> ; mente reductora <sup>(82)</sup> ; sol. estándar de fósforo; N,N dimetilformamida.	Si 700 nm 20 min sol. estándar de fósforo; N,N dimetilformamida.	93	Si 0.3-0.5 mg / 10 ml	-----	Fósforo	Amonio y magnesio
XI.- Determinación de fósforo como anil de molibdeno en minerales de hierro y materiales relacionados <sup>(10)</sup> .	Sol. de molibdato de amonio; sol. de sulfato de bismuto; verdínido de sodio-acido clorhídrico.	Si 725 nm 20 min CO <sub>2</sub>	Si	-----	Fósforo	Minerales de Hierro.	
XII.- Determinación de fósforo y silicio por heteronanol-molibdato <sup>(40)</sup>	Sol. estándar de fósforato y de silicio; sol. de molibdato de amonio; sol. de amortiguadora; mezcla - pentanol-áceto.	Si 230 nm 30 seg -----	Si 0.05-0.5 m.m.m.	-----	Fósforo Silicio	Metallos.	
XIII.- Extracción de fósforo líquido por consumo de nadi-éter para la determinación - electrofotométrica <sup>(46)</sup>	Sol. de fósforato monosódico; sol. de molibdato de sodio; fósforo recién extraído tipo polímero - consumo de poliuretano.	No 3-4 hr -----	-----	-----	Fósforo	-----	
XIV.- Determinación de fósforo por extracción con 1-butanol + cloroformo al 20% <sup>(105)</sup> .	Molibdato de sodio; sol. de ácido clorhídrico - sol. fósforo fenantrolina - sol. estándar de fósforo.	Si 6 seg 310 nm 0 - 500	Si 24,400 L mol <sup>-1</sup> cm <sup>-1</sup>	-----	Fósforo	Acero	

Método	Reactivos	Procedimiento a la cual se remitió	Observado mido en ob- servación.	Coefficiente de ley de Beer	Se detecta minas molar	Indica fósforo	Minerales
XIV.- Determinación espectro fotométrico de arsénico, - fósforo y silicio(50).	Sol. catáyador de ar- sénico, P y Si; Ac. nátrico y acetato de isopropilo.	Si 5 min	330 nm. P 323 nm. As 332 nm. Si	Si 3 - 15 m.m.m.	-----	Fósforo Silicio	Minerales
XV.- Determinación de fós- foro por azul de molibdeno por extracción con alcohol isobutílico.	Sol. catáyador de P ; sol. de molibdato de amonio; sol. de clo- ruro estanoso; alco- hol isobutílico.	Si 2 min	725 nm	Si 0.3 - 1.3 m.m.m.	$2.27 \times 10^4$ 1/mol cm	Fósforo	Acero.
XVI.- Determinación de fós- foro en compuestos orgánicos(14).	Sol. catáyador de P - sol. de sulfato fe- rroso-cromio; sol. - Ácido de molibdato; sol. de Ácido sulfu- rico y Ácido nítrico	Si 5-15 min	750 nm	Si 0 - 16. m.m.m.	-----	Fósforo orgánico	Compuestos orgánicos
XVII.- Determinación de fós- foro inorgánicos en presen- cia de esterios de fosfatato - inestables.(32)	Sol. Ácido de molida- to de amonio y otro sol. acuoso. Sol. de sulfato de hidroxina- do, sulfúrico y clo- ruro estanoso; isobu- tanol.	--	-----	Si 1 - 20. m.m.m.	-----	Fósforo	Compuestos orgánicos.
XVIII.- Determinación de arse- nico en agua de mar y plan- tas marinas(76).	Sol. de Tionolida Mezcla de reactivos de Murphy y Riley.	No 30 min.	866 nm	Si	-----	Arsénico	Agua y plantas marinas, ejffuentes y sedimentos.

Método	Reactivos	Reacción rápida	En la cual se mide la ab- sorbancia.	Obedece la ley de Beer	Coeficiente de absorción molar.	De deter- minación mínima	Májico- bilidad.
VII.- Determinación espectro- fotométrica de fósforo de fós- foro por extracción con ace- tato de isobutilo (20).	Acetato de isobutilo Sol. ácida de molib- dato de amonio; sol. sol. ácida escórbatica y cloruro de etilo.	Sí	725 nm	Sí 0.2 - 20 $\mu\text{M}/\text{ml}$	$7.62 \times 10^4$ 1/mol·cm	Fósforo	Májicas y sus sales.
VIII.- Extracción y determi- nación espectrofotométrica - de fosfato como complejo amio- no-molibdeno-molibdato - (57).	Sol. molibdato de ni- amónico; Sol. de amil de metileno; sol. ca- tártido de P.	Sí	655 nm	Sí 0.8 - 8 $\mu\text{M}/\text{ml}$	$4.8 \times 10^4$ 1/mol·cm	Fósforo	Májicas
IX.- Método, indirecto para la determinación de aluminio y fósforo (77).	Sol. catártido de alu- minio; fosfato monog- álico; sol. de molib- dato; sol. violeta V - cromoato.	Sí	570 nm	-	-	Silicio	Májicas de fósforo
X.- Determinación espec- trofotométrica del fosfato - inorganico (65).	Sol. catártido de fos- fato; Sol. de cristal de violeta; de molib- dato de níquel.	Sí	560 nm	Sí 0.7 $\mu\text{M}/\text{ml}$	$0.91 \times 10^5$ 1/mol·cm	Fósforo	Májicas
XI.- Determinación de fós- foro por extracción y titu- ra cítrica (61).	Sol. de violeta de ci- trilo; sol. de molib- dato de amonio; sol. ca- tártido de fósforo.	No	602 nm	Sí 0 - 0.6 $\mu\text{M}/\text{ml}$	$2.7 \times 10^5$ 1/mol·cm	Fósforo	Májicas
XII.- Determinación espec- trofotométrica menor extracción de fosfato con extracto malacita- (65).	Sol. catártido de fós- foro; sol. verde N. disolvente.	Sí	630 nm	Sí $0 - 1.6 \mu\text{M}/\text{ml}$	$2.7 \times 10^4$ 1/mol·cm	Fósforo	Májicas

### Discusión

El método I es adecuado para el análisis directo de fósforo después de la hidrólisis ácida en aguas naturales, el volumen de la muestra es pequeño, es fácil de reproducir, confiable y preciso; la sensibilidad se incrementa midiendo la absorbancia a 362 nm.

En el método II se utiliza un nuevo reactivo que es una disolución de Mo (VI); Mo (V) y se observa que al incrementarse la relación aumenta la sensibilidad de la reacción, siendo 3:2 la relación óptima como se muestra en la tabla III. Por otro lado al incrementar la acidez aumenta la estabilidad del reactivo pero disminuye la reacción con el fósforo, encontrando como óptima Mo (VI) 0.12 M, Mo (V) 0.08 M, H<sub>2</sub>SO<sub>4</sub> 10 N y HCl 3N.

En el estudio del espectro de absorción se observa que la composición del complejo azul es independiente de la cantidad de fósforo presente y de la temperatura, la máxima absorción ocurre a los 840 nm con 1.5 ml de reactivo según se observa en la fig. - 12.

En la fig. 22 y 23 se observa el efecto de la temperatura y tiempo de calentamiento los cuales incrementan la formación del color y por lo tanto la sensibilidad de la reacción, siendo la óptima a 95°C y 10 min a baño maría; es aplicable la ley de Beer arriba de los 160  $\mu$ g de P<sub>2</sub>O<sub>5</sub>.

Los iones Ba<sup>2+</sup>, Pb<sup>2+</sup> y Sb<sup>2+</sup> producen un precipitado bajo las condiciones de operación; el arsénico, silicio y germanio producen una reacción análoga; el tungsteno interfiere en cualquier proporción. El SiO<sub>3</sub><sup>2-</sup> interfiere cuando se encuentra en grandes cantidades 100 p.p.m. produciendo una reacción análoga.

Los iones Fe<sup>3+</sup>, NO<sub>3</sub><sup>-</sup>, C<sub>2</sub>O<sub>4</sub><sup>2-</sup> cuando se presentan en grandes cantidades 20, 20 y 100 p.p.m. respectivamente reducen la sensibilidad de la reacción.

Este método se aplica en análisis de rutina como por ejemplo en la determinación de fósforo en suelos.

En el método III se determina arsénico en compuestos orgánicos por método micro y semimicro.

La absorbancia por mg de arsénico en 10 ml - de dilución final de un promedio de 15.3, el intervalo de confianza del 99% es de  $\pm$  0.4 o 26 partes por mil (tabla V).

Estos resultados son del ácido-p-arsenílico, otros compuestos no contienen la cantidad teórica de arsénico.

Interferencias. El fósforo interfiere debido a que se forma el azul heteropolí similar al que se forma en el arsénico pentavalente, si ambos elementos están presentes pueden separarse y determinarse después de la absorción de la muestra con ácido clorídrico.

En el método IV se utiliza una solución única de reactivo - adiciónando tartrato de antimoniil potasio a la solución original- obteniéndose así rápidamente la formación del azul de molibdeno. La concentración óptima de trabajo es de 0.4 mg a 150 ml de volumen final con el cual se alcanza una intensidad máxima en 10 min. y el color es estable por 24 horas; concentraciones más grandes - no permiten que el color se desarrolle rápidamente y en concentraciones más bajas se forma una turbidez de la solución básica de antimonio.

El azul de fosfomolibdeno producido por un cloruro estanoso o ácido ascórbico tiene su máxima absorción a más bajas longitudes de onda, esto sugiere que el antimonio puede ser un componente del azul de molibdeno.

La interferencia del cobre (II), Fe (III) y el Si (IV), -- así como el As (V) producen un color similar, pero como la concentración es muy baja en el agua marina no interfiere seriamente.

El reactivo de la solución única consiste en una solución acidificada de molibdato de amonio que contiene ácido ascórbico y una pequeña cantidad de antimonio; éste reactivo reacciona rápidamente con el ión fósfato produciendo el complejo azul el -- cual contiene P y Sb en una relación atómica de 1:1, el complejo es muy estable y obedece la ley de Beer de por lo menos dos - mg por ml de P, el% de error es menor que 1%.

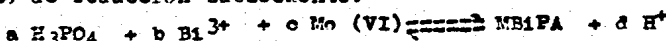
En el método V se aplica el método propuesto por Murphy y Riley para determinar fósforo, pero aplicado a suelos y plantas, en donde las concentraciones de otros elementos son bajas que no causan interferencias serias, excepto si se utilizan plagicidas que contienen arsénico, pudiendo eliminar el arsénico por extracción L-L o por volatilización con ácido perclórico y bromuros.

Este método obedece la ley de Beer arriba de los  $3 \mu\text{g}/\text{ml}$ , el color permanece constante por 42 hr. con una pequeña variación de 2%, el coeficiente de absorción molar fue de  $1.615 \times 10^4$  a 702 nm y de  $2.01 \times 10^4$  a 890 nm.

En el método VI de formación y reducción del heteropolimolibdato en presencia de bismuto se observa que la formación del ácido 12-molibdofósfrico y el complejo de bismuto es instantánea, siendo sus espectros similares, cuando la cantidad de molibdato es suficientemente pequeña la absorbancia del complejo puede medirse a 350 nm contra molibdato (VI) como blanco.

La técnica utilizada para determinar la estequiometría del complejo heteropoly-bismuto es la misma que se usa para el ácido 12-molibdofósfrico. La acidez de la solución sirve como el mejor factor para controlar el grado de formación del complejo, siendo un  $\text{pE}$  de 0.5 a 0.65 para mantener el grado suficiente de dissociación del complejo.

La concentración del hidrógeno es importante porque afecta la cantidad de 12-MPA (ácido 12-molibdofósfrico) producida teniendo así un efecto indirecto en el grado de reducción. Es probable que el ión hidrógeno está directamente involucrado en el paso de reducción subsiguiente.



La alta dependencia del molibdato sugiere que el complejo formado contiene una especie heteropoly dimérica un átomo de Bi y uno de P como grupo central coordinado con una estructura de 18 polimolibdato.

En el método VII se puede determinar la concentración de arsenito As(III), oxidándolo a arsenato As(V), la concentración de arsenato y fosfato en una misma muestra trabajando con tres

aliquotas una oxidata, una reducida y otra no tratada.

Si la muestra contiene fosfato, la concentración de arsénico puede calcularse restando la absorbancia de la aliquota oxidata de la no tratada; esto puede hacerse solamente si la absorbancia molar del complejo molibdofosfato es la misma en las tres aliquotas lo cual se comprobó experimentalmente.

El azul de molibdeno reducido formado en agua marina que contiene igual concentración de fosfato y arsenato tiene un aspecto ligeramente diferente del calculado por la suma de las absorbancias individuales. Cuando la absorbancia del fosfomolibdeno, medida a 865 nm en la aliquota reducida, se resta de la absorbancia de la mezcla se observa que la absorbancia del arsenomolibdeno disminuye de 0-6% como se muestra en la figura 4; la absorbancia del arsenomolibdeno de la curva A forma en la presencia del fosfato es cerca del 5% más baja que la de la curva B.

Este procedimiento es adecuado para agua marina o cualquier agua natural.

En el método VIII la recuperación del arsénico (V) es del 99% por 2  $\mu$ g; las gráficas de calibración son del intervalo de 0.02 - 8  $\mu$ g de arsénico, absorbancia de 0.002 - 0.876.

Las cenizas húmedas del material de la planta con ácido nítrico para oxidar toda la materia orgánica, después se adiciona el ácido perclórico y subsequentemente secando el residuo a 160°C, cambia poco el contenido de arsénico encontrado.

La fusión con hidróxido de sodio del residuo de la oxidación del material seco también da un valor similar para el contenido del arsénico.

Interferencias, sulfuros precipitados en solución fuerte, Sb (III), Hg (II), Ag, Sn (IV) y Bi (III) 0.5 g de cada uno precipitan con arsénico y molibdeno pero no tienen efecto en la recuperación de arsénico en un rango de concentración de 0.7 a 4.9 N de ácido perclórico. De estos elementos el Bi (III), Hg (II) y Ag un miligramo de cada uno reducen al color de por lo menos el 4%; de Sn aproximadamente 10  $\mu$ g interfieren seriamente, mientras que

el Sb (III) no; El Cu (II) interfiere por ser la misma absorban-  
cia a 850 nm.

El fosfato puede interferir seriamente dado que usualmente se presenta en las plantas en el rango de 0.1 - 1.0%; la absor-  
bancia causada por el fosfato, 8 mg de P adicionado, fue de 0.005.

Mientras el sulfato de sodio casi elimina la inter-  
ferencia de silicio y fosfato en el procedimiento de la recupera-  
ción de arsénico estándar, en la muestra fluctúa suavemente.

La selectividad del método se demuestra por el retraso del-  
desarrollo del color cuando el reactivo reductor se adiciona --  
antes del reactivo del molibdato.

En el método IX las curvas de formación para la reducción -  
del ácido 12-molibdofosfórico con o sin antimonio son esencial -  
mente idénticas muestran el mismo modelo general consecuente, el -  
criterio de la relación  $[H^+]/[MnO_4^-]$  parece ser general para la -  
reducción del ácido heteropolí y puede reflejar más el comporta-  
miento del molibdeno en solución ácida que la identidad del áci-  
do heteropolí. En situaciones donde una solución altamente ácida  
puede hidrolizar los organofosfatos o polifosfato por lo que es -  
deseable trabajar a una acidez lo más bajo posible.

El efecto de la concentración del ácido ascórbico en la re-  
ducción de ácido 12-molibdofosfórico con o sin antimonio requie-  
re de 20 veces de la cantidad molar de ácido ascórbico, no se --  
observa diferencia arriba de 200 veces la cantidad molar; a más--  
alta concentración se usa para minimizar el tiempo requerido para  
completar la reducción.

La evidencia preliminar de que el antimonio (III) se incor-  
pora al ácido heteropolí se obtiene del espectro U.V. del com-  
plejo oxidado. La adición de antimonio (III) a la solución del -  
ácido 12-molibdofosfórico producido en baño de cromo cambia el -  
espectro U.V. similar a la observación en el efecto del bismuto.

El cambio marcado en el cercano infrarrojo cuando el áci-  
do 12-molibdofosfórico se reduce por ácido ascórbico en la pre-  
sencia del antimonio III, lo cual indica que el antimonio III -

tambien esta involucrado en la formación del ácido heteropolí reducido.

En la fig 14 se muestra el espectro para la relación mol y se ilustra la transformación del ácido molibdofosfórico reducido al ácido molibdoantimonil fosfórico reducido, MSbPA; el diagrama de la relación mol de la absorción máxima se encuentra en la curva A en la fig. 15; las curvas en la relación de Sb/P igual a 2 indica que dos átomos de antimonio están siendo incorporados en la terna de complejos. Murphy y Riley reportó una relación de 1:1 sin embargo su espectro reportado corresponde a 2 o más grande.

Se experimentó una segunda relación mol para verificar los resultados, todas las soluciones se prepararon a un pH 1.59 y fue extraída con acetato de butilo. A este pH el acetato de butilo reduce al MSbPA pero no reduce al ácido molibdofosfórico. La absorbancia de la fase orgánica a 721 nm graficada contra la reacción de Sb/P como curva B de la fig. 15, otra vez indica una relación de 2:1; un experimento adicional se realizó en el cual la solución no fue calentada consecuentemente sólo se reduce MSbPA en los primeros quince minutos, estos resultados se muestran en la curva C de la fig. 15 y otra vez se confirma una relación de 2:1 para Sb:P.

La estequiometría del ácido heteropolí con respecto al molibdeno para determinarse con certeza, puede variarse la concentración de molibdato y los demás reactivos se mantienen constantes, encontrándose una relación de  $[H^+]/[MoO_4^{2-}]$  igual a 76. El resultado para la formación del ácido 12 molibdofosfórico MSbPA se muestra en la fig. 16, la extrapolación de las líneas intersectan a una razón de Mo/P igual a 24-26 para ambos heteropolí. Puesto que el ácido 12 molibdofosfórico es conocido así, por contener solamente 12 átomos de molibdeno por átomo de fósforo. Los resultados solamente indican que un exceso 26 molar de molibdeno es necesario manejar ambas reacciones hasta su terminación.

Los estudios de variaciones continuas de la relación Mo:P

en ácidos heteropolí se han utilizado con éxito limitado, estos resultados se muestran en la fig. 13 los experimentos fueron corridos en paralelo con la misma pipeta micrométrica ajustada para administrar las soluciones. La relación  $[H^+]/[MoO_4^{2-}]$  se mantiene constante, los resultados indican una relación de Mo:P de 12:1 para el ácido 12 molibdofósfrico y 10:1 para WSbPA reducido.

De los presentes resultados y de la información anterior en el molibdoenofosfato, molibdoniobofosfato, molibdoenadoselenito y la molibdoestanosilicato, induce que la estequimetría del WSbPA reducido es de  $PSb_2 \cdot 10^4$ . El cambio en el espectro U.V. indica que el antimonio(III) reacciona con el ácido 12-molibdofósfrico presumiblemente reemplazando dos átomos de Mo por 2 átomos de Sb.

El antimonio probablemente altera la estructura del heteropolí tanto que la reducción es incrementada o facilita la transferencia de electrones del ácido ascórbico; o de otra manera el antimonio III puede estar funcionando como un agente reductor por si mismo pasando a antimonio(V) y después reducido a antimonio(III) por el ácido ascórbico. Esto no es completamente irracional puesto que el antimonio(III) reduce el ácido 12 molibdofósfrico por si mismo, aunque a mayor acidez y a 100°C.

La importancia de la relación  $[H^+]/[MoO_4^{2-}]$  en la formación de ambos heteropolis reducidos pueden ser interpretados cuidadosamente en términos de polimerización del molibdato; los estudios previos de la formación del ácido molibdofósfrico reducido y el WSbPA reducido sugieren que el molibdato está presente y reaccionando como un dímero. El ácido ascórbido se usa como un agente reductor.

Puesto que la existencia del molibdeno dimerizado fue observada a una relación  $[H^+]/[MoO_4^{2-}]$  que coincide con el centro de la meseta de formación, la meseta corresponde a la región de existencia del dímero del molibdeno y no hay evidencia directa que todo el molibdeno es dimerizado.

A más bajas relaciones o cuando la acidez disminuye, la po-

limerización del molibdeno se favorece y la formación del azul - de molibdeno predomina.

En el método I un volumen de 10 ml de muestra es suficiente para determinar 0.1  $\mu$ g de fósforo, el pequeño volumen de la muestra es una gran ventaja cuando una solución de la muestra tiene que ser tratada con ácido perclórico para descomponer los compuestos de fósforo orgánico. A más bajas concentraciones el tamaño de la muestra debe ser más grande para obtener resultados más precisos.

Para determinarse el fósforo puede eliminarse el arsénico con una mezcla de metabisulfito de sodio y tiosulfato de sodio - para reducir el arsénico (V) a arsénico (III).

Las altas concentraciones de silice,  $SiO_2$ , causa un ligero error positivo, afortunadamente en las aguas naturales comunes, las concentraciones son bajas menores de 50 mg/l lo cual causa una pequeña interferencia.

En el método II se observa que la concentración del ácido clorhídrico es importante encontrando como óptimo 15 ml de HCl, - es el óptimo en la absorbancia a 725 nm.

Inicialmente se pensó que el circonio podía interferir pero no es así, el  $TiO_2$  puede interferir pero abajo de 6.4% no tiene efecto. El contenido de arsénico en los minerales de fierro es de 0.01% o menos, pero a niveles mayores puede interferir causando un error positivo aproximadamente 0.01% de P por 0.1% de As presente, así la interferencia de 0.01% de arsénico equivalente a solo 0.001% de fósforo lo cual está bien dentro de la desviación experimental aceptable.

El método puede aplicarse para determinaciones rápidas de fósforo total en afluentes, sedimentos, etc., sin el uso de áci - do perclórico.

En el método XIII la concentración de fósforo óptima en un - rango aproximado de 0.1 a 0.4 p.p.m. Se requiere un exceso rela - tivamente alto de molibdato para asegurar la completa formación - de los ácidos molibdoensféricos y molibdesilícicos, usando 0.4 -

p.p.m. de fósforo como ortofosfato y 0.35 p.p.m. de silicio como silicato encontrándose que 4 ml de molibdato de amonio al 10% es suficiente.

Se seleccionó un pH de 1.31 como óptimo para la formación de ambos heteropolí, el calentamiento es innecesario dejando 10 min para la formación completa.

En general los solventes oxigenados son los mejores extractores. Wadell y Mellen investigaron que la extracción L-L de los ácidos heteropolí encontrando que una solución al 20% en volumen de 1-butanol en cloroformo selectivamente extrae el ácido molibdo-fósfrico en la presencia de arsenato, silicato y iones germanio, aquí se utiliza el éter diestil el cual fue seleccionado por su baja longitud de onda cercana a la región del ultravioleta y la facilidad de extracción del ácido molibdo-fósfrico en soluciones moderadamente ácidas. 45 ml es el volumen óptimo del éter diestil puesto que hay considerable pérdida de solvente debido a su solubilidad en una solución 1.2 N de ácido clorhídrico, una extracción es suficiente. Si ocurre una turbidez en el éter de extracción puede eclararse ya sea por movimiento vigoroso o dejando en reposo por 45 min aproximadamente.

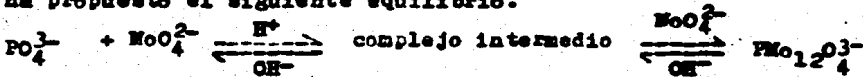
Es necesario poner el éter de extracción del ácido molibdo-fósfrico en una solución de lavado de ácido clorhídrico de 1:10 para remover trazas de exceso de molibdato. Este paso se hace por duplicado.

De 7 soluciones que contienen 0.4 p.p.m. de P, 5 valores obtenidos por la determinación espectrofotométrica de fósforo da un valor medio de absorbancia de 0.77, una desviación estándar relativa de 0.65%.

En el método XIII se ha reportado que la formación del desmolibdato es máxima entre un pH = 1 y 2, sin embargo el rango de ácidos para la extracción del heteropolianión depende de la naturaleza del solvente orgánico y la mayoría de los solventes tienen un amplio rango. La razón de distribución se incrementa en la concentración del ión hidrógeno resultando una declinación muy aguda (cerrada), a más alta concentración de ácido disminuye.

lo cerrado de la curva de extracción.

La extracción del fosfomolibdato se estudia como una función de la concentración de molibdato, la curva muestra la absorbancia de la solución acuosa como una función de la razón de molibdato o fosfato; la declinación de la curva implica que la formación del  $\text{Mo}_{12}$  fosfomolibdato amarillo no es proporcional a la cantidad de molibdato adicionado. Resultados similares han reportado Murata quien ha sugerido que una pequeña cantidad de molibdato produce preferencialmente el complejo fosfomolibdato-intermedio descolorido, el cual con más cantidad de molibdato se transforma en  $\text{Mo}_{12}$ -fosfomolibdato amarillo, en base a esto se ha propuesto el siguiente equilibrio.



La absorbancia no alcanza su nivel máximo a 40 veces el exceso de molibdato para asegurar la completa formación del  $\text{Mo}_{12}$  fosfomolibdato.

La curva representa el grado de extracción del fosfato — como una función de la concentración de molibdato, como se esperaba aumenta la extracción al incrementarse la concentración de molibdato. La fracción notable de esta curva es que la extracción alcanza un máximo cerca de 25 veces la relación molar de molibdato a fosfato.

El cloruro de litio es útil para conocer el posible mecanismo del proceso de extracción, el estudio consiste en observar el efecto del cloruro de litio a diferentes concentraciones iniciales de molibdato, la distribución de la razón permanece constante arriba de ciertas concentraciones de cloruro de litio arriba de las cuales la extracción del fosfomolibdato disminuye. Por otro lado, para una concentración inicial dada de cloruro de litio con incremento de la concentración de molibdato la extracción aumenta a un valor máximo y después declina, — esto ha sido atribuido a la baja estabilidad del  $\text{Mo}_{12}$  fosfomolibdato bajo esas condiciones.

Suponiendo que el fosfomolibdato es extraído en espuma de

poliéster por cualquier otro mecanismo que CGM declina en los valores de D con incremento en concentración de cloruro de litio puede ser atribuido a la extracción simultánea de  $\text{Li}^+$  debe ser acompañado por la formación de un modelo helicoidal interiormente dirigido a átomos de oxígeno de cadenas de poliéster alrededor del catión; la adopción de tal geometría por cadenas poliéster parece enjaular el catión limita la disponibilidad de átomos de oxígeno para la extracción de fosfomolibdato, es decir, baja el grado de extracción. El molibdato de sodio se usa como una fuente de molibdato, la adición de más molibdato no sólo incrementa la formación y así la extracción helicoidal en el polímero debido a la extracción de molibdato de sodio y así disminuye el número de átomos de oxígeno estereo que interactúa con el fosfomolibdato.

La extracción del fosfomolibdato en la presencia de igual concentración de cationes alkali-metales como el Li disminuye en el siguiente orden  $\text{Li}^+ > \text{Na}^+ > \text{K}^+$ . Estos resultados sugieren que la presencia de un catión que puede ser quelatado aumenta la formación de la estructura helicoidal en el polímero y así interfiere con el fosfomolibdato, el cual no es extraído a través del CGM (causa quelación metal).

En el método XIV las curvas espectrofotométricas del 1-butanol de los ácidos heteropolíicos cuales son similares a otros disolventes como el éster etílico, 2,6 dimetil 1,4 heptanona, observándose que los éteres son los mejores extractantes siendo mejor el 1-butil acetato. Puede hacerse una generalización que de los disolventes probados solamente los que contienen oxígeno sirven como extractantes del ácido molibdofosfórico.

Las propiedades de los cuatro ácidos molibdofosfórico, molibdarsénico, molibdosulfúrico y molibdogermánico son tan parecidas que la mayoría de los disolventes son tan buenos para la extracción de un ácido como de otro.

En el método XV la determinación del fósforo en presencia de silicin se muestra que el color del ácido molibdofosfórico en el acetato de isonamil es estable de 10 a 30 min después de la extracción.

Un medio de separación del ácido heteropolimolibdearsénico, silicio y fósforo por medio de disolventes de extracción. La técnica ha sido un éxito probado para el análisis espectrofotométrico de mezcla artificial de silicio y fósforo o silicio y arsénico, anteriormente no era posible analizar los tres elementos en una muestra ahora ya es posible.

La suma de los tres ácidos heteropolíicos cuales tienen un espectro idéntico en la región del cercano ultravioleta; la alf- cuota de la muestra se trata para eliminar el fósforo y el arsénico se extrae en acetato de isonitrilo medio en el cual estos dos elementos pueden ser removidos individualmente. Finalmente el silicio puede ser determinado por corrección de la absorbancia en la fase acuosa por la contribución del arsénico y fósforo.

En el método XVI se efectúa una reducción del heteropolimolibdofosfórico,  $H_3P(MoO_10)_4$  para dar el complejo azul; el ácido heteropolíico se separa del exceso de molibdato por extracción después el cual puede reducirse por un fuerte reductor sin alguna precaución especial. La acidez óptima para la formación del ácido molibdofosfórico es de 1.2 N de ácido perclátrico. Grandes cantidades de fierro se precipitan con el reactivo de molibdato en soluciones de baja acidez (0.5), este precipitado no se forma en una acidez alta, escogiendo 1.2 como acidez óptima la cual no afecta la intensidad del color.

Es necesario un exceso de molibdato para la formación del ácido heteropolíico seleccionando 5 ml al 10% de solución de molibdato de sodio en un volumen final de 50 ml para soluciones que contienen 0.5 p.p.m. de fósforo el valor obtenido en la observación es de 0.353.

El tiempo necesario para la formación del complejo no es crítico, obteniéndose un valor estable a los 30 minutos. El color es estable por lo menos 20 min. después disminuye la intensidad del color.

El espectro de absorción para el azul heteronoli en solución acuosa con diferentes reductores tiene su máxima absorción a 830 nm con un punto de inflexión a 650 nm. La absorbividad -

molar para el fósforo a 725 nm es  $22700 \text{ l mol}^{-1} \text{ cm}^{-1}$ .

No hay interferencia cuando la concentración de iones es baja que causen un error menor del 2% del fósforo presente, este error se considera despreciable. El arsénico y germanio pueden eliminarse volatilizando estos elementos en forma de haluros. El arsénico III y V son destilados de una solución de ácido perclórico después de la adición de bromuro de sodio. El silicio también se elimina en la misma operación cuando la solución es evaporada por el ácido perclórico, no es necesario remover el silicio dehidratado por filtración porque en el proceso de extracción el precipitado permanece en la fase acuosa.

En el método XVII se determina fósforo en compuestos orgánicos. La mayoría de compuestos orgánicos se descomponen cuantitativamente produciendo ácido ortofósforico cuando se calientan con ácido sulfúrico o perhidrato para completar la oxidación. En la descomposición de la muestra se encontró que para asegurar remover el exceso de ácido sulfúrico fue necesario evaporar los gases de trifluorido de azufre, enfriar y adicionar un poco de agua para descomponer cualquier ácido, nitróxido y evaporar los gases otra vez.

Un incremento en la concentración del reductor acelera la formación del color, la cual depende también de la relación ácido molibdato.

El método XVIII es atractivo para la bioquímica porque no hay interferencias con la hidrólisis de fosfatos de esteres inestables ni de gran exceso de sulfato o cloruro (reductor); esta cualidad y la gran sensibilidad  $2\mu\text{g}$  de fosfato en 500 ml hacen que el método sea adecuado para limnología y oceanografía.

En limnología las determinaciones se llevan a cabo en muestras de 500 ml en alcoholes tales como n-hexanol o mezclas las cuales son preferibles porque son menos solubles en agua. Sin embargo el tiempo necesario para la separación es mayor cuando se utilizan más de 24 mequiv. de ácido sulfúrico, el exceso puede ser neutralizado con hidróxido de sodio; la muestra puede extraerse dos veces.

En el método XIX se determina arsénico. El arsénico se presenta en sus dos formas As (III) y As (V) en las aguas marinas, - en las cuales del 8-16% se presenta como arsenato, 53-60% como arsenito y el resto en compuestos orgánicos u otros. Aunque termodinámicamente el arsenato es más estable, esto se confirma con el descubrimiento de Armstrong y Harvey que el arsenito se oxida en el agua marina.

La determinación de arsenito en materiales biológicos, plantas marinas, es complicada por la volatilización de grandes cantidades de arsénico durante la destrucción preliminar de la materia orgánica, en el proceso de lavado, secado o de oxidación hídrica usando una mezcla de ácido nítrico, sulfúrico y perclórico. Los métodos de evolución de arsina o destilación de haluros tienen la desventaja de que es difícil recuperar cuantitativamente el arsénico.

El arsénico (V) puede coprecipitarse a un pH 7 usando hidróxido férrico con una eficiencia del 99% en una concentración de 2 Mg de As/l en agua marina, para plantas marinas u otro material orgánico es inadecuado este método debido a la dificultad de separación del arsenico porque este elemento es más pesado que el fierro y otros elementos también coprecipitan. Existe un nuevo método que supera estas desventajas llamado de co-crystalización en el cual la solución que se analiza es tratada con un agente complejante insoluble en agua y soluble en un solvente orgánico como acetona; el agente complejante adecuado es la tionalida que con As (III) da una turbidez definida, el arsenico (V) se precipita solamente una pequeña cantidad.

El ácido ascórbico es una agente reductor mejor que el sulfato de hidrazina o hidroxilamina para reducir el arsenato a arsenito.

El agua marina se trata con ácido sulfúrico que da una concentración de 0.03 a 0.4 N para que la eficiencia de la co-crystalización sea en 97.3 + 0.2%.

Si se utiliza acetona como solvente de la tionalida la recuperación del As es variable y a veces baja (50%) esto se puede

resolver si el volumen de la acetona es menor al 1/4 del volumen total del agua marina.

El volumen total de tionalida puede agregarse en dos porciones o todo en una sola adición. Las posibles interferencias en este procedimiento de elementos los cuales cocrystalizan con la tionalida en solución ácida fue probada llevando a cabo la determinación en la presencia de estos elementos, los resultados de estos experimentos muestran que no interfieren en la determinación de arsénico en agua de mar o en la mayoría de sedimentos, silicatos u organismos marinos.

En el método XI se utiliza el acetato de isobutilo, con 13 ml de disolvente se extrae el 95% del complejo amarillo y no debe de exceder de 13 ml de otra manera resulta inmiscible, con 3 ml de solución reductora cuando se diluye a 25 ml con metanol.

La absorbancia para el azul heteropolí es constante cuando el ácido molibdófósforico en un rango de pH de 0.1 a 4.0 y finalmente de 0.45 después de la adición de molibdato de amonio.

La solución reductora es cuidadosamente balanceada con respecto al ácido ascórbico y la acidez total. Las cantidades específicas de ácido ascórbido y ácido sulfúrico en la solución reducadora sin las cuales las trazas de fierro y cobre interfieren reduciendo la estabilidad del complejo causando una caída gradual en la absorbancia. El cambio de la absorbancia depende de los cationes o aniones como se muestra en la fig. 6, el nitrato de la más alta absorbancia.

Las sales de sodio pueden ser toleradas en exceso de 2  $\mu$ g. en la fase acuosa, sin embargo, cuando las sales de amonio se analizan forman g.p.; el máximo pH es de 0.7 para 2 g. de perclorato de amonio, 0.8 para 2 g. de cloruro de amonio.

El arsénico interfiere suavemente, 8 mg. de As(V) produce un color equivalente a 1  $\mu$ g. de P. El Cerio (III) puede eliminarse con HCl e hidroxilamina. El sulfato de cobre interfiere con la determinación de fósforo cuando excede de 250 mg, también eliminarse con HCl e hidroxilamina.

El fierro no forma un p.p. visible con molibdato de amonio pero la cantidad de molibdato de amonio puede incrementarse a 20 ml cuando hay más de 100 mg. de fierro (III) en la alícuota de la muestra. Cuando se haya adicionado el EG1 y la hidroxilamina a la solución que contiene el fierro, el pH ajustado inicialmente puede ser tal que después de la adición del molibdato de amonio se obtenga el pH correcto, espere 15 min. y después lea la absorbencia.

La interferencia del silicio es insignificante porque el ácido molibdofosfórico amarillo se forma a un pH mucho menor que el necesario para la formación del complejo amarillo silicomoilibdato. El ácido tartárico causa una interferencia la cual se incrementa con un aumento de pH, en un pH de 0.45 puede presentarse en la alícuota una cantidad máxima de 200 mg. de ácido tartárico. El titanio interfiere seriamente, sólo 500  $\mu$ g. puede tolerarse, puede adicionarse 0.1 ml de HF al 40% para enmascararlo. También el Tungsteno interfiere seriamente y sólo se toleran 500  $\mu$ g; el Vanadio (V) puede reducirse a Vanadio (IV) para llevar la formación del ácido vanadofosfórico adiciones un ml de solución de ácido clorhídrico, hidroxilamina y caliente a ebullición enfrie y adiciones molibdato de amonio agitando. El circonio puede retenerse en solución con el ión fluoruro, 0.2 mg. de Zr requiere 0.4 ml. de HF al 40%.

En el método XXI se determina P con azul de metileno y metil isobutil cetona. El espectro del complejo en metil isobutil cetona, MIBK, se muestra en la fig. 8 tiene una saliente a 610-630 nm y una absorbancia máxima a 655 nm.

La acidez óptima de una solución acuosa para la extracción del azul de metileno molibdofosfato con MIBK es de ácido nítrico 0.7-0.9 M. La absorbancia disminuye gradualmente sobre el rango de 0.9 -1.8 M de HNO<sub>3</sub>. Se reproduce por brevemente abajo de 0.6 M de ácido nítrico debido a la precipitación.

La absorbancia se incrementa cuando se usa arriba de 7 ml de molibdato de amonio 0.1 M y permanece constante por arriba de los 20 ml. Como se muestra en la fig. 9 se obtiene una absorban-

cía constante cuando se adiciona 1.5-2.5 ml. de una solución  $2 \times 10^{-3}$  M de azul de metileno. La concentración del ácido nítrico en la solución de lavado para la extracción del exceso de azul de metileno del NIBK no es muy importante, ya que, la absorbancia fue la misma cuando la acidez varía de 1-4 M lavando solamente una vez por 5 min. con 25 ml de ácido nítrico 2 M es suficiente para remover el exceso de azul de metileno. La curva patrón es lineal en el rango de 0.8 - 8  $\mu$ g de P, la absorbividad molar es de  $4.8 \times 10^4$  l/mol cm a 555 nm. No hay cambio en la absorbancia en 2 horas.

Los siguientes iones no interfieren en 1000 veces la cantidad en peso: As, Al, Ba, Ca, Cd, Ce (IV), Cu (II), Co (II), Fe (III), Hg (II), La, Mg, Mn (II), Ni, Sn (IV), Sr, Th, Zn, Zr, Cl<sup>-</sup>, Br, y SO<sub>4</sub><sup>2-</sup>.

Menos de 5 veces el V (V), 10 veces Si (IV), Cr (VI) y 100 veces ClO<sub>4</sub>. Interfiere el As (V) y Ge (IV) causando un error de -41.1 y 8.5% respectivamente. El As, Ge y Si interfieren seriamente ya que forman el ácido heteropolí como el fósforo. El V (V) causa un error positivo mientras que el cromo causa un error negativo.

En el método XXII se determina P por extracción del fósforo-molibdeno con espuma de poliéster. Las arcillas cubanas tienen un amplio contenido de Fe (III) que va de 0.1 a 50% y la técnica usual de descomposición por fusión con carbonato de sodio y potasio falla para obtener resultados satisfactorios. Los minerales pueden sin embargo disolverse por fusión con bisulfato de potasio o piro sulfato o tratándolo con agua regia.

La absorbancia se incrementa por la presencia de fierro (III), especialmente cuando la concentración de ácido sulfúrico es menor que 0.1 M y también disminuye repentinamente la formación del ácido molibdeno-fósfrico, esto es debido a la formación de una mezcla de complejo molibdeno-fierro-fósforo, el cual es estable para un amplio rango de pH. El ácido molibdeno-fósfrico debe formarse en una relación estrictamente definida de Molibdeno (VI) y de la concentración de ácido sulfúrico.

El ortofosfato en los suelos se determina en el método — XXXII; el ortofosfato soluble es de gran importancia para la — alimentación de las plantas, no ha sido posible extraerlo del — suelo en cantidades representativas de las tomadas por las plan- — tas, principalmente porque las plantas no reaccionan igual con — el fosfato aprovechable y potencialmente aprovechable en una so- — lución de tierra. Varios de los extractantes usados en el análisis — de suelos han sido relacionados con una cosecha particular — en un tipo específico de suelo. Es deseable que cualquier método — analítico para rutina sea sensible, sencillo y compatible con esos — extractantes de suelos comunes.

El estudio preliminar fue dirigido para combinar los tres — reactivos en los métodos previos en una sola solución y se en- — contró que el 24% (v/v) de ácido sulfúrico es el mejor medio áci- — do para la solución única y el molibdato de sodio es más sensi- — ble que el molibdato de amonio. Este método es 4 veces más sensi- — ble que el método reductivo, respecto a la inclinación de las cur- — vas de calibración, ambas fueron lineales en el rango de 0 — 1  $\mu$ g — de P/ml; el adelanto en la sensibilidad es principalmente el resul- — tado de la dilución más baja durante la formación del color en el — método de cristal de violeta.

Los resultados para la determinación de fósforo disponible — en muestras de suelos de un rango amplio de pH por el método re- — ductivo y por el método no reductivo de solución única del cristi- — tal de violeta, este último presenta ventajas.

En el método XXXIV el espectro de absorción del iones-por for- — mado entre el molibdato y el violeta de etilo en la fase orgáni- — ca, el máximo de la absorbencia es a los 602 nm; la curva de ca- — libración es lineal en el rango de 0—0.6  $\mu$ g de fósforo y la ab- — sorbitividad molar calculada es de  $2.7 \times 10^5$  l/mol cm. En las mue- — tras de agua de río y agua marina el contenido de fósforo fue del — rango de 0.1  $\mu$ g; las aplicaciones en aguas naturales consideran — do que las aguas de ríos tienen cantidades de iones que coexis- — ten en mayor cantidad que en aguas de mar. El fósforo en agua — natural como ortofosfato, fosfato, condensado, piro, meto y poli- — fosfato y fósforo orgánicamente ligado de los cuales pueden pre —

sentarse en forma soluble y en suspensión. Solamente el orto-fosfato puede determinarse directamente por el procedimiento - molibdofosfato, el piro, tripoli, y polifosfato se hidrolizan completamente a ortofosfato por acidificación y calentamiento - por 30 min en todos los casos.

Si la muestra se almacena en recipientes de vidrio no acidificado, el contenido de fósforo decrece gradualmente después de un día esta disminución es significativa. El agua de río acidificada con un ml. de ácido sulfúrico 5 N por litro usualmente muestra un contenido constante de fósforo por dos días, por lo que se recomienda acidificar si no se determine inmediatamente.

Para determinar fósforo en muestras de agua marina la gráfica de calibración puede ser preparada con soluciones de fosfato que contienen 0.5 M de cloruro, porque el reactivo blanco varía con el contenido de sal.

En el método XIV se determina espectrofotómetricamente fosfato por extracción de molibdofosfato con violenta de etilo, más sensible que los métodos anteriores y menos problemático y - con una sola extracción, sin embargo, en la determinación de fósforo de mg/ml en agua tiene ciertas desventajas. Primero la absorbancia del reactivo blanco es grande para el efecto de concentración requerida por el solvente de extracción de mayor uso, por ejemplo cuando se utilicen 20 ml de solución de muestra y 5 ml - de solvente orgánico, la absorbancia del reactivo blanco fue de 0.14; segundo, el tiempo necesario de agitación es mayor y el color se decolora gradualmente después de 30 min.

Puede utilizarse también el verde malaquita el cual tiene algunas ventajas sobre el violeta de etilo es estable y la acidez es mayor 1.5 N. Cuando la concentración del ácido se varía de 0.3 a 1.0 N la absorbancia para la muestra de fósforo fue máxima y constante.

Para el rango de acidez 0.42 - 0.67 N la absorbancia del reactivo blanco disminuye gradualmente al incrementar la concentración del ácido sulfúrico, pero se mantiene casi constante en el rango de acidez de 0.5 - 0.83 N, seleccionando como óptima

0.5 M de ácido sulfídrico.

La concentración de la tintura se varía de  $2 \times 10^{-5}$  a  $2 \times 10^{-4}$  M, la absorbancia del reactivo blanco se incrementa gradualmente al aumentar la concentración de la tintura, escogiéndose una concentración óptima de verde malquita de  $4 \times 10^{-5}$  M.

La absorbancia del reactivo blanco se incrementa gradualmente al aumentarse la concentración del molibdato, escogiéndose como óptima  $4 \times 10^{-2}$  M. El tiempo necesario de agitación es de 3 min. y la absorbancia permanece constante por lo menos un día.

La mayoría de cationes y aniones que se encuentran comúnmente en el agua natural no interfieren en la determinación de fósforo, pero el arsénico (V) causan un gran error positivo.

Capítulo IV.

GRÁFICAS Y TABLAS.

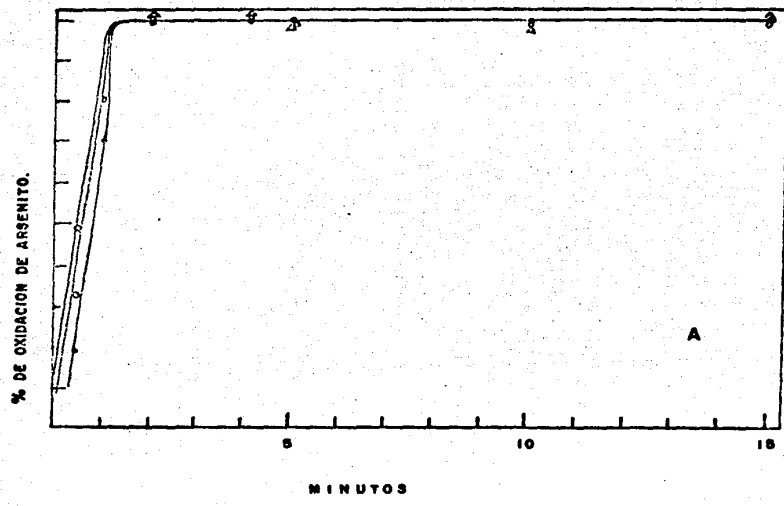


Fig. 1 Tiempo de oxidación de arsenito en agua marina acidificada como una función de la concentración de arsénito y iodato ( $\Delta$ ) 0.42  $\mu\text{M}$  de arsenito. (○) arsenito 1.04  $\mu\text{M}$ . (●) 2.61  $\mu\text{M}$  de arsenito. -- A=214  $\mu\text{M}$  de  $\text{KIO}_3$  (43)

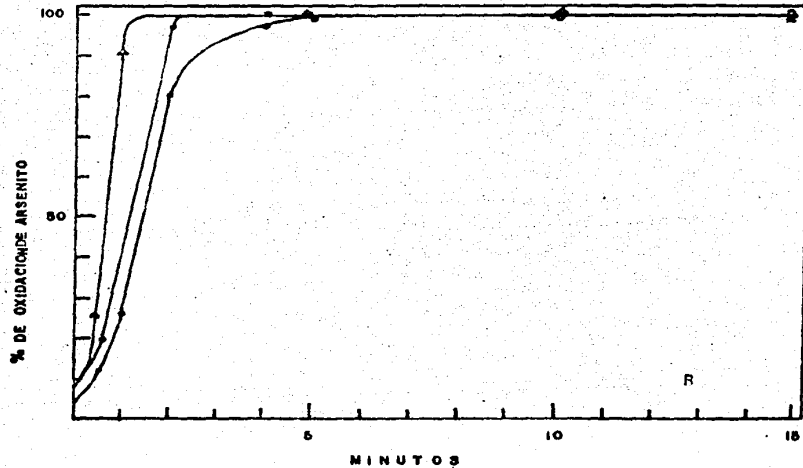


Fig. 2 Tiempo de oxidación de arsenito en agua marina acidificada como una función de la concentración de arsenito y iodato. ( $\Delta$ )  $0.42\mu M$  de arsenito. (○) Arsenito  $1.04\mu M$ . (\*)  $2.61\mu M$  de arsenito B.-  $107\mu M$  de  $KIO_3$  (43)

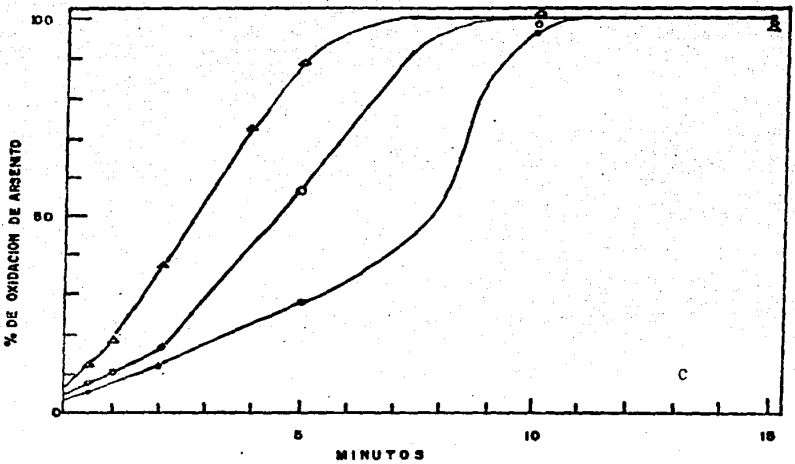


Fig. 3 Tiempo de oxidación de arsénito en agua marina acidificada como una función de la concentración de arsénito y iodado ( $\Delta$ )  $0.42 \mu\text{M}$  de arsénito. ( $\circ$ ) -- Arsenito  $1.04 \mu\text{M}$ . ( $\bullet$ )  $2.61 \mu\text{M}$  de arsénito  $C = 21 \mu\text{M} \text{ KIO}_3$  (43)

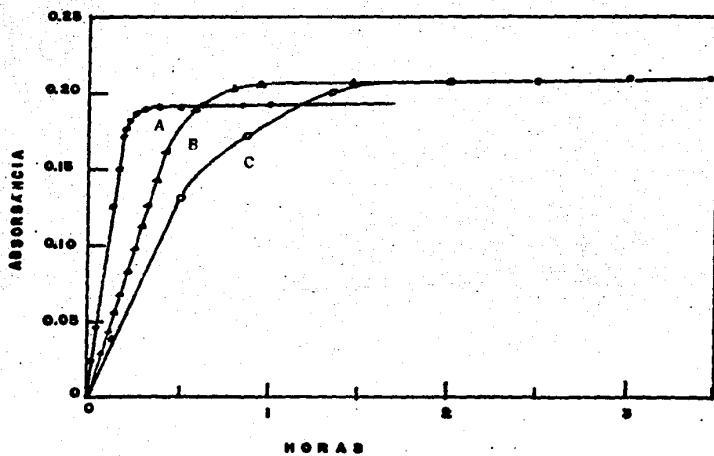


Fig. 4 Tiempo de formación del azul arsenomolibdено (A).  $1.05 \mu\text{M}$  de arsanato en agua marina en la presencia de  $0.6 \mu\text{M}$  de fosfato. (B)  $1.05 \mu\text{M}$  de arsanato en agua marina. (C)  $1.04 \mu\text{M}$  de arsanito + reactivos oxidante en agua marina.

(43)

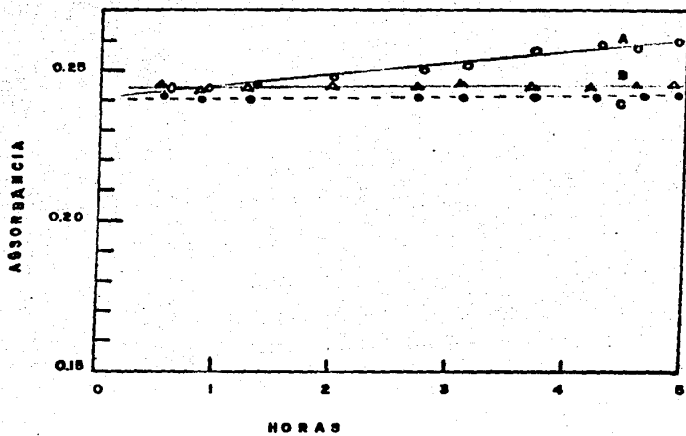
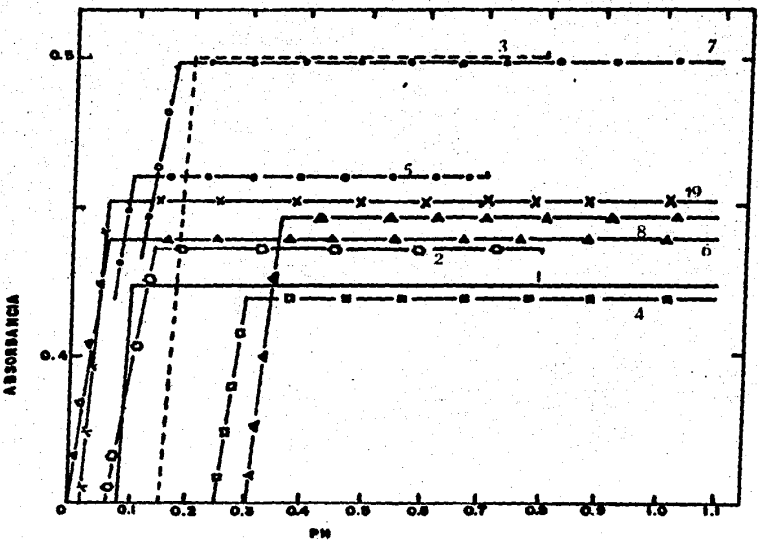


Fig. 5 Efecto del reactivo oxidante en la estabilidad de los valores de absorbancia (A) agua de la bahía de N filtrada más reactivo (mezcla) (FNBW) (B) FNBW más reactivo oxidante, después el reactivo mezclado (C) FNBW más reactivo mezclado, después el reactivo oxidante. Las curvas B y C corregidas por dilución. (43)



**FIG. 6** Efecto de las sales y pH después de la adición del molibdato de amonio, en la absorbancia ( $10 \mu\text{g. de P}/25 \text{ ml.}$ ). (%)

Sales adicionadas

- 1.- Curva estandar
- 2.- 2 g de  $\text{NH}_4\text{Cl}$ .
- 3.- 2 g de  $\text{NH}_4\text{NO}_3$
- 4.- 1 g de  $(\text{NH}_4)_2\text{SO}_4$
- 5.- 2 g. de  $\text{NH}_4\text{ClO}_4$

- 6.- 2 g de NaCl
- 7.- 2 g de  $\text{NaNO}_3$
- 8.- 1.5 g. de  $\text{Na}_2\text{SO}_4$
- 9.- 2 g de  $\text{NaClO}_4$

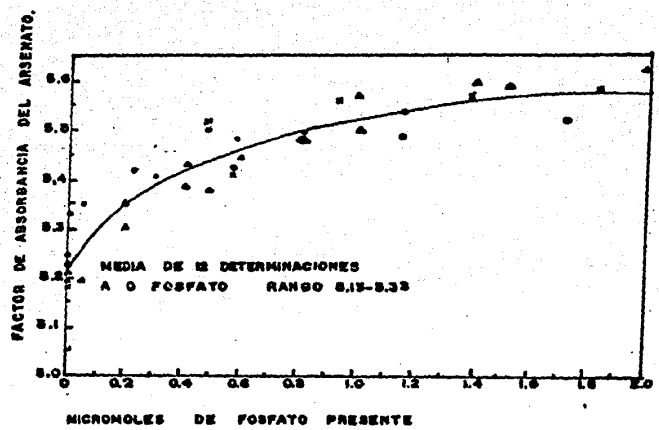


Fig. 7 Factores de absorbancia en diferente medio como una función de la concentración del fosfato (○, ◇), 0.98  $\mu\text{M}$  de arsénito en — agua marina dos experimentos (X) 0.79  $\mu\text{M}$  de arsénato de agua marina. (▲) 0.94  $\mu\text{M}$  de Arsenito oxidado, en agua marina. ( $\Delta$ ) 0.99  $\mu\text{M}$  de Arsenato en agua desionizada. (43)

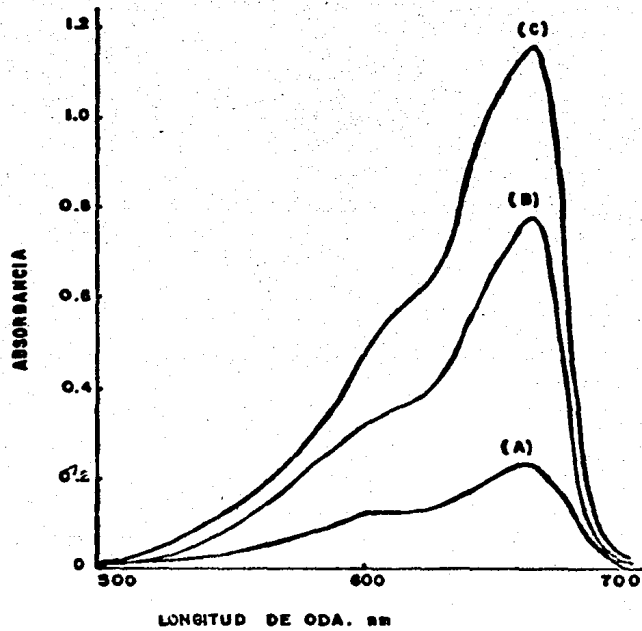


Fig. 8 Espectro de absorción de a)  $1.55\mu\text{g}$  de P. b)  $4.65\mu\text{g}$  de P.  
a)  $7.75\mu\text{g}$  de P.  
La concentración del Mo. es  $2 \times 10^{-2}\text{M}$ .  
La concentración del azul de metileno es  $8 \times 10^{-5}\text{M}$  (68)

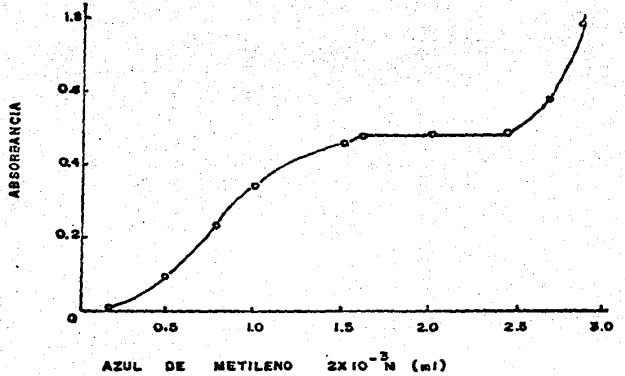


Fig. 9 Efecto de la concentración del azul de metileno.  $3.1 \mu g$  de P.  
La concentración del molibdено es  $2 \times 10^{-2}$   
M referido al reactivo blanco a 655 nm (68)

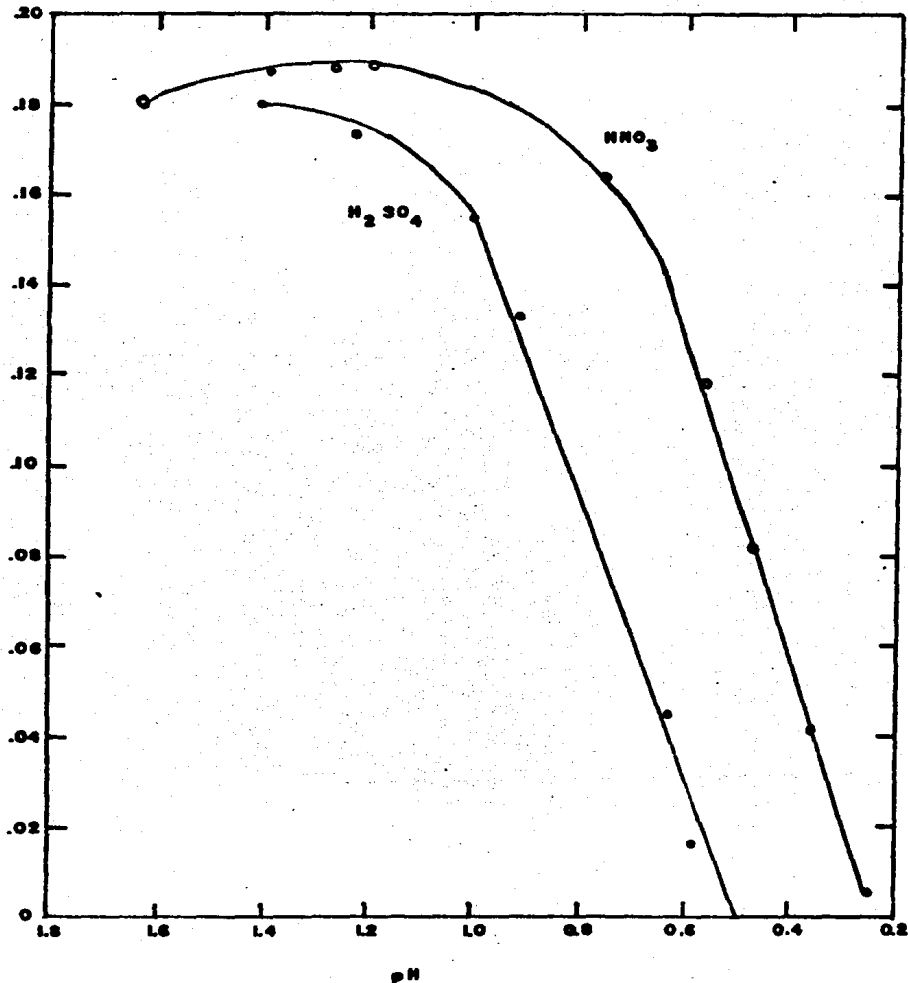


Fig. 10 Absorbancia del ácido 12 molibdofósforico contra pH para el ácido — sulfúrico y nítrico.

(19)

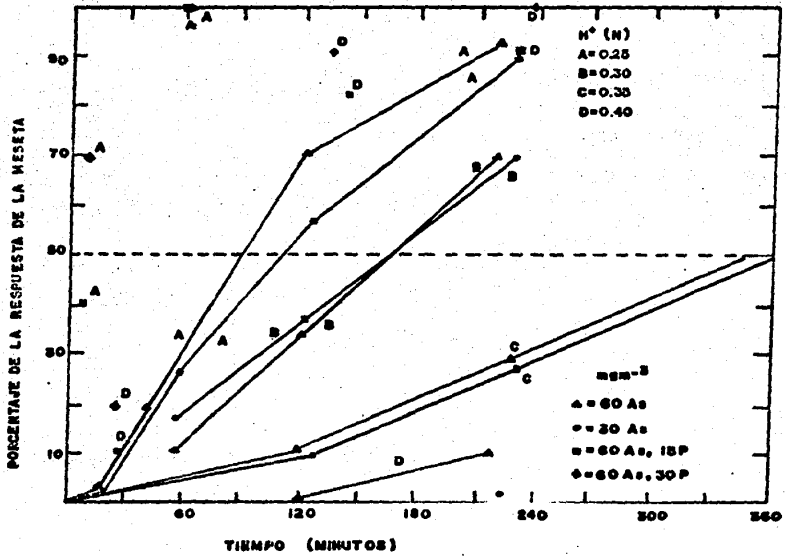


Fig. 11 Desarrollo del complejo molibdato-Au(IV) contra tiempo para Au(IV) y mezcla de AS (IV)-P estandar: los efectos del incremento de  $H_2O_2$  y  $H^+$ : Mol/las -- concentraciones están en  $\text{mg m}^{-3}$  durante el desarrollo de color. (86).

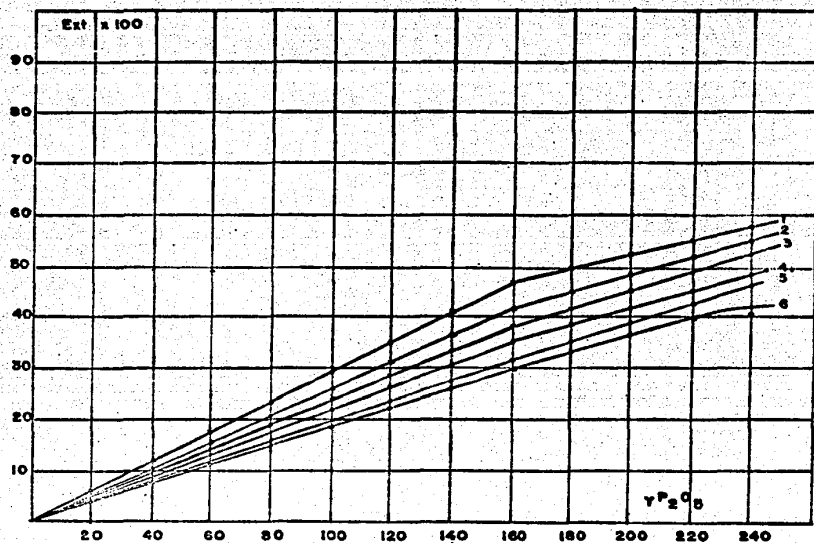


Fig. 12 Efecto de la cantidad de reactivo en la ley de Berr. (16)

1.- 0.4 ml de reactivo

2.- 0.6 ml de reactivo

3.- 0.8 ml " "

4.- 1.0 ml " "

5.- 1.2 ml " "

6.- 1.5 ml " "

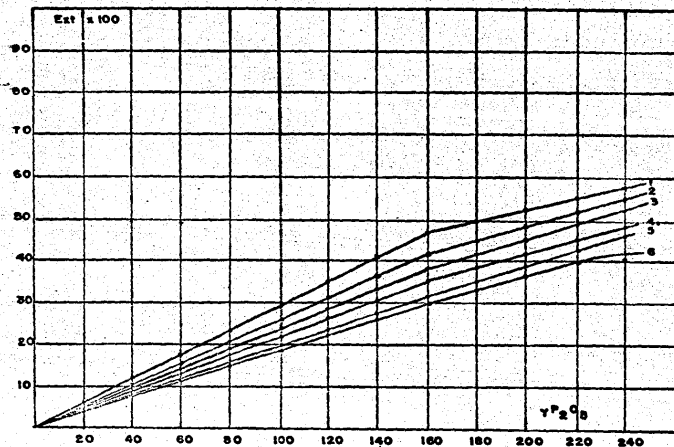


Fig. 12 Efecto de la cantidad de reactivo en la ley de Berr. (16)

- 1.- 0.4 ml de reactivo
- 2.- 0.6 ml de reactivo
- 3.- 0.8 ml " "
- 4.- 1.0 ml " "
- 5.- 1.2 ml " "
- 6.- 1.5 ml " "

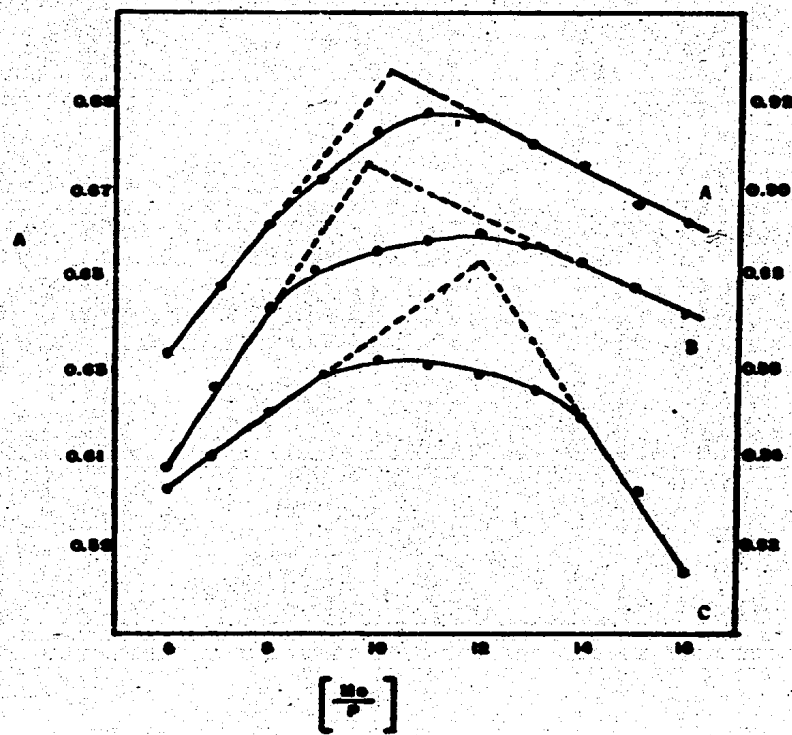


FIG. 13 Determinación de Mo:P por el método de variación continua  
(A) Acido molibdoantimonilfósforico, 880 nm; (B) Acido - molibdoantimonilfósforico, 710 nm; (C) Acido molibdoáfe - rico, 840 nm;  $[\text{P}] + [\text{Mo}] = 4 \times 10^{-5} \text{ M}$ ;  $[\text{S0}] = 2 [\text{P}] [\text{H}^+] / [\text{MoO}_4]$  (30)

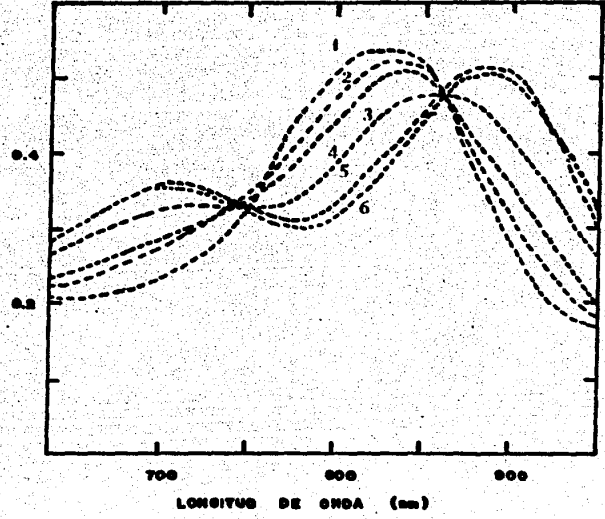


Fig. 14 Efecto en el espectro del incremento de la concentración de antimonio.  $[XH_3PO_4] = 21.2 \mu M$ ;  $[Sb]/[Fe]$ : (1) — 0.47; (2) 0.71; (3) 0.06; (4) 1.42; (5) 1.89; (6) 2.37-4.74

(30)

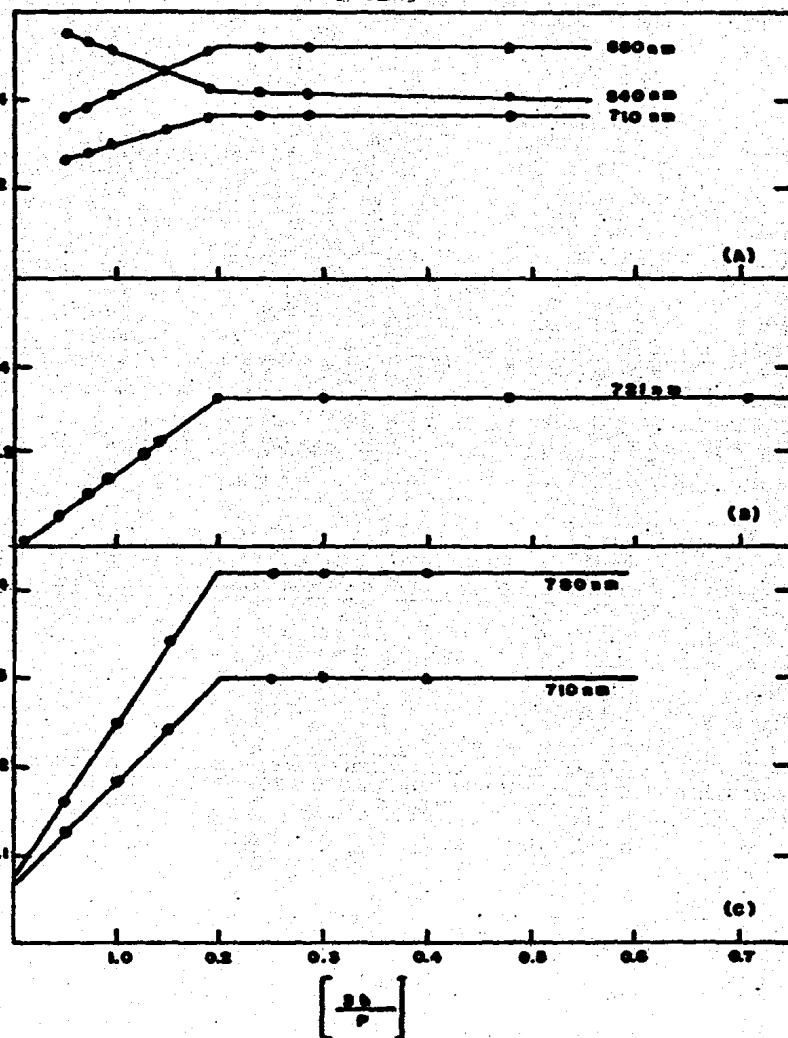


Fig. 15 Determinación de Sb: por el método de la razón molar. (A)Ácido molibdoantimonilfosfórico, acuoso, calentado; (B) Ácido molibdoantimonilfosfórico, extraído con butil acetato,calentado; (C) Ácido molibdoantimonilfosfórico, acuoso sin calentar.

(30)

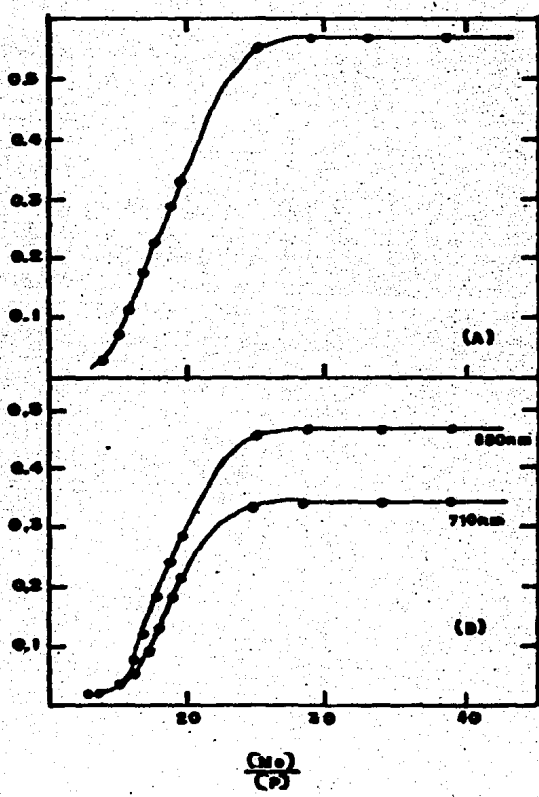


Fig. 16 Estudio de Mo:P por el método de la razón molar. (A) Ácido molibdofósforico; (B) Ácido molibdoantimonofósforico;  $[\text{P}] = 21.2 \mu\text{M}$   
 $[\text{Sb}] = 41.4 \mu\text{M}$ ;  $[\text{H}^+] / [\text{MoO}_4^{2-}] = 75$  (30)

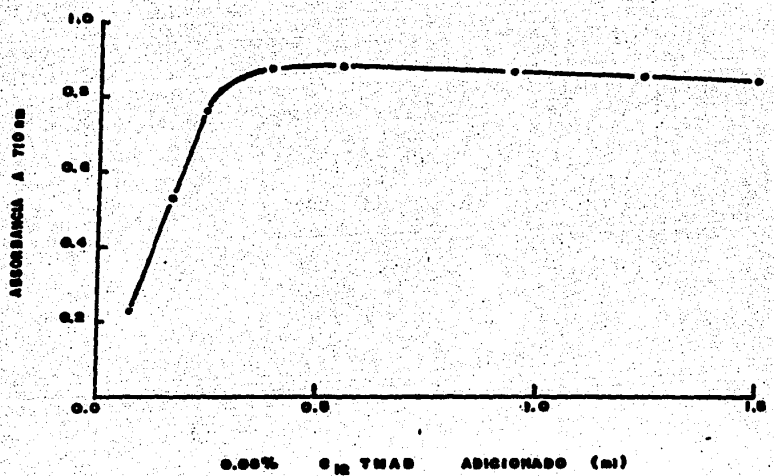


Fig. 17 Efecto de C<sub>12</sub> TMAB en la absorbancia de 7.3  $\mu\text{g}$  de P/100 ml  
(C<sub>12</sub> TMAB) Bromuro de dodeciltrimetilamonio (94)

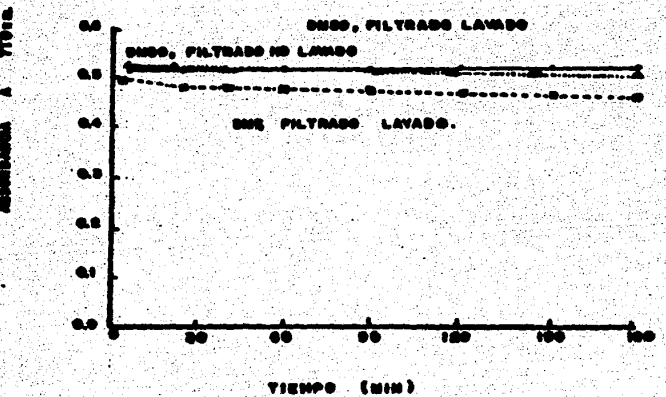


Fig. 10 Efecto de los diferentes solventes en la absorbancia y estabilidad del anal fentanilbromo ( $4.17 \mu\text{g}$  de P) (60)  
 (DMDO) Dimetilsulfóxido  
 (D.M.F.) N,N Dimetilformamida

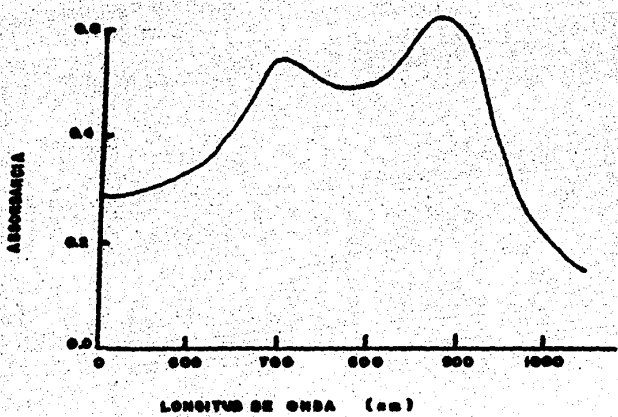


Fig. 19 Espectro de absorción del anión de fosfomolibdato en DMSO  
(0.834 µg/ml de P.)  
(DMSO) Dimetilsulfóxido)

(84)

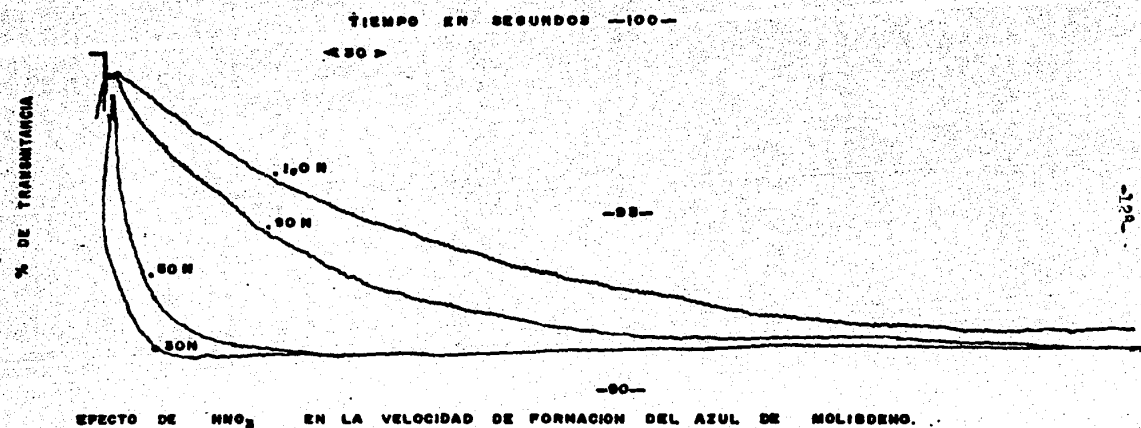


Fig. 20 Efecto de  $\text{HNO}_3$  en la velocidad de formación del azul de molibdeno.

(19)

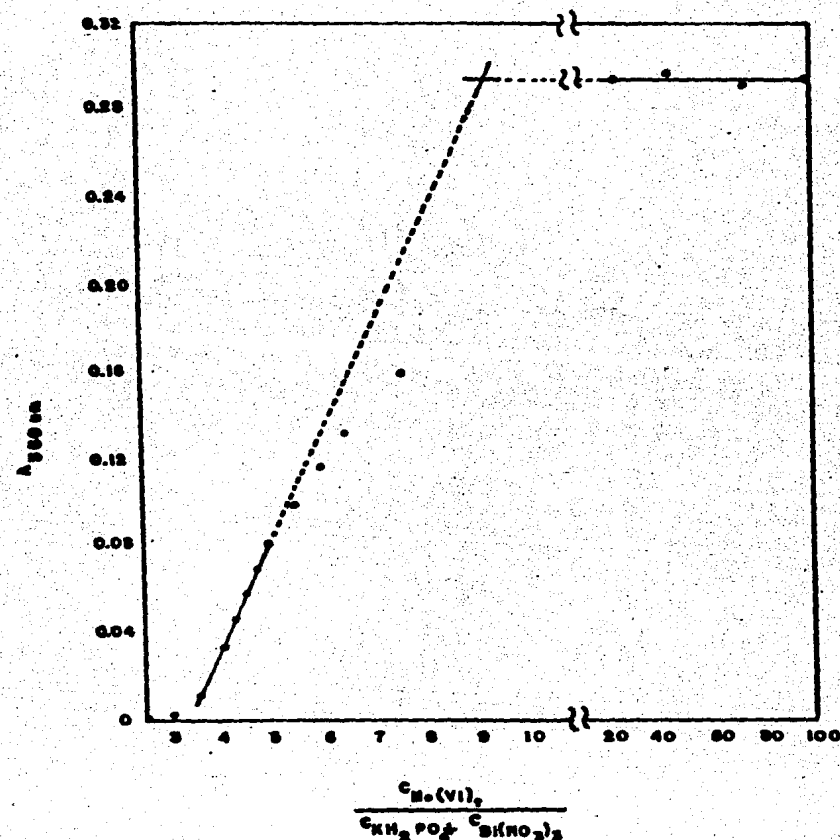


Fig. 21 Absorbancia de 18-NBiPA contra la razón molar del molibdato total entre el fósforo y el bismuto.

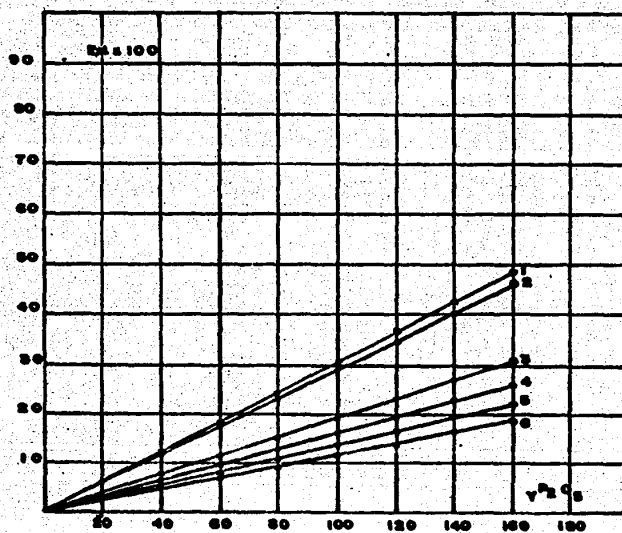


Fig. 22 Efecto de la temperatura en la ley de Beer. (16)

- 1.- Temperatura de 98° (ebullición)
- 2.-      "      95°
- 3.-      "      85°
- 4.-      "      75°
- 5.-      "      65°
- 6.-      "      55°

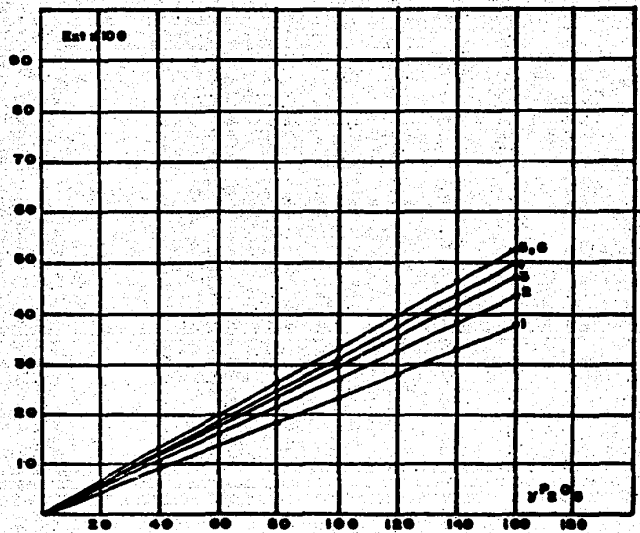


Fig. 23 Influencia del tiempo de calentamiento en la ley de Darr.

(16)

- 1.- 5 minutos
- 2.- 6 "
- 3.- 10 "
- 4.- 12 "
- 5.- 15 "
- 6.- 20 "

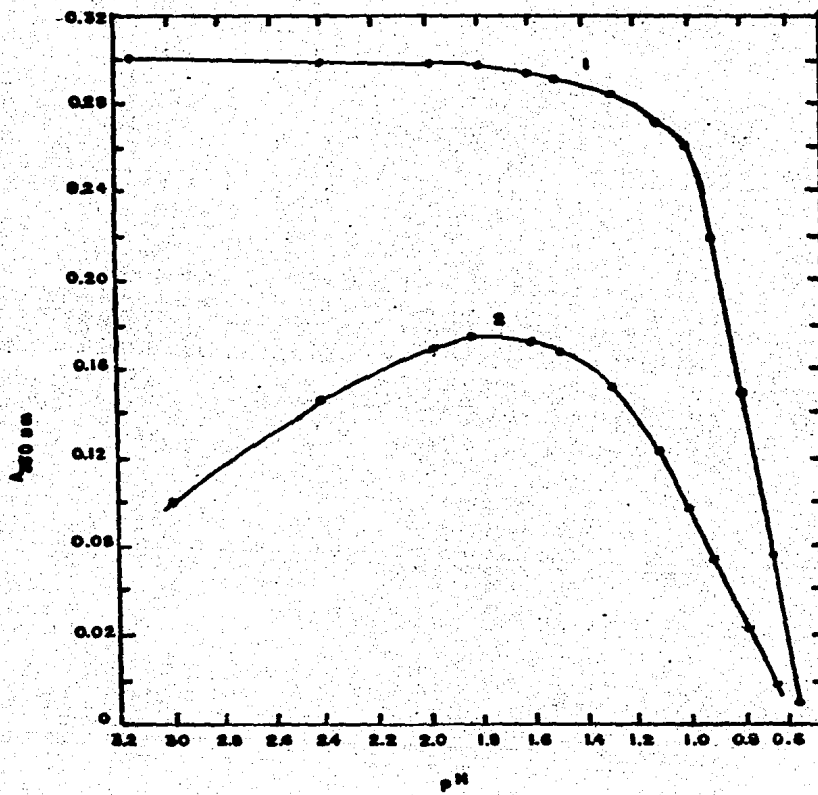


Fig. 24 Efecto del  $\text{pH}$  en la absorbancia del ácido 18-molibdofosfórico (curva 1) y el ácido 12-molibdofosfórico - (curva 2)

(29)

Tabla I.

Comparación de algunos métodos de extracción espectrofotométrica para fósforo como ortofosfato (6?).

Método	$\lambda$ nm	$(\times 10^4)$ $\text{mol}^{-1} \text{cm}^{-1}$	Rango óptimo para fósforo	Absorcencia del blanco
Molibdofosfato	310	2.44	0 - 30 $\mu\text{g}$	0.05
azul de molibdeno	625	1.92	-----	---
	725	2.27	0.2-1.5 n.n.m.	---
Vanadomolibdofósfato	308	----	0.2-1.1 n.n.m.	---
Método indirecto con				
2-amino-4-clorobencenotiol	710	9.60	0.2-5 $\mu\text{g}$	
Flotación con azul de metileno	660	25	0.3-3.1 $\mu\text{g}$	0.10
Extracción con T safranina	532.5	10	0.2-2 $\mu\text{g}$	---
Extracción con azul de metileno	655	4.0	0.8-8 $\mu\text{g}$	---
Extracción con Eodo verde	610	1.1	-----	---
Extracción con cristal violeta	582	8.1	0.03-0.3 n.n.m.	---
Extracción con violeta de etilo	(B)	602	27	0.02-0.6 $\mu\text{g}$
	(i)			0.002-0.06 n.n.m. 0.08

Esta tabla compara la sensibilidad de diversos métodos siendo la extracción con violeta de etilo altamente sensible y un procedimiento relativamente simple.

Tabla II.

Determinación espectrofotométrica de fósforo en varios materiales.<sup>(70)</sup>

Muestra	% de Fósforo certificado	% de Fósforo que se encuentra en la muestra	absorbancia medida estandar (10 - 50%)
Aleación de Aluminio "A" EGS 181	-----	0.0012	0.52
Látón manesfónico EGS 170	0.06	0.0575	0.510
Fronce "A" EGS 182	0.25	0.244	0.440
	(rango 0.22-0.26)		
Cupro níquel "A" EGS 180	-----	0.0014	0.485
Fierro duro EGS 140/2	0.005	0.005	0.510
	(rango 0.004-0.007)		
Acero Ni-Cr-Mo EGS 225/1	0.019	0.018	0.530
	(rango 0.018-0.020)		
Acero Cr-V EGS 224	0.012	0.0106	0.445
	(rango 0.010-0.013)		
Acero inoxidable 18-8 + Ti EGS 235/1	0.020	0.0196	0.505
	(rango 0.018-0.022)		
Aleación magneto permanente EGS 232	-----	0.0137	0.405
Ferro-molibdeno EGS 231 / 2	0.08	0.096	0.455
	(rango 0.06-0.09)		
Ferro-manganoso EGS 208	0.237	0.248	0.430

Table III.

Influencia de la relación Mo(VI) : Mo(V) en la formación del color azul del complejo azul de molibdeno.<sup>(16)</sup>

Tubo #	Mo (V) 0.4 M ml	Mo (VI) 0.4 M ml	Mo (VI) : Mo (V)
1	0.2	0.1	0.5
2	0.2	0.2	1.0
3	0.2	0.3	1.5
4	0.2	0.4	2.0
5	0.2	0.5	2.5
6	0.2	0.6	3.0
7	0.2	0.7	3.5
8	0.2	0.8	4.0
9	0.2	0.9	4.5
10	0.2	1.0	5.0

En los números 1, 2 y 3 la solución no cambia, con el número 4 la solución toma una coloración azul pálida y con el número 5 y 6 un azul intenso. El número 4 se toma como límite para la relación Mo (VI) : Mo (V) un valor igual o mayor que dos.

Table IV.

Determinación de arsénico en compuestos orgánicos  
Análisis por método semimicro (a7).

Compuesto Orgánico	Peso de la muestra (mg)	% de As encontrado	% de As teórico	% de error
Ácido 3-(2-hidroxietilureido)				
-4- hidroxi fenil arsénico	21.106	22.46	22.40	0.3 +
6-7-dimetoxi-3-nitro-9-(-3-dietilemerino-2- hidroxietro- nilamina-ecridina) di-(4- glicol-aminofenilarsenato)				
(Rutenol <sup>R</sup> )	30.182	15.61	15.31	2.0 +
O-N-glicolilarsenilato de sodio tetrahidratado (Quarc <sup>R</sup> )	11.221	20.74	20.30	2.2 +
Ácido 4-(2-hidroxietilureido)-fenil-arsénico	22.783	24.65	24.63	0.1 +
Solución de arsenito de sodio 0.1 N.	1.00 ml	0.373	0.375	0.5 -

Las muestras de los compuestos orgánicos se consideran de por lo menos 97 % de pureza basado en el análisis elemental para carbono, hidrógeno y nitrógeno.

Tabla V.

Determinación de arsénico en compuestos orgánicos.

Análisis por el método micro<sup>(97)</sup>.

Compuesto orgánico	Peso de la muestra (mg)	Absorbancia	% de As encontrado	% de error.
Glicobiersol, U.S.P.				
14.78 % de As (vilibis <sup>9</sup> )	5.605	0.253	14.7	-0.6
Ácido -O- Arsenílico				
23.7 % de As	4.860	0.405	33.3 %	+1.2
	4.205	0.423	32.8	-2.7
	2.224	0.235	34.5	+2.4
Ácido 4-(2-Hidroxietilureido)				
fenilersénico 24.6 % de As	2.897	0.221	25.9	+5.3
	2.305	0.186	25.4	+3.3
	2.346	0.180	25.0	+1.6
	2.446	0.186	24.8	+0.8
	2.421	0.186	25.1	+2.0

Table VI:  
Efecto de las concentraciones de molibdato de amonio y ácido sulfúrico en la absorbancia en la determinación  
(76)  
de arsénico.

Medido a P66 nm en una celína de 1 cm.

ml de H <sub>2</sub> SO <sub>4</sub>	ml de molibdato de amonio al 2%							E = Planeta = 100 % de As
	1	2	3	4	5	7	10	
A 2.5	0.001	-----	0.000	-----	-----	-----	-----	
B 2.5	0.628	0.000	0.803	-----	-----	-----	-----	
A 5.0	0.003	0.005	0.005	0.015	0.017	0.025	-----	
B 5.0	0.026	0.610	0.624	0.645	0.761	1.063	-----	
A 7.5	0.000	-----	0.002	-----	0.003	0.005	-----	
B 7.5	0.001	-----	0.628	-----	0.612	0.612	-----	
A 10.0	0.000	-----	0.000	-----	0.002	0.003	0.005	
B 10.0	0.001	0.000	0.000	-----	0.612	0.620	0.620	
A 15.0	0.000	-----	0.001	-----	0.002	0.003	0.004	
B 15.0	0.000	-----	0.002	-----	0.000	0.003	0.072	

Tabla VII

Métodos y frecuencias por decenios

Métodos	1950	1960	1970	1980
a) Sin reducción			x	
b) Reducción al azul de molibdeno	xx	xxx	xxx	xx
c) Por extracción	xx	x		x
d) Extracción y reduc- ción al azul de mo- libdeno	xx	xxx		
e) Extracción y tem- peratura catiónicas -			x	xxx

El método azul de molibdeno se ha utilizado desde tiem-  
pos atrás hasta la fecha con mayor frecuencia que los otros  
métodos, como puede observarse en esta tabla.

Tabla VIII

Métodos y años en que se publicó la investigación.

a) Sin reducción Método I 1971

b) Reducción al-

azul de molibdeno	Método	II	1957
"	III	1959	
"	IV	1962	
"	V	1967	
"	VI	1969	
"	VII	1972	
"	VIII	1974	
"	IX	1974	
"	X	1981	
"	XI	1984	

c) Por extracción Método III 1968

"	IV	1983
"	IV	1983
"	IV	1984

d) Por extracción Método XVI 1956

y reducción al-	"	XVII	1958
azul de molibde-	"	XVIII	1961
no	"	XIX	1964
	"	XX	1968

e) Extracción y tin- Método XXI 1977  
turas catiónicas

"	XXII	1981
"	XXIII	1981
"	XXIV	1982

"	XXIV	1984
---	------	------

Tabla IX

Materia en la cual se ha determinado Fósforo y/o Arsenio oo	Método del azul de molibdeno	Otros métodos
Agua	x	x
Metales	x	x
Minerales de Hierro	x	x
Acero	x	--
Suelos	x	x
Plantas	x	--
Sedimentos	x	--
Sales	x	--
Compuestos orgánicos	x	--

De los 25 métodos aquí analizados, 15 son de azul de molibdeno y los 10 restantes de otros métodos; como puede observarse arriba, el método azul de molibdeno tiene mayor número de aplicaciones que todos los otros métodos juntos.

En los métodos de azul de molibdeno, aún cuando hay la posible formación del complejo arsenomolibdeno y/o fosfomolibdeno, la mayoría de métodos son específicos para la determinación de fósforo y muy pocos para arseníco.

Capítulo V.

CONCLUSIONES.

Los métodos analíticos para la determinación de fósforo y/o arseníco pueden agruparse dentro de 5 categorías:

a) Formación directa de complejos sin reducción como el molibdofosfato o el vanadomolibdofosfato.

b) Formación del complejo molibdofosfato o molibdoarsenato y su reducción al azul de molibdeno con un reductor como: Fe (II), Sn (II), hidrazina, hidroquinona y ácido ascórbico.

c) Por extracción del complejo molibdofosfato o molibdoarsenato con un disolvente como: metil isbutil cetona y 1-butanol en cloroformo.

d) Por extracción del complejo y posteriormente su reducción con algún agente reductor, para formar el azul de molibdeno.

e) La formación del complejo fosfomolibdato o arseenomolibdato y el uso de tinturas catiónicas (verde malacuita, azul de metíleno, violeta de etilo), sin el uso de un agente reductor y su extracción con algún disolvente.

Todos estos métodos implican la formación del complejo fosfomolibdato o arseenomolibdato.

Para seleccionar el método óptimo en la determinación de fósforo y arseníco es necesario considerar:

Primer, qué tipo de muestra se va analizar: agua ya sea marina, de río, de pozo, de desecho; plantas, compuestos orgánicos, materia biológica, aleaciones, metales, sales, sedimentos.

Segundo, conocer las interferencias pues como ya se dijo anteriormente el P, As, Ge y Si pueden formar el complejo azul de molibdeno y para evitarlo puede utilizarse una reducción para las especies no deseadas extracción selectiva o control del pH de la

reacción.

Tercero, la sensibilidad del método que define el intervalo de concentración que se puede determinar.

Cuarto, el tiempo de reacción que es muy importante y más si se trata de un análisis de rutina, por lo que existen varias modificaciones a los métodos reductivos y no reductivos para acelerar la formación del color azul de molibdeno.

Después de hacer estas consideraciones podemos concluir que el método azul de Molibdeno es el más adecuado, ya que, tiene una técnica específica para cada tipo de muestra; considera las interferencias que puedan presentarse y como eliminarlas. El color es fácilmente reproducible y solo se requiere una curva de calibración.

Puede adicionarse antimonio(III), Bi, Ti o Th para acelerar la formación del color azul debido a que se facilita la reducción.

El método azul de Molibdeno ha sido modificado por varios autores para obtener más rápidamente la coloración azul, mayor selectividad y más alta sensibilidad.

Recientemente existen métodos basados en la extracción del heteroníquel con el uso de tinturas catiónicas que sumera en algunos aspectos al método azul de Molibdeno, sin embargo, presentan desventajas como por ejemplo la absorbancia del reactivo blanco es grande para el efecto de la concentración requerida por el solvente de extracción, el tiempo de agitación es mayor y el color se decolora gradualmente.

Capítulo VI.

BIBLIOGRAFIA.

- ( 1 ) Andreu Mernot C.  
Determination of ironic species in Natural Waters.  
Analytical Chemistry 49 / 6 / 820 - 922 (1977).
- ( 2 ) Toyama Mamoru, Toshiyuki Hobo and Shigetaka Suzuki.  
Anal. Chim. Acta 120 / 237 - 241 (1981).
- ( 3 ) Idem, Ibid. 141 / 427 - 430 (1982)
- ( 4 ) Herman S.S., J.W. Mc. Laren and G.V. Willie.  
Anal. Chem. 52 / 408 - 402 (1980).
- ( 5 ) Phergava, J.P. Donevan, and W. G. Hines.  
Anal. Chem. 44 / 14 / 2402 - 2404 (1972)
- ( 6 ) Phergava Cr. P. and W. Grant. Hines.  
Anal. Chem. 48 / 12 / 1701 - 1704 (1976)
- ( 7 ) Phergava Cr. P., Athanaisios Alexiou and W. G. Hines.  
Talanta 25 / 357 - 359 (1978).
- ( 8 ) Phergava Cr. P.  
Talanta 26 / 146 - 148 (1978)
- ( 9 ) Phergava Cr P., Michael Gmitro and W. G. Hines.  
Talanta 27 / 261 - 267 (1979)
- (10 ) Phergava Cr P. and Michael Gmitro.  
Rapid photometric determination of phosphorus in iron ores -  
and related materials as phosphomolybdenum-blue.  
Talanta 31 / 4 / 301 - 303 (1984)
- (11 ) Boltz D.P. and Mellon W. G.  
Anal. Chem. 19 / 873 - 877 (1947)
- (12 ) Item, Ibid. 20 / 740 - 752 (1948)
- (13 ) Fettcher C. J. F., C. V. Van Gent and C. Fries.  
A rapid and sensitive sub-micro phosphorus determination.  
Anal. Chim. Acta, 24 / 203 - 204 (1961).

(14) Chalmers Robert A. Adele B. Thomson.

A method for the determination of phosphorus in organic compounds.

Analytica Chimica Acta 18 / 575 - 577 (1958).

(15) Chalilucovil Furush and Fred C. Anson.

Anal. Chem. 17 / 9 / 2418 - 2423 (1975).

(16) Conde F. Lucena and I. Pret.

A new reagent for the colrimetric and spectrophotometric determination of phosphorus, arsenic and germanium.

Anal. Chim. Acta 16 / 473 - 476 (1957).

(17) Cotton F. Albert v Geoffrey Wilkinson.

Química Inorgánica avanzada.

Tercera edición.

Editorial I.I.T.U.S.A.

1974.

(18) Crouch S. R. and H. V. Malmstadt and automatic reaction-rate method for Determination of phosphate.

Anal. Chem. 30 / 10 / 1000 - 1002 (1962).

(19) Crouch S.R. and H. V. Malmstadt.

A mechanistic Investigation of molybdenum blue method for determination of phosphate.

Anal. Chem. 39 / 10 / 1084 - 1089 (1967).

(20) Crowther Joan, Bernard Wright and Vetter Wright.

Semiautomated Determination of total phosphorus and total - kjeldahl nitrogen in surface waters.

Analytica Chimica Acta 119/313 - 321 (1980).

(21) Dean R.B. and W. J. Dixon.

Anal. Chem. 23 / 636 (1951).

(22) DeSessa V. A. and J.P. Rogers.

Anal. Chem. 26 / 1281-1285 (1954).

(23) Thivret Lucien et Michèle Trouilles.

Dosages en analyse minérale par extraction à l'acide de canions colorés.

Anal. Chim. Acta 21 / 86 - 90 (1950).

(24) Evans Robert John and Selma I. Bendemer.

Determination of arsenic in biological materials.

Anal. Chem. 26 / 3 / 595 - 598 (1954).

(25) Fogg A. G., S. Scleymaloo and Thorburn.

Anal. Chim. Acta 88 / 107 - 200 (1977).

(26) Fogg A. G. and D. Phenot.

Analyst 106 / 883 - 890 (1981).

(27) Fogg A. G. and N. V. Peebles.

Analyst 106 / 1288 - 1295 (1981).

(28) Fogg A. G. and N. V. Peebles.

Flow Injection voltammetric determination of phosphate direct titration of phosphate into molybdate reagent.

Analyst 107 / 566- 570 (1982).

(29) Goldman E. D., L. G. Perais.

A Kinetic and Spectrophotometric study of the formation and reduction of a phosphorus-bismuth Dimeric Heteropoly(molybdate)

Anal. Chem. 41 / 2 / 490- 505 (1969).

(30) Goings J.F. and S. J. Eisenreich.

Spectrophotometric studies of reduced molybdoantimolinophosphoric acid.

Analytica Chimica Acta 70 / 95 - 106 (1974).

(31) Golkowska A. and L. Pszonicki.

A study of the composition and properties of the ion-association complex.

Talanta 20 / 749- 754 . (1973).

(32) Golterman H. L. and I. F. Turtz.

A sensitive, rapid determination of inorganic phosphate in presence of labile phosphate esters.

Anal. Chim. Acta. 25 / 295 - 297 (1961).

(33) Grabinski Archibald A.

Anal. Chem. 53 / 966 - 968 (1981).

(34) Guerrero N., W.D. Lastra, M. Oliva, L. Vierna.

Manual de introducción a las técnicas de investigación bibliográfica.

Facultad de Química U. N. A. M.

México D.F. 1984.

(35) Haig Agemian and E. Bedek.

A semi-automated Method for the determination of total arsenic and selenium in soils and sediments.

Analytics Chimica Acta. 119 / 323- 330 (1980).

(36) Hemon R.P., A. S. Phan and A. Chow.

Talanta 29 / 313 - 326 (1982).

(37) Heslon R. P. and E. P. Pearson.

The effect of arsenate and of transition-metal ions, on the precipitation of phosphate as ammonium 12-molybdo-phosphate.

Anal. Chim. Acta. 33 / 522- 531 (1965).

(38) Hiraide masataka, Yuji Yoshida and Itsushi Mizuive.

Anal. Chim. Acta 81 / 185 - 189 (1976).

- (39) Hueck G. H. and D. F. Boltz.  
Anal. Chim. Acta. 28 / 1168 - 1170 (1956).
- (40) Furford Thomas R. and D. F. Boltz.  
Indirect ultraviolet spectrophotometric and atomic absorption spectrometric methods for determination of phosphorus and -- silicon by heteropoly chemistry of molybdate.  
Anal. Chem. 40 / 2 / 379 - 382 (1968).
- (41) Jean M. Comp. Rend.  
Anal. Chim. Acta. 16 / 172 - 175 (1956).
- (42) Jean M.  
Formation Du Complexe phosphomolybdique Reduit.  
Anal. Chim. Acta. 31 / 24- 32 (1964).
- (43) Johnson David L. and Michael E. C. Pilson.  
Spectrophotometric determination of arsenite, arsenate and phosphate in natural waters.  
Analytica Chim. Acta. 58 / 289 - 299 (1972).
- (44) Johnson H.N., G. F. Kibborth, and R. J. Whitchouse.  
Anal. Chem. 45 / 9 / 1603 - 1605 (1973).
- (45) Kennedy J. P. and D. A. Westman.  
A modified spectrophotometric method for the simple rapid-determination of phosphate.  
Anal. Chim. Acta. 55 / 419- 440 (1971).
- (46) Khan Anjum S. and A. Chow.  
Studies o the extraction of phosphomolybdate by polyether - Form.  
Talanta 30 / 173 - 178 (1983).
- (47) Kitazume Toshi, Norio Shibata and Norikazu Hashimoto.  
Talanta 23 / 113 - 115 (1976).

- (48) Kitazume E., N. Shibata and N. Hashimoto.  
Anal. Chim. Acta. 91 / 375 - 378 (1977).
- (49) Kirkbright G. P., R. Narayanaswamy and T. S. West.  
Anal. Chem. 43 / 11 / 1434 - 1438 (1971).
- (50) Leyden Donald E. and Wolhard Wegscheider.  
Anal. Chem. 53 / 9 / 1059 A - 1065 A (1981).
- (51) Lueck Charles W. and D. P. Poltz.  
Spectrophotometric study of modified heteronolv blue method -  
for phosphorus.  
Anal. Chem. 28 / 7 / 1168 - 1171 (1956).
- (53) Idem, Ibid. 30 / 183 - 185 (1958).
- (54) Mamoru Suyama, Toshiyuki Hobo and Shizetaka Suzuki.  
Precipitate flotation of trace phosphate ion in waters.  
Analytical Chimica Acta. 153 / 291 - 295 (1983).
- (55) Mc Chesney E. V. and C. V. Banks, Jr.  
Anal. Chem. 27 / 987 - 989 (1955).
- (56) Matsuo Tsutomu, Junichi Shida and Taichiro Furukawa.  
Extraction-Spectrophotometric determination of phosphate as -  
the methylene blue molybdatephosphate.  
Makranta 23 / 385 - 387 (1976).
- (57) Matsuo Tsutomu, Junichi Shida and Taichiro Furukawa.  
Extraction - Spectrophotometric determination of phosphate as  
the methylene blue molybdatephosphate.  
Anal. Chim. Acta. 61 / 365 - 369 (1977).
- (58) Michael A. DeSesa and Rogers I. B.  
Anal. Chem. 26 / 1278- 1281 (1955).
- (59) Michael A. DeSesa and Lockhart P. Rogers.  
Spectrophotometric determinatio of arsenic phosphorus, and si

lition in the presence of each other.

Anal. Chem. 26 / 2 / 1381 - 1392 (1954).

(60) Miyazaki Akira, Akira Kimura and Yoshimi Umezai.

Anal. Chim. Acta. 107 / 03-101 (1951).

(61) Miyazaki Akira, Akira Kimura and Yoshimi Umezaki.

Analystica Chimica Acta. 138 / 121-127 (1952).

(62) Motoiriwa S. T. Takimoto and K. Toei.

Makita 128 / 329 / 332 (1952).

(63) Motoiriwa Shoji, Toshiaki Takimoto and Kyoji Toei.

Solvents Extraction of polybdonphosphate with cations dyes, -- and spectrophotometric determination of microamounts of phosphosphate in waters.

Makita 20 / 230 - 237 (1952).

(64) Motoiriwa S. T. Takimoto and K. Toei.

Analyst 108 / 261 266 (1953).

(65) Motoiriwa Shoji, Toshiaki Takimoto and Kyoji Toei.

Solvent extraction-spectrophotometric determination of phosphate with polybdate and malachite green in river water and sea water.

Makita 21 / 235 - 240 (1954).

(66) Murata Y., w Yokota and S. Ikeda.

Anal. Chim. Acta. 48 / 340-352 (1969).

(67) Murphy J. and J.P. Riley.

The storage of sea-water samples for the determination of dissolved inorganic phosphate.

Anal. Chim. Acta. 14 / 318 - 319 (1956).

(68) Murphy J. and J.P. Riley.

A modified single solution method for the determination of --

phosphate in natural waters. Anal. Chim. Acta. 27 / 31-36  
(1962).

- (60) Pekalns E. and V. T. Flynn

Anal. Chem. 29 / 402 - 407 (1957).

- (70) Pekalns E.

Spectrophotometric determination of traces of phosphorus by an extraction method.

Anal. Chim. Acta. 40 / 1-12 (1968).

- (71) Portington J.R.

Text Book of inorganic Chemistry.

Sexta edición.

Great Britain, 1950.

- (72) Pecson Robert L. y J. Donald Shields.

Métodos Modernos de Análisis Químico.

Primera Edición

Editorial IJWUSA

Méjico 1973

- (73) Pina Georgina L.

Indirect method for determining silicon and phosphorus and analysis of Cuban laterites.

Talanta 2<sup>o</sup> / 665 - 669 (1961).

- (74) Pone M.-M. and G. M. Veron J.

Inorg. Chem. 5 / 1249 - 1252 (1966).

- (75) Pove M. M. and Paconstatinor.

Ibid. 6 / 1147 - 1152 (1967).

- (76) Portmann J. S. and S. P. Riley.

Determination of arsenic in sea water marine plants and silicate and carbonate sediments.

Anal. Chim. Acta. 31 / 509-519 (1964)

(77) Carrasco Muñoz J.

The colorimetric determination of phosphates in water at low -  
p.p.m. levels by automatic discrete- sample analysis.

Anal. Chim. Acta. 72 / 431 - 438 (1975).

(78) Derry P. F.

A routine method for the determination for the determination  
of arsenic in plants, sediments and natural waters.

Analitical Chimica Acta. 72 / 145 - 154 (1974).

(79) Peis R. W., T. S. C. Zuccato, A.C. Jacintho, W. J. Frug and H.  
Peregrin P.

Moving zones in flow injection analysis.

Anal. Chim. Acta. 119 / 305 - 311 (1980).

(80) Rockstein B. and Perron P.W.

Anal. Chem. 23 / 1500 - 1501 (1951).

(81) Schaeffer P.J., Fong J. and Kirk P.J.

Anal. Chem. 25 / 343 - 347 (1953).

(82) Schouwenaar J.C. van and T. Malinska.

The rapid determination of phosphorus in presence of arsenic,  
silicon and germanium.

Anal. Chim. Acta. 27 / 271 - 274 (1967).

(83) Simon S. J. and D. F. Polizz.

Anal. Chem. 47 / 1758 - 1761 (1975).

(84) Smale L. A. and C. N. Pete.

Determination of submicrogram quantities of arsenic by radio-  
activation.

Anal. Chem. 24 / 4 / 717 - 721 (1952).

(85) Southworth B. G., J. W. Hodecker and F. D. Fleischer.

Anal. Chem. 30 / 1152 - 1155 (1958).

(86) Stauffer Robert E.

Determination of arsenic and phosphorus compounds in groundwater with reduced molybdenum blue.

Anal. Chem. 55 / 1209 - 1210 (1983).

(87) Strickland and C. V. Malone.

Anal. Chem. 29 / 1870 - 1875 (1957).

(88) Sutton D.

Spectros electrónicos de los complejos de los metales de transición.

Editorial Reverte S. A.

Versión 1975.

(89) Sturgeon R. E., S. G. Berman, A. Desjardins and D. S. Russell.

Talanta 27 / 85 - 94 (1979).

(90) Sturgeon R. E., S. G. Berman, A. .... Ider.

Anal. Chem. 51 / 14 / 2364 - 2366 (1979).

(91) Taguchi Shigeru and Katsumi Goto

Talanta 27 / 819 821 (1980).

(92) Taguchi Shigeru and Katsumi Goto.

An application of silanized glass beads to the preconcentration and spectrophotometric determination of traces of phosphorus with molybdate.

Talanta 28 / 613 - 615 (1981).

(93) Taguchi Shigeru and Katsumi Goto, Takeyuki Ito, and Yasuko Shimada.

Talanta 30 / 3 / 169 - 172 (1983).

(94) Taguchi Shigeru, Takeuki Ito - Oku.

Application of organic solvent-solute membrane filters in the

Preconcentration and determination of trace elements: spectrophotometric determination of phosphorus as phosphomolybdate blue.

Anal. Acta 22 / 5 / 301 - 304 (1965).

(95) Thornton Burns and J.J.W. Minter.

Spectrophotometric determination of inorganic phosphate in soil extracts by a single solution non reductive method.

Anal. Chim. Acta, 129 / 257 - 260 (1981).

(96) Trudell L. and D.P. Poltz.

Anal. Chem. 30 / 193-195 (1963).

(97) Tuckerman Murray R., John H. Hodacker, Burnett C. Southworth and Ferneth D. Fleicher.

Determination of arsenic in organic compounds rapid micro and semi-micro methods.

Anal. Chim. Acta 21 / 463 - 467 (1959).

(98) Tzeng Jui Hsien and Harry Zeitlin.

Anal. Chim. Acta 161 / 71 - 77 (1979).

(99) Vanderborcht Bruno F. and Dene G. Van Grissen.

Anal. Chem. 46 / 311 - 315 (1977).

(100) Wedelin Coe with N.G. Mellon, Purdue University, Lafayette Ind.

Extraction of heteropoly acids anlication to determination of phosphorus.

Anal. Chem. 25 / 11 / 1668 - 1673 (1953).

(101) Yamada Hiroto, Yamazumi Goto and Shigeru Taguchi.

Preconcentration of trace elements in seawater by complexation with 2-hydroxyquinoline and adsorption on C<sub>18</sub> bonded silica gel.

Anal., Chem. 53 / 73° - 739 (1001)

(102) Anal. T. S. and R. J. Tracy.

Anal., Chem. 3°/ 1750 - 1762 (1066)

(103) Anal. B., H. H. Willard, G.B. reverse and L.J. Bowles.

Anal., Chem. 25 / 16°1-16°6 (1057).

- 140 -  
ABRIGUATIMAS

$\alpha$	Alfa
atm	Atmosfera
cm	Centímetro
$E$	Coeficiente de absorción molar o absorbividad
(w/v)	Concentración peso por volumen
(v/v)	Concentración volumen por volumen
/	Ora
%	Grado centrifugado
°cal	Filocaloría
kg/cm <sup>2</sup>	Filograma por centímetro cuadrado
l	Litro
$\lambda$	Longitud de onda
$\mu g$	Microgramo
$\mu l$	Microlitro
$\mu M$	Micromolar
mcu	Micrecuvalente
mg	Milligramo
ml	Millilitro
mr	Millimolar
M	Molar
nm	Nanómetros
"	Vacío
D.D.M.	Pesos por milí litro
D.O.	Precinitado
pH	Patencial de Hidrógeno
p.e.	Punto de ebullición
p.f.	Punto de fusión

R.I. Reactivo analítico

( ) Referencia bibliográfica

( )) Referencia bibliográfica de dicho método